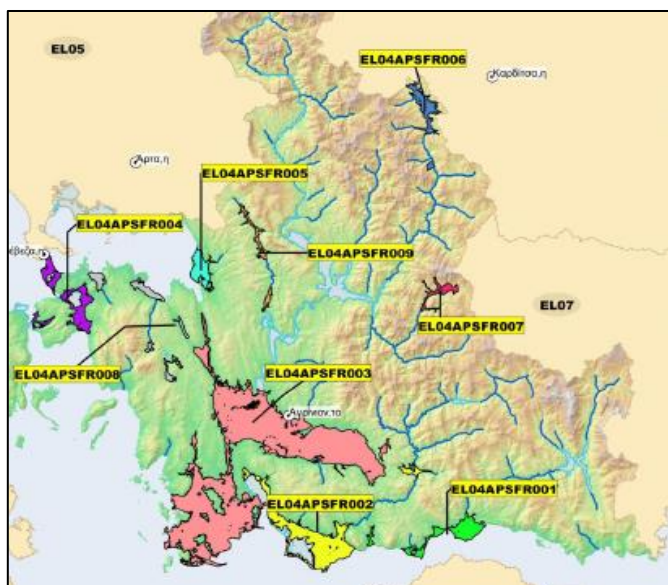




ΕΛΛΗΝΙΚΗ ΔΗΜΟΚΡΑΤΙΑ



**ΓΕΝΙΚΗ ΓΡΑΜΜΑΤΕΙΑ ΦΥΣΙΚΟΥ ΠΕΡΙΒΑΛΛΟΝΤΟΣ
ΚΑΙ ΥΔΑΤΩΝ
ΓΕΝΙΚΗ ΔΙΕΥΘΥΝΣΗ ΥΔΑΤΩΝ**



**1^η ΑΝΑΘΕΩΡΗΣΗ
ΣΧΕΔΙΟΥ ΔΙΑΧΕΙΡΙΣΗΣ ΚΙΝΔΥΝΩΝ ΠΛΗΜΜΥΡΑΣ
των Λεκανών Απορροής Ποταμών του
Υδατικού Διαμερίσματος Δυτικής Στερεάς Ελλάδας (EL04)**

Στάδιο 1 – Παραδοτέο 4

ΠΛΗΜΜΥΡΙΚΑ ΥΔΡΟΓΡΑΦΗΜΑΤΑ

**Παράρτημα Π4.2:
Υδρολογική Ανάλυση συστήματος λεκανών ρεμάτων Ευπαλίου**



Ευρωπαϊκή Ένωση
Ταμείο Συνοχής



Με τη συγχρηματοδότηση της Ελλάδας και της Ευρωπαϊκής Ένωσης

Περιεχόμενα

1 ΜΟΝΤΕΛΟ ΥΔΡΟΛΟΓΙΚΗΣ ΠΡΟΣΟΜΟΙΩΣΗΣ ΛΕΚΑΝΗΣ ΑΠΟΡΡΩΗΣ	4
2 ΔΕΔΟΜΕΝΑ ΕΙΣΟΔΟΥ ΚΑΙ ΑΠΟΤΕΛΕΣΜΑΤΑ ΥΔΡΟΛΟΓΙΚΟΥ ΣΕΝΑΡΙΟΥ T=50	7
2.1 Αποτελέσματα, υετογραφήματα και υδρογραφήματα σχεδιασμού υπολεκανών	7
2.2 Δεδομένα και Υδρογραφήματα Σχεδιασμού Κλάδων Υδρογραφικού Δικτύου	11
2.3 Δεδομένα και Υδρογραφήματα Σχεδιασμού Κόμβων Υδρογραφικού Δικτύου	12
3 ΔΕΔΟΜΕΝΑ ΕΙΣΟΔΟΥ ΚΑΙ ΑΠΟΤΕΛΕΣΜΑΤΑ ΥΔΡΟΛΟΓΙΚΟΥ ΣΕΝΑΡΙΟΥ T=50L	15
3.1 Αποτελέσματα, υετογραφήματα και υδρογραφήματα σχεδιασμού υπολεκανών	15
3.2 Δεδομένα και Υδρογραφήματα Σχεδιασμού Κλάδων Υδρογραφικού Δικτύου	19
3.3 Δεδομένα και Υδρογραφήματα Σχεδιασμού Κόμβων Υδρογραφικού Δικτύου	20
4 ΔΕΔΟΜΕΝΑ ΕΙΣΟΔΟΥ ΚΑΙ ΑΠΟΤΕΛΕΣΜΑΤΑ ΥΔΡΟΛΟΓΙΚΟΥ ΣΕΝΑΡΙΟΥ T=50U	23
4.1 Αποτελέσματα, υετογραφήματα και υδρογραφήματα σχεδιασμού υπολεκανών	23
4.2 Δεδομένα και Υδρογραφήματα Σχεδιασμού Κλάδων Υδρογραφικού Δικτύου	27
4.3 Δεδομένα και Υδρογραφήματα Σχεδιασμού Κόμβων Υδρογραφικού Δικτύου	28
5 ΔΕΔΟΜΕΝΑ ΕΙΣΟΔΟΥ ΚΑΙ ΑΠΟΤΕΛΕΣΜΑΤΑ ΥΔΡΟΛΟΓΙΚΟΥ ΣΕΝΑΡΙΟΥ T=100	31
5.1 Αποτελέσματα, υετογραφήματα και υδρογραφήματα σχεδιασμού υπολεκανών	31
5.2 Δεδομένα και Υδρογραφήματα Σχεδιασμού Κλάδων Υδρογραφικού Δικτύου	35
5.3 Δεδομένα και Υδρογραφήματα Σχεδιασμού Κόμβων Υδρογραφικού Δικτύου	36
6 ΔΕΔΟΜΕΝΑ ΕΙΣΟΔΟΥ ΚΑΙ ΑΠΟΤΕΛΕΣΜΑΤΑ ΥΔΡΟΛΟΓΙΚΟΥ ΣΕΝΑΡΙΟΥ T=100L	39
6.1 Αποτελέσματα, υετογραφήματα και υδρογραφήματα σχεδιασμού υπολεκανών	39
6.2 Δεδομένα και Υδρογραφήματα Σχεδιασμού Κλάδων Υδρογραφικού Δικτύου	43
6.3 Δεδομένα και Υδρογραφήματα Σχεδιασμού Κόμβων Υδρογραφικού Δικτύου	44
7 ΔΕΔΟΜΕΝΑ ΕΙΣΟΔΟΥ ΚΑΙ ΑΠΟΤΕΛΕΣΜΑΤΑ ΥΔΡΟΛΟΓΙΚΟΥ ΣΕΝΑΡΙΟΥ T=100U	47
7.1 Αποτελέσματα, υετογραφήματα και υδρογραφήματα σχεδιασμού υπολεκανών	47
7.2 Δεδομένα και Υδρογραφήματα Σχεδιασμού Κλάδων Υδρογραφικού Δικτύου	51
7.3 Δεδομένα και Υδρογραφήματα Σχεδιασμού Κόμβων Υδρογραφικού Δικτύου	52
8 ΔΕΔΟΜΕΝΑ ΕΙΣΟΔΟΥ ΚΑΙ ΑΠΟΤΕΛΕΣΜΑΤΑ ΥΔΡΟΛΟΓΙΚΟΥ ΣΕΝΑΡΙΟΥ T=1000	55
8.1 Αποτελέσματα, υετογραφήματα και υδρογραφήματα σχεδιασμού υπολεκανών	55
8.2 Δεδομένα και Υδρογραφήματα Σχεδιασμού Κλάδων Υδρογραφικού Δικτύου	59

8.3 Δεδομένα και Υδρογραφήματα Σχεδιασμού Κόμβων Υδρογραφικού Δικτύου	60
9 ΔΕΔΟΜΕΝΑ ΕΙΣΟΔΟΥ ΚΑΙ ΑΠΟΤΕΛΕΣΜΑΤΑ ΥΔΡΟΛΟΓΙΚΟΥ ΣΕΝΑΡΙΟΥ T=1000L	63
9.1 Αποτελέσματα, υετογραφήματα και υδρογραφήματα σχεδιασμού υπολεκανών	63
9.2 Δεδομένα και Υδρογραφήματα Σχεδιασμού Κλάδων Υδρογραφικού Δικτύου	67
9.3 Δεδομένα και Υδρογραφήματα Σχεδιασμού Κόμβων Υδρογραφικού Δικτύου	68
10 ΔΕΔΟΜΕΝΑ ΕΙΣΟΔΟΥ ΚΑΙ ΑΠΟΤΕΛΕΣΜΑΤΑ ΥΔΡΟΛΟΓΙΚΟΥ ΣΕΝΑΡΙΟΥ T=1000U	71
10.1 Αποτελέσματα, υετογραφήματα και υδρογραφήματα σχεδιασμού υπολεκανών	71
10.2 Δεδομένα και Υδρογραφήματα Σχεδιασμού Κλάδων Υδρογραφικού Δικτύου	75
10.3 Δεδομένα και Υδρογραφήματα Σχεδιασμού Κόμβων Υδρογραφικού Δικτύου	76

1 Μοντέλο Υδρολογικής Προσομοίωσης Λεκάνης Απορροής

Πρόκειται για δύο μικρά ρέματα, που πηγάζουν από τη λοφώδη περιοχή του οικισμού Ευπάλιο και απορρέουν ανατολικά των εκβολών του Μόρνου. Το μοντέλο υδρολογικής προσομοίωσης του ενοποιημένου συστήματος περιλαμβάνει 3 υπολεκάνες, 3 κόμβους και έναν κλάδο υδρογραφικού δικτύου. Ειδικότερα, οι υπολεκάνες EL0421FR002001 και EL0421FR002002 συνιστούν τη λεκάνη απορροής του ρέματος που διέρχεται από τον οικισμό Μαλαμάτα, με έξοδο τον κόμβο J1, ενώ η EL0421FR002003 είναι αυτόνομη λεκάνη, με έξοδο τον κόμβο J3, δυτικά του οικισμού Μοναστηράκι.

Η σχηματοποίηση του υδρολογικού συστήματος απεικονίζεται στον χάρτη της Εικόνας 5-4.

Τα χαρακτηριστικά μεγέθη της ενοποιημένης λεκάνης είναι:

- Έκταση $A = 19.9 \text{ km}^2$
- Μέσο υψόμετρο $z_m = 35 \text{ m}$
- Υψόμετρο κόμβου εξόδου $z_k = 0.0 \text{ m}$
- Μέγιστο μήκος ροής $L_{\max} = 6.32 \text{ km}$
- Χρόνος συγκέντρωσης $t_c = 5.4 \text{ h}$

Για την υδρολογική προσομοίωση επιλέγεται διάρκεια βροχής $D = 12 \text{ h}$ και χρονικό βήμα $\Delta t = 15 \text{ min}$.

Για την παραπάνω έκταση και διάρκεια προκύπτει συντελεστής επιφανειακής αναγωγής $\varphi = 0.946$.

Επισημαίνεται ότι ως μέγιστο μήκος ροής θεωρείται αυτό της μεγαλύτερης εκ των δύο λεκανών, που περιλαμβάνει τις υπολεκάνες EL0421FR002001 και EL0421FR002002. Ο χρόνος συγκέντρωσης του ενοποιημένου συστήματος εκτιμάται με βάση τα χαρακτηριστικά της εν λόγω λεκάνης (έκταση 16.63 km^2 , μέσο υψόμετρο 35 m , μέγιστο μήκος ροής 6.32 km).

Τα χαρακτηριστικά γεωμετρικά μεγέθη των κλάδων και υπολεκανών του υδρογραφικού δικτύου δίνονται στους Πίνακες 5-5 και 5-6, αντίστοιχα, ενώ τα συγκεντρωτικά αποτελέσματα του συνολικού υδρολογικού συστήματος δίνονται στον Πίνακα Error! No text of specified style in document.-3. Σημειώνεται ότι οι παροχές αιχμής των υδρογραφημάτων αναφέρονται στον κόμβο J1, που είναι έξοδος μίας εκ των δύο λεκανών απορροής που απαρτίζουν το υδρολογικό σύστημα, ενώ οι όγκοι αναφέρονται στο σύνολο του συστήματος λεκανών. Στο Παράρτημα Π2 δίνονται τα πλήρη δεδομένα εισόδου και εξόδου του μοντέλου προσομοίωσης για όλες τις συνιστώσες του δικτύου (υπολεκάνες, κόμβοι, κλάδοι), και τα αντίστοιχα γραφήματα.

Πίνακας Error! No text of specified style in document.-1 Χαρακτηριστικά μεγέθη κλάδων υδρογραφικού δικτύου (υδατορεύματα)

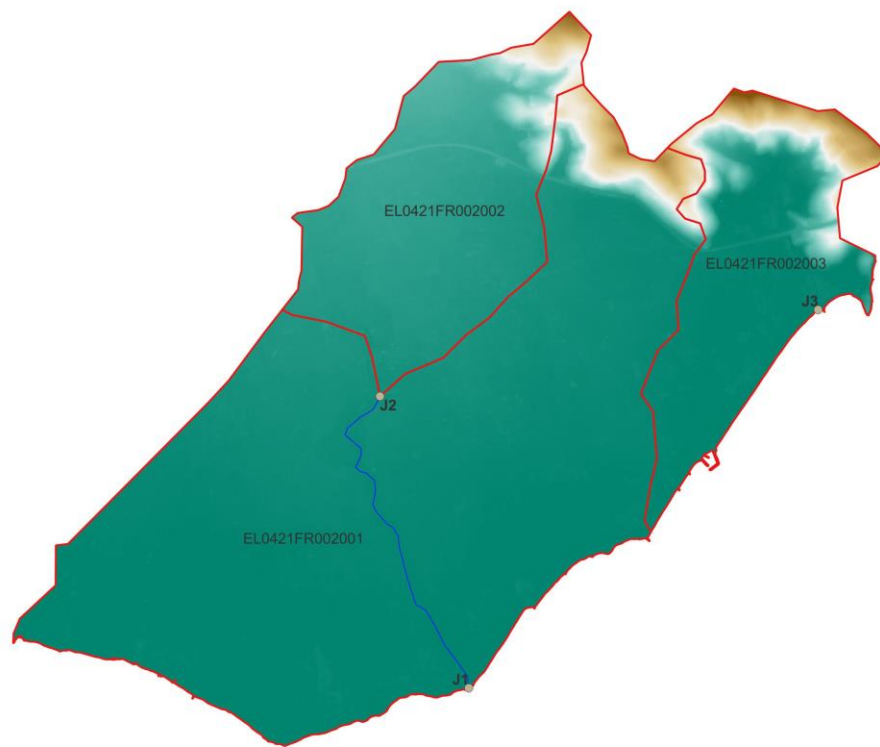
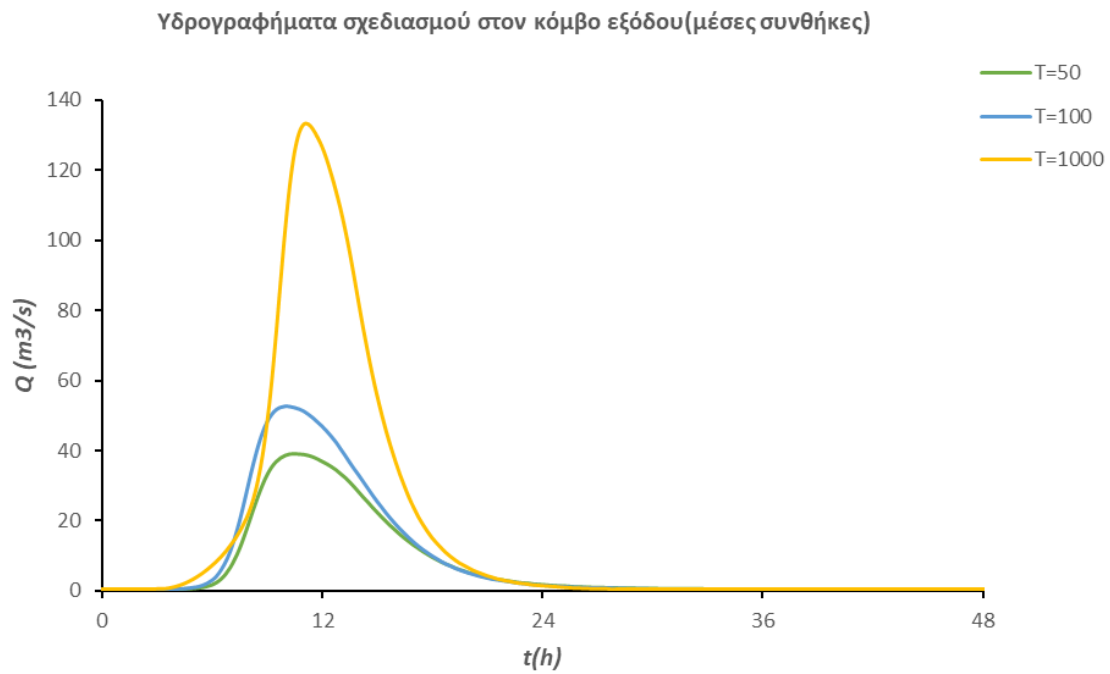
Κωδικός	Ονομασία	Ανάντη	Κατάντη	Μήκος (km)	Μέση κλίση
R21		J2	J1	2.822	0.0024

Πίνακας Error! No text of specified style in document.-2 Χαρακτηριστικά μεγέθη υπολεκανών

Κωδικός	Λεκάνη απορροής	Κλάδος	Κόμβος εξόδου	Έκταση (km^2)	Μέσο υψόμετρο (m)	Υψόμετρο εξόδου (m)	Μέγιστο μήκος ροής (km)
EL0421FR002001	EL0421FR00002	R21	J1	12.926	6.4	0.0	5.070
EL0421FR002002	EL0421FR00002		J2	3.704	21.4	6.7	3.500
EL0421FR002003	EL0421FR00002		J3	3.219	24.3	0.0	2.190

Πίνακας Error! No text of specified style in document.-3 Συγκεντρωτικά αποτελέσματα υδρολογικής προσομοίωσης περιοχής μελέτης

Χαρακτηριστικά μεγέθη λεκάνης απορροής ρεμάτων Ευπαλίου			
Έκταση (km ²)	19.85	Υψόμετρο εξόδου (m)	0.0
Αδιαπέρατη επιφάνεια (%)	0.00	Χρόνος συγκέντρωσης (h)	5.45
Μέγιστο μήκος ροής (km)	6.32	Διάρκεια βροχόπτωσης σχεδιασμού (h)	12.00
Μέσο υψόμετρο (m)	35.0	Χρονικό βήμα (h)	0.25
Συγκεντρωτικά αποτελέσματα υδρολογικής προσομοίωσης λεκάνης			
	Ευμενείς συνθήκες	Μέσες συνθήκες	Δυσμενείς συνθήκες
	Ολικό ύψος επιφανειακής βροχής (mm)		
T = 50	124.7	124.7	124.7
T = 100	146.1	146.1	146.1
T = 1000	239.6	239.6	239.6
	Ολικό ύψος πλημμυρικής απορροής (mm)		
T = 50	33.4	68.7	95.0
T = 100	46.7	87.3	115.6
T = 1000	115.9	173.9	190.9
	Συντελεστής απορροής		
T = 50	0.267	0.551	0.761
T = 100	0.320	0.598	0.791
T = 1000	0.484	0.726	0.797
	Πλημμυρική παροχή αιχμής (m³/s)		
T = 50	18.6	38.8	53.8
T = 100	27.4	52.3	69.3
T = 1000	92	132.4	139.6
	Πλημμυρικός όγκος (hm³)		
T = 50	0.662	1.364	1.885
T = 100	0.926	1.733	2.294
T = 1000	2.300	3.451	3.789
	Συνολική παροχή αιχμής (m³/s)		
T = 50	19.1	39.3	54.3
T = 100	28	52.8	69.8
T = 1000	92.6	133.1	140.3
	Συνολικός όγκος υδρογραφήματος (hm³)		
T = 50	0.834	1.536	2.057
T = 100	1.119	1.925	2.486
T = 1000	2.540	3.681	4.029



Εικόνα Error! No text of specified style in document.-1 Χάρτης περιοχής μελέτης, στον οποίο απεικονίζεται η σχηματοποίηση των κόμβων και κλάδων του υδρογραφικού δικτύου και των υπολεκανών

2 Δεδομένα εισόδου και αποτελέσματα Υδρολογικού Σεναρίου T=50

2.1 Αποτελέσματα, νετογραφήματα και υδρογραφήματα σχεδιασμού υπολεκανών

Υπολεκάνη: EL0421FR002001

Έκταση (KM2) : 12.93

Κατάντη : J1

Μέθοδος Απωλειών: SCS

Ποσοστό αδιαπέρατης επιφάνειας	0
Αριθμός Καμπύλης Απορροής-CN	79.98
Αρχικές Απώλειες	12.71

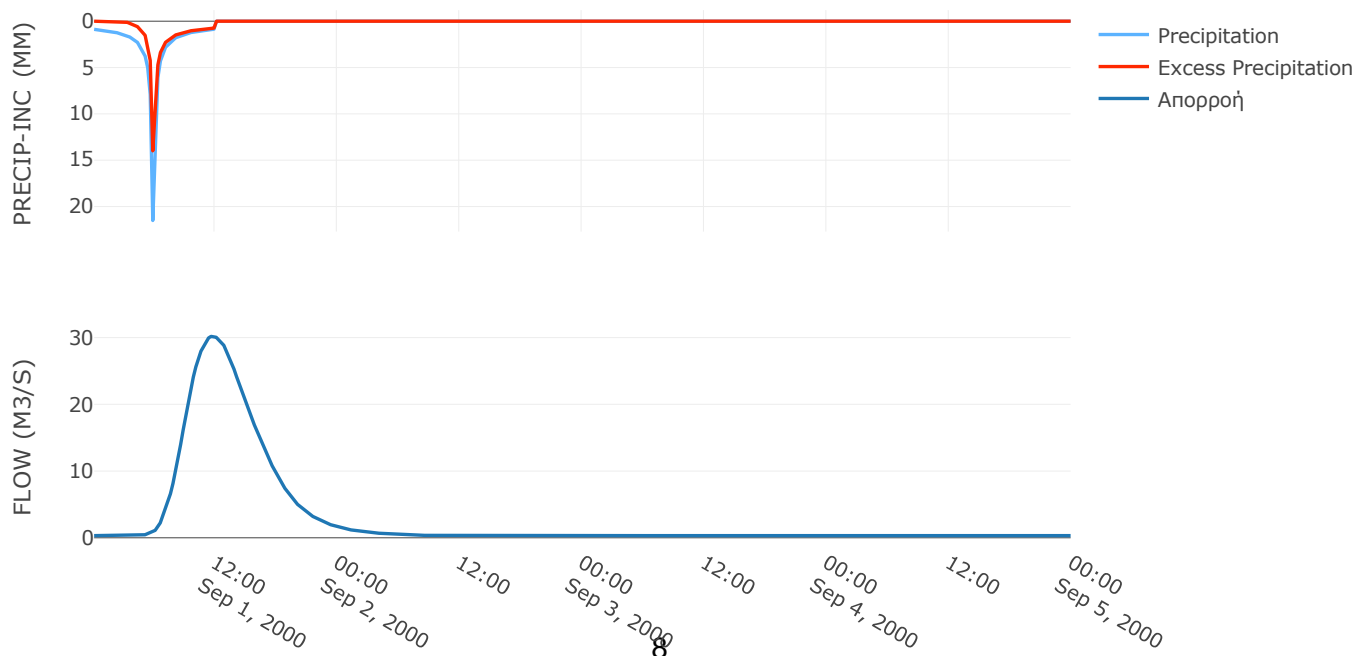
Μέθοδος
Μετασχηματισμού: SCS

Χρόνος Υστέρησης	294.05
------------------	--------

Αποτελέσματα:
EL0421FR002001

Παροχή αιχμής (M3/S)	30.19
Χρονική στιγμή αιχμής	01Sep2000, 11:45
Όγκος (MM)	77.6
Όγκος βροχόπτωσης (M3)	1.57E6
Όγκος απωλειών (M3)	6.84E5
Ενεργός Όγκος (M3)	8.91E5
Όγκος άμεσης απορροής (M3)	8.91E5
Όγκος βασικής απορροής (M3)	1.12E5

Βροχόπτωση και Απορροή



Υπολεκάνη: EL0421FR002002

Έκταση (KM2) : 3.7

Κατάντη : J2

Μέθοδος Απωλειών: SCS

Ποσοστό αδιαπέρατης επιφάνειας	0
Αριθμός Καμπύλης Απορροής-CN	77.52
Αρχικές Απώλειες	14.73

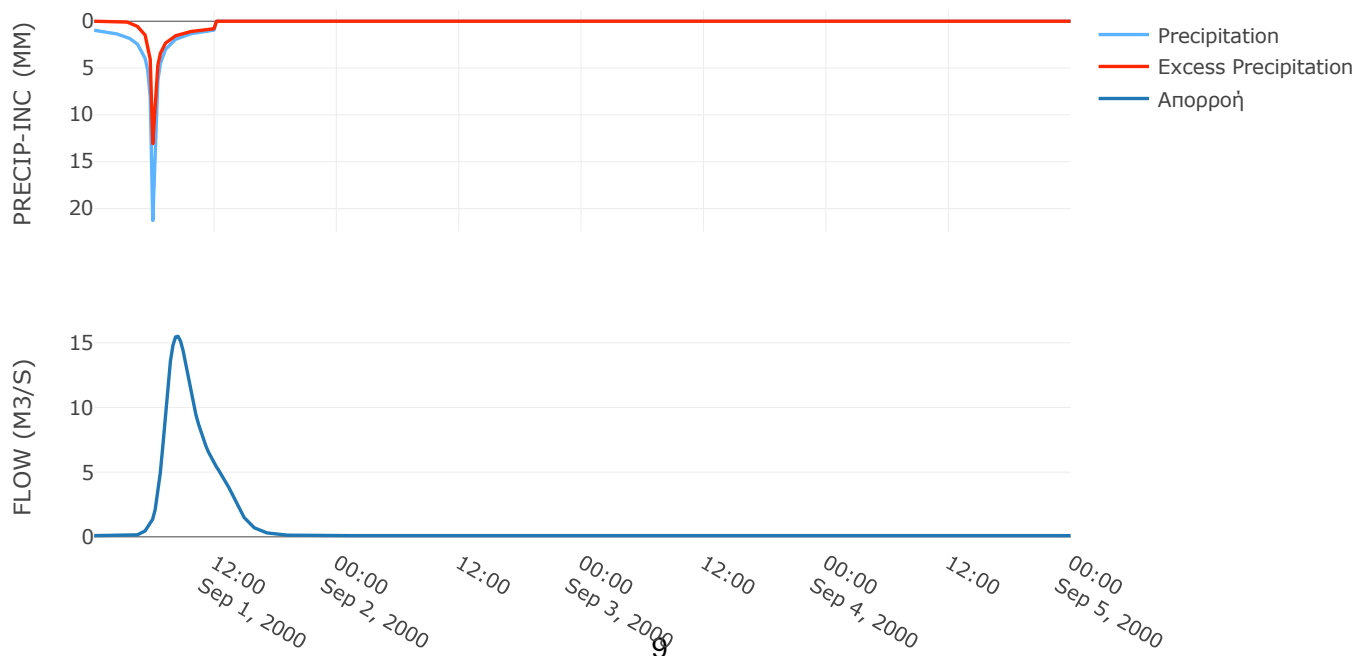
Μέθοδος
Μετασχηματισμού: SCS

Χρόνος Υστέρησης	114.23
------------------	--------

Αποτελέσματα:
EL0421FR002002

Παροχή αιχμής (M3/S)	15.5
Χρονική στιγμή αιχμής	01Sep2000, 08:15
Όγκος (MM)	77.1
Όγκος βροχόπτωσης (M3)	4.73E5
Όγκος απωλειών (M3)	2.2E5
Ενεργός Όγκος (M3)	2.54E5
Όγκος άμεσης απορροής (M3)	2.54E5
Όγκος βασικής απορροής (M3)	31998.76

Βροχόπτωση και Απορροή



Υπολεκάνη: EL0421FR002003

Έκταση (KM2) : 3.22

Κατάντη : J3

Μέθοδος Απωλειών: SCS

Ποσοστό αδιαπέρατης επιφάνειας	0
Αριθμός Καμπύλης Απορροής-CN	75.5
Αρχικές Απώλειες	16.49

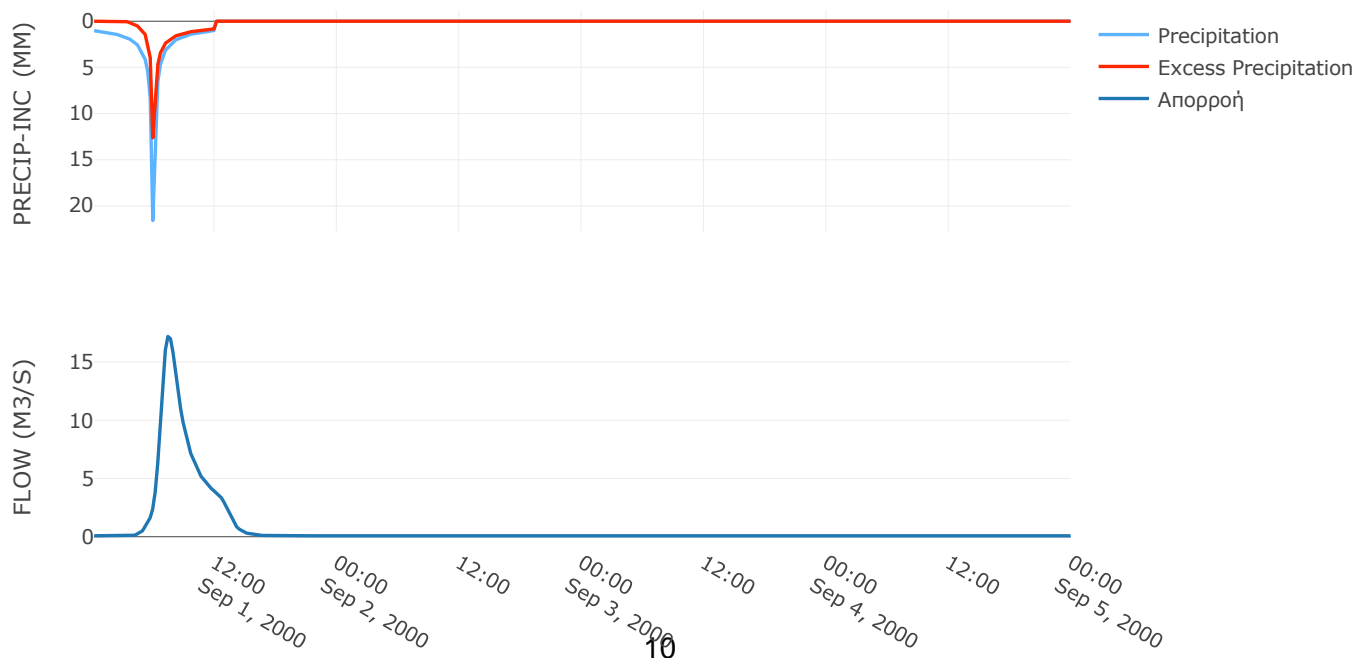
Μέθοδος
Μετασχηματισμού: SCS

Χρόνος Υστέρησης	71.63
------------------	-------

Αποτελέσματα:
EL0421FR002003

Παροχή αιχμής (M3/S)	17.19
Χρονική στιγμή αιχμής	01Sep2000, 07:15
Όγκος (MM)	76.69
Όγκος βροχόπτωσης (M3)	4.27E5
Όγκος απωλειών (M3)	2.08E5
Ενεργός Όγκος (M3)	2.19E5
Όγκος άμεσης απορροής (M3)	2.19E5
Όγκος βασικής απορροής (M3)	27815.62

Βροχόπτωση και Απορροή



2.2 Δεδομένα και Υδρογραφήματα Σχεδιασμού Κλάδων Υδρογραφικού Δικτύου

Κλάδος: R21

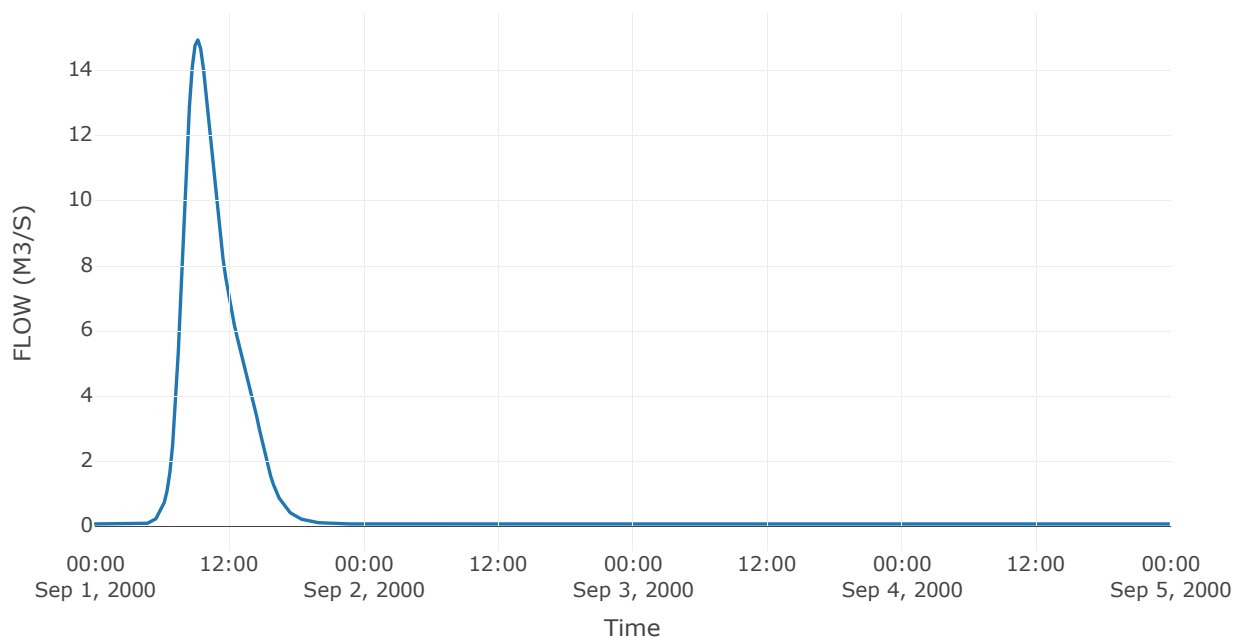
Κατάντη : J1

Μέθοδος Διόδευσης	Muskingum
Αρχική Μεταβλητή	Combined Inflow
Χρόνος Ροής K	1.01
Συντελεστής βάρους x	0.2
Πλήθος Υποκλάδων	4

Αποτελέσματα: R21

Παροχή Αιχμής (M3/S)	14.93
Χρονική στιγμή αιχμής	01Sep2000, 09:15
Όγκος (MM)	77.1
Παροχή Αιχμής Εισόδου (M3/S)	15.5
Όγκος Εισόδου (M3)	2.86E5

Απορροή



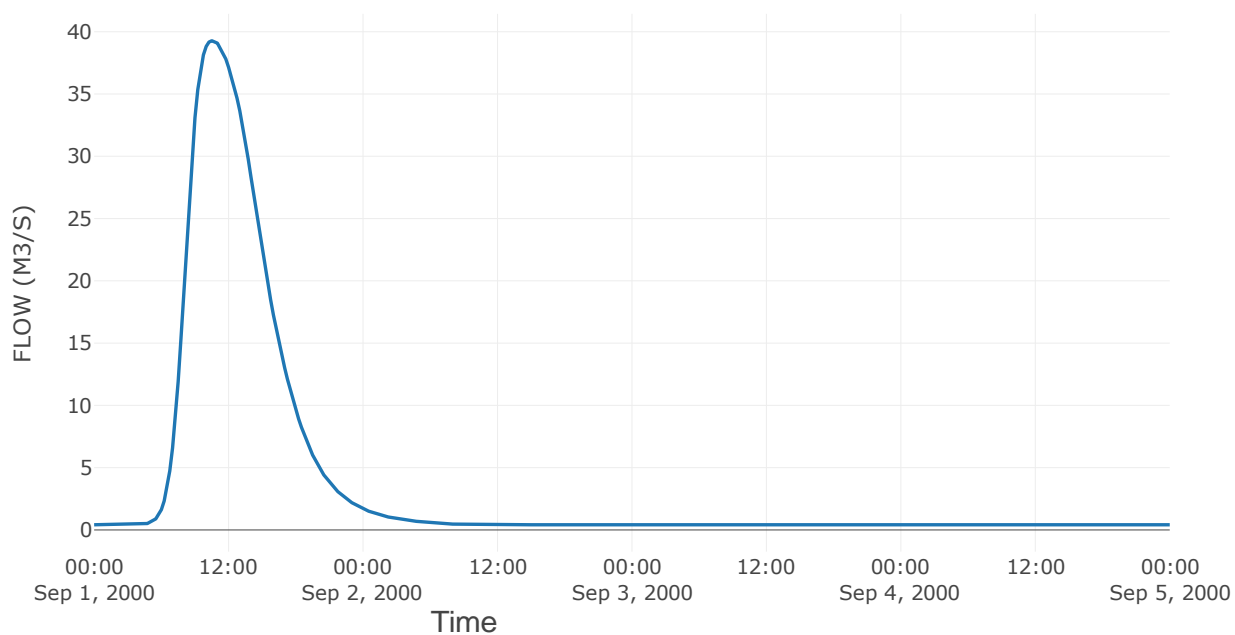
2.3 Δεδομένα και Υδρογραφήματα Σχεδιασμού Κόμβων Υδρογραφικού Δικτύου

Κόμβος εξόδου: J1

Αποτέλεσμα
τα: J1

Παροχή αιχμής (M3/S)	39.27
Χρονική στιγμή αιχμής	01Sep2000, 10:30
Όγκος (MM)	77.49

Απορροή



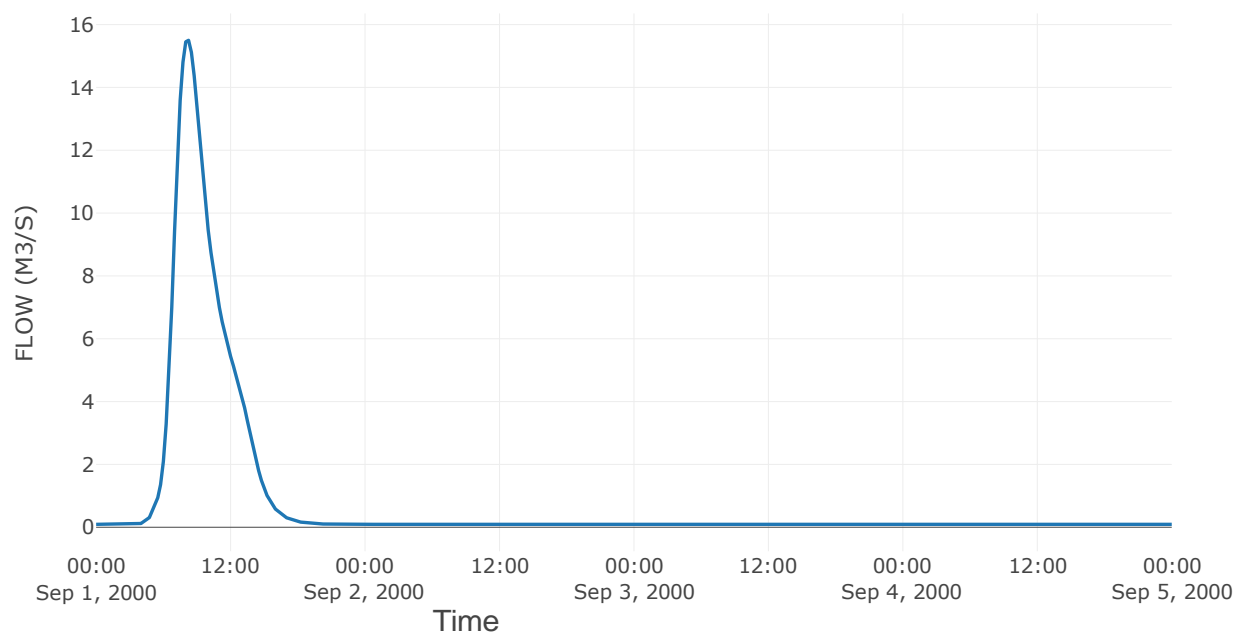
Κόμβος: J2

Κατάντη : R21

Αποτελέσματα: J2

Παροχή Αιχμής (M3/S)	15.5
Χρονική στιγμή αιχμής	01Sep2000, 08:15
Όγκος (MM)	77.1

Απορροή

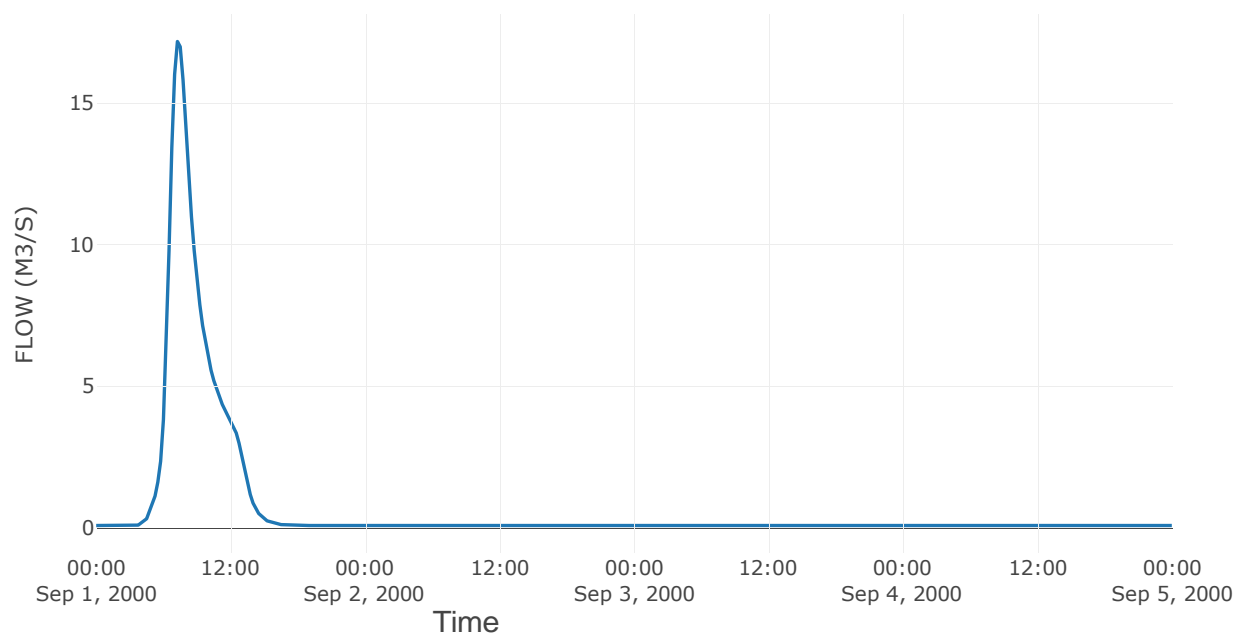


Κόμβος εξόδου: J3

Αποτελέσματ
α: J3

Παροχή αιχμής (M3/S)	17.19
Χρονική στιγμή αιχμής	01Sep2000, 07:15
Όγκος (MM)	76.69

Απορροή



3 Δεδομένα εισόδου και αποτελέσματα υδρολογικού σεναρίου T=50L

3.1 Αποτελέσματα, νετογραφήματα και υδρογραφήματα σχεδιασμού υπολεκανών

Υπολεκάνη: EL0421FR002001

Έκταση (KM2) : 12.93

Κατάντη : J1

Μέθοδος Απωλειών: SCS

Ποσοστό αδιαπέρατης επιφάνειας	0
Αριθμός Καμπύλης Απορροής-CN	62.66
Αρχικές Απώλειες	30.27

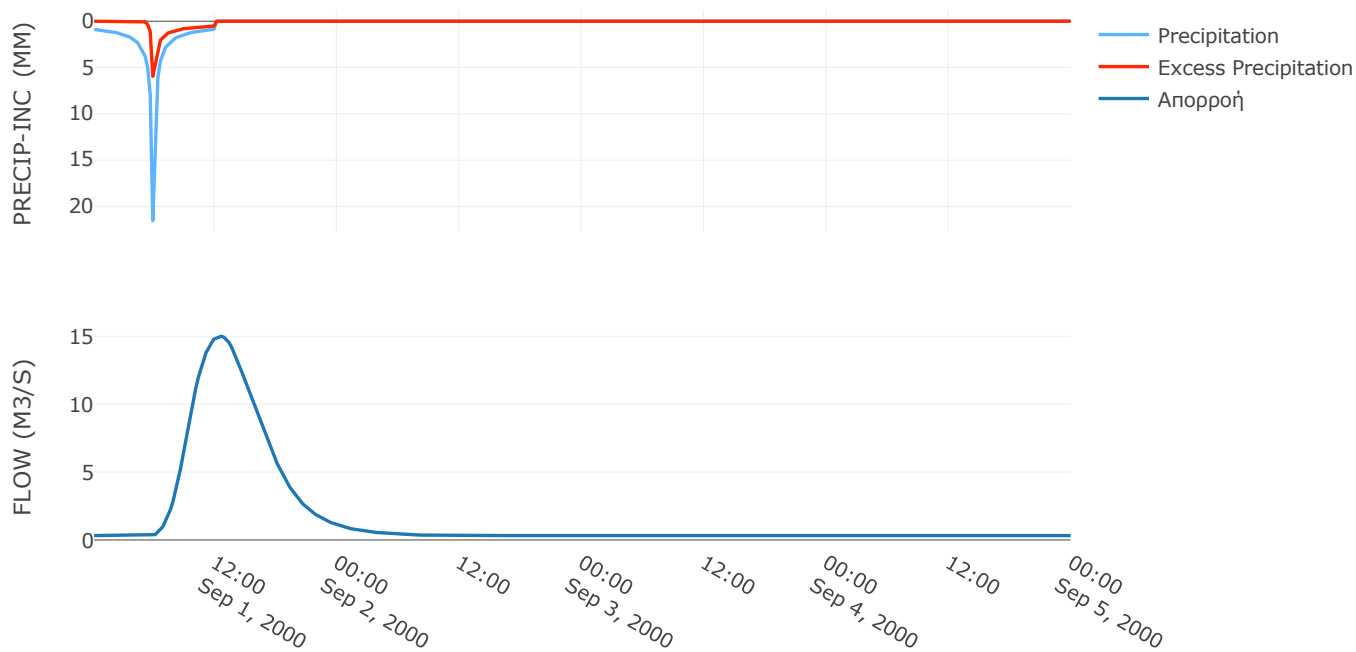
Μέθοδος
Μετασχηματισμού: SCS

Χρόνος Υστέρησης	294.05
------------------	--------

Αποτελέσματα:
EL0421FR002001

Παροχή αιχμής (M3/S)	15
Χρονική στιγμή αιχμής	01Sep2000, 12:30
Όγκος (MM)	43.16
Όγκος βροχόπτωσης (M3)	1.57E6
Όγκος απωλειών (M3)	1.13E6
Ενεργός Όγκος (M3)	4.46E5
Όγκος άμεσης απορροής (M3)	4.46E5
Όγκος βασικής απορροής (M3)	1.12E5

Βροχόπτωση και Απορροή



Υπολεκάνη: EL0421FR002002

Έκταση (KM2) : 3.7

Κατάντη : J2

Μέθοδος Απωλειών: SCS

Ποσοστό αδιαπέρατης επιφάνειας	0
Αριθμός Καμπύλης Απορροής-CN	59.16
Αρχικές Απώλειες	35.07

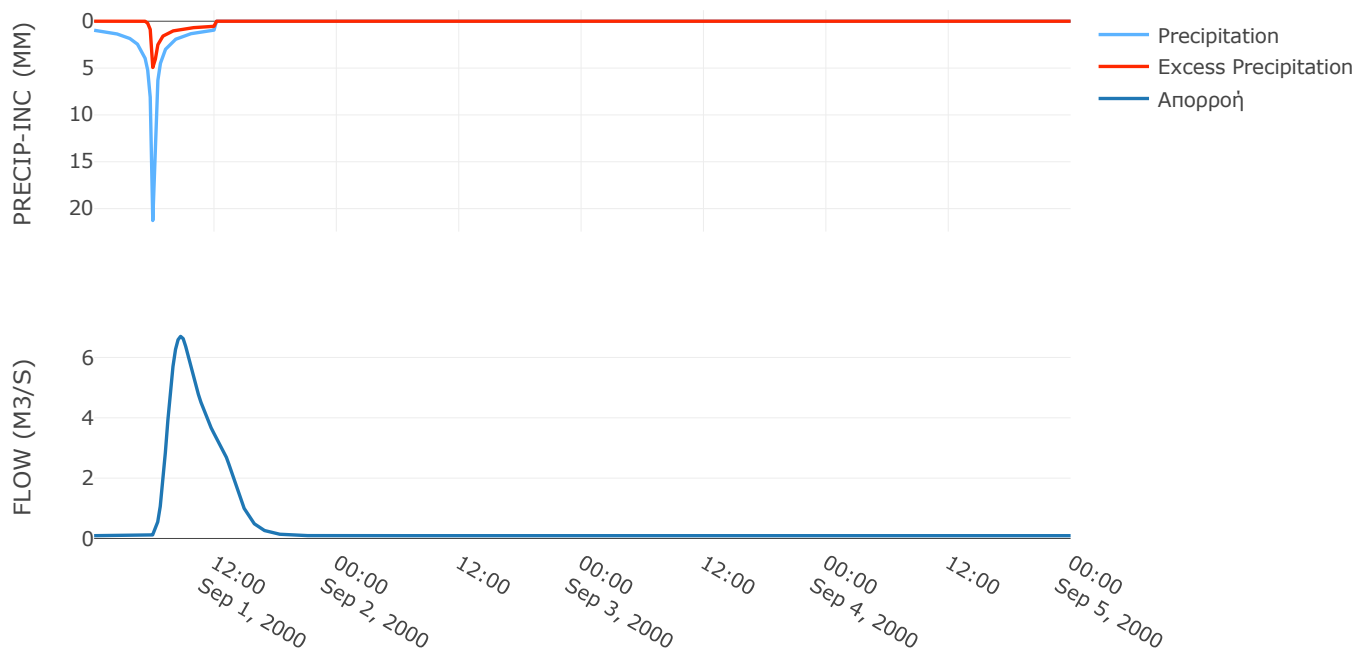
Μέθοδος
Μετασχηματισμού: SCS

Χρόνος Υστέρησης	114.23
------------------	--------

Αποτελέσματα:
EL0421FR002002

Παροχή αιχμής (M3/S)	6.7
Χρονική στιγμή αιχμής	01Sep2000, 08:30
Όγκος (MM)	40.71
Όγκος βροχόπτωσης (M3)	4.73E5
Όγκος απωλειών (M3)	3.55E5
Ενεργός Όγκος (M3)	1.19E5
Όγκος άμεσης απορροής (M3)	1.19E5
Όγκος βασικής απορροής (M3)	31998.76

Βροχόπτωση και Απορροή



Υπολεκάνη: EL0421FR002003

Έκταση (KM2) : 3.22

Κατάντη : J3

Μέθοδος Απωλειών: SCS

Ποσοστό αδιαπέρατης επιφάνειας	0
Αριθμός Καμπύλης Απορροής-CN	56.41
Αρχικές Απώλειες	39.26

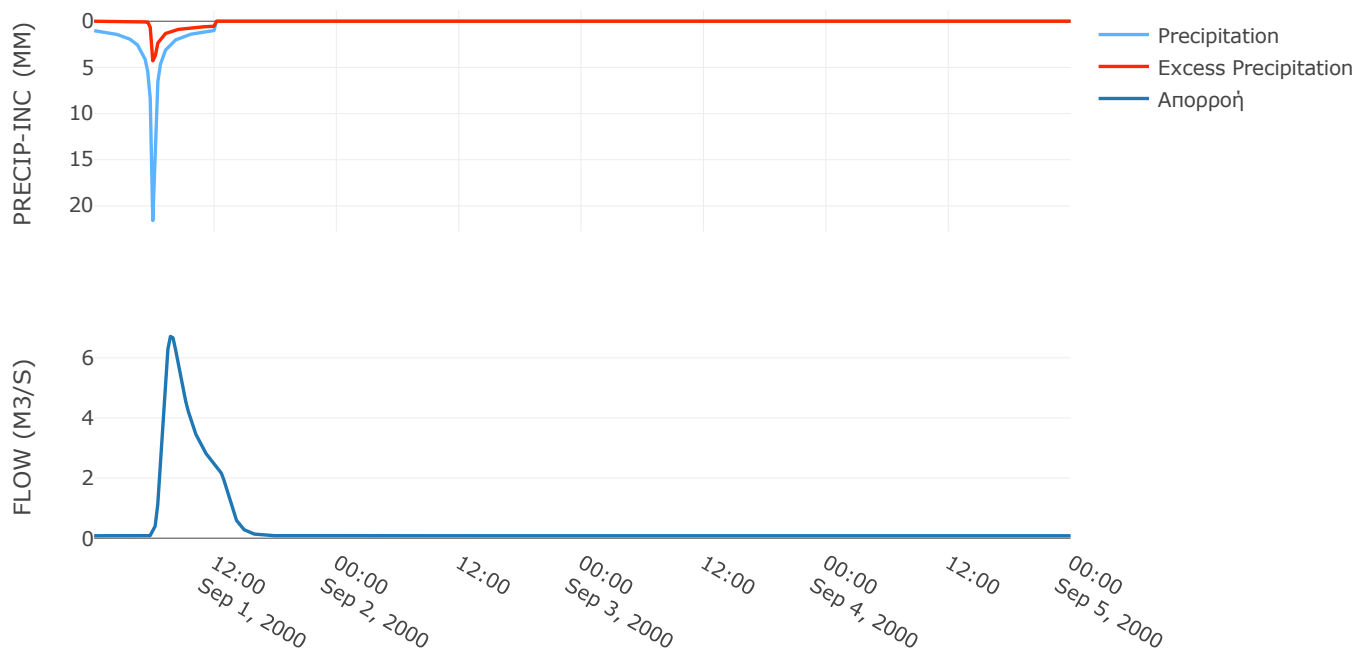
Μέθοδος
Μετασχηματισμού: SCS

Χρόνος Υστέρησης	71.63
------------------	-------

Αποτελέσματα:
EL0421FR002003

Παροχή αιχμής (M3/S)	6.71
Χρονική στιγμή αιχμής	01Sep2000, 07:30
Όγκος (MM)	38.82
Όγκος βροχόπτωσης (M3)	4.27E5
Όγκος απωλειών (M3)	3.3E5
Ενεργός Όγκος (M3)	97157.46
Όγκος άμεσης απορροής (M3)	97157.46
Όγκος βασικής απορροής (M3)	27815.62

Βροχόπτωση και Απορροή



3.2 Δεδομένα και Υδρογραφήματα Σχεδιασμού Κλάδων Υδρογραφικού Δικτύου

Κλάδος: R21

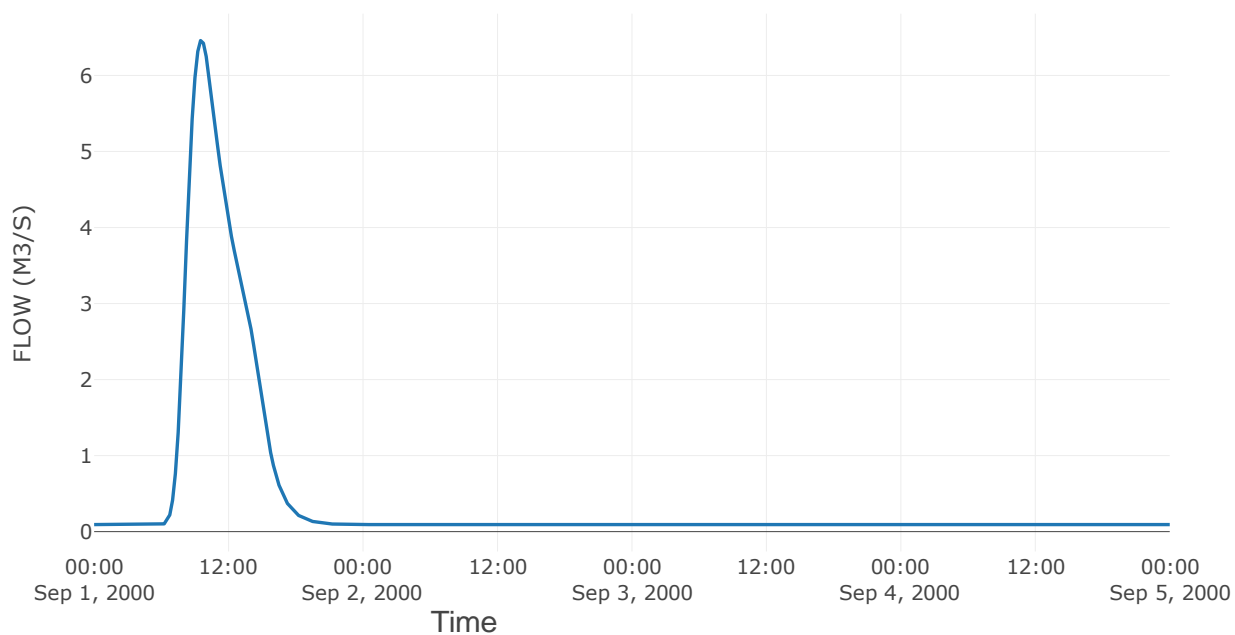
Κατάντη : J1

Μέθοδος Διόδευσης	Muskingum
Αρχική Μεταβλητή	Combined Inflow
Χρόνος Ροής Κ	1.01
Συντελεστής βάρους x	0.2
Πλήθος Υποκλάδων	4

Αποτελέσματα: R21

Παροχή Αιχμής (M3/S)	6.46
Χρονική στιγμή αιχμής	01Sep2000, 09:30
Όγκος (MM)	40.71
Παροχή Αιχμής Εισόδου (M3/S)	6.7
Όγκος Εισόδου (M3)	1.51E5

Απορροή



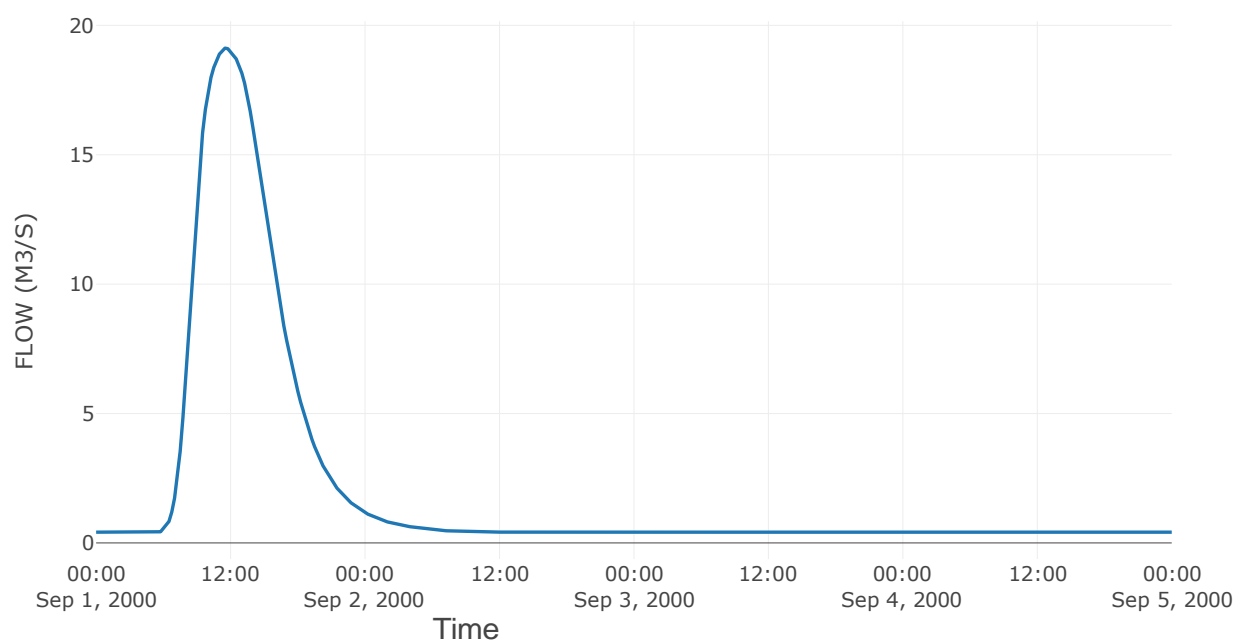
3.3 Δεδομένα και Υδρογραφήματα Σχεδιασμού Κόμβων Υδρογραφικού Δικτύου

Κόμβος εξόδου: J1

Αποτελέσματα: J1

Παροχή Αιχμής (M3/S)	19.12
Χρονική στιγμή αιχμής	01Sep2000, 11:30
Όγκος (MM)	42.61

Απορροή



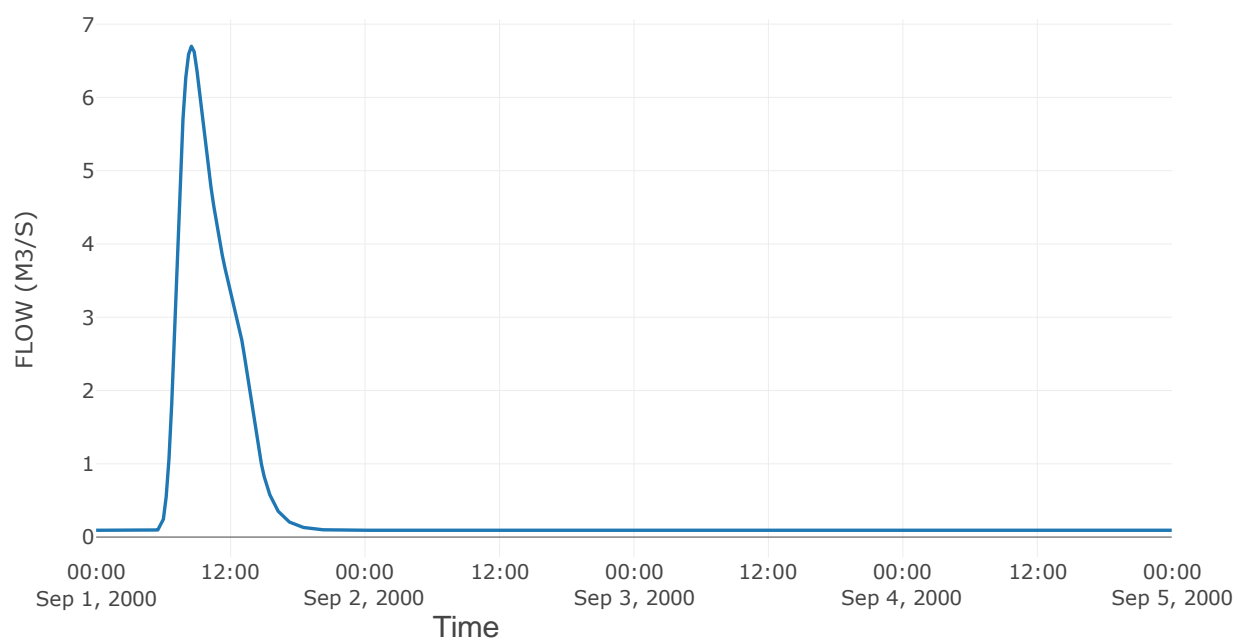
Κόμβος: J2

Κατάντη : R21

Αποτελέσματα: J2

Παροχή Αιχμής (M3/S)	6.7
Χρονική στιγμή αιχμής	01Sep2000, 08:30
Όγκος (MM)	40.71

Απορροή

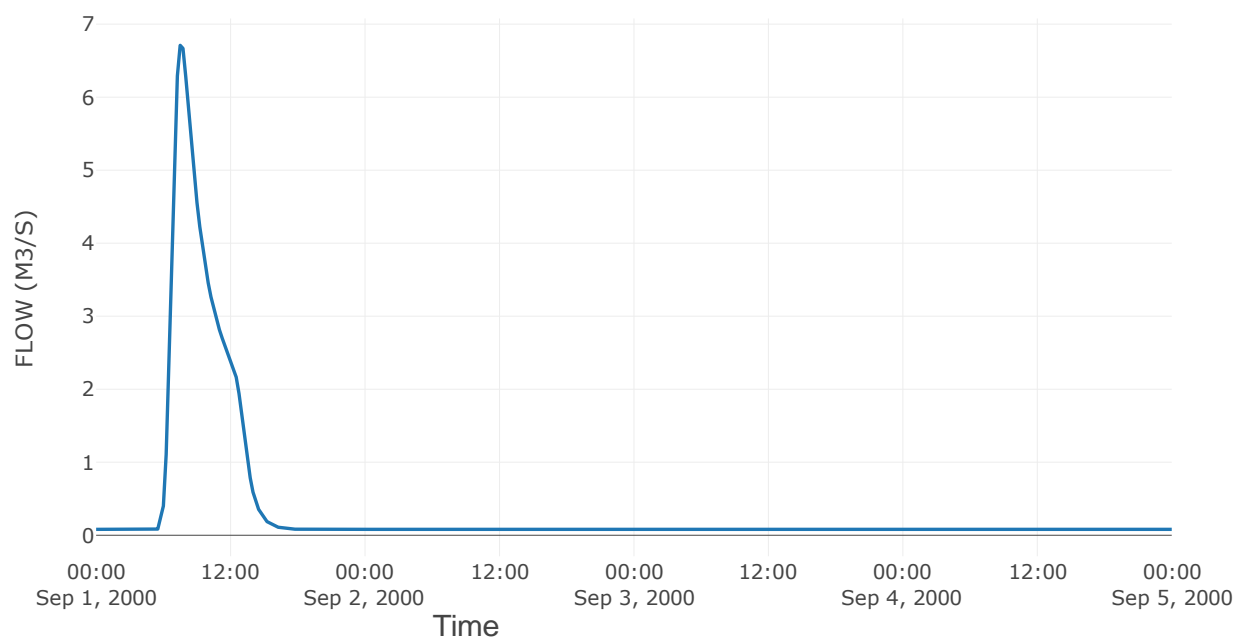


Κόμβος εξόδου: J3

Αποτελέσμα
α: J3

Παροχή αιχμής (M3/S)	6.71
Χρονική στιγμή αιχμής	01Sep2000, 07:30
Όγκος (MM)	38.82

Απορροή



4 Δεδομένα εισόδου και αποτελέσματα υδρολογικού σεναρίου T=50U

4.1 Αποτελέσματα, νετογραφήματα και υδρογραφήματα σχεδιασμού υπολεκανών

Υπολεκάνη: EL0421FR002001

Έκταση (KM2) : 12.93

Κατάντη : J1

Μέθοδος Απωλειών: SCS

Ποσοστό αδιαπέρατης επιφάνειας	0
Αριθμός Καμπύλης Απορροής-CN	90.19
Αρχικές Απώλειες	5.53

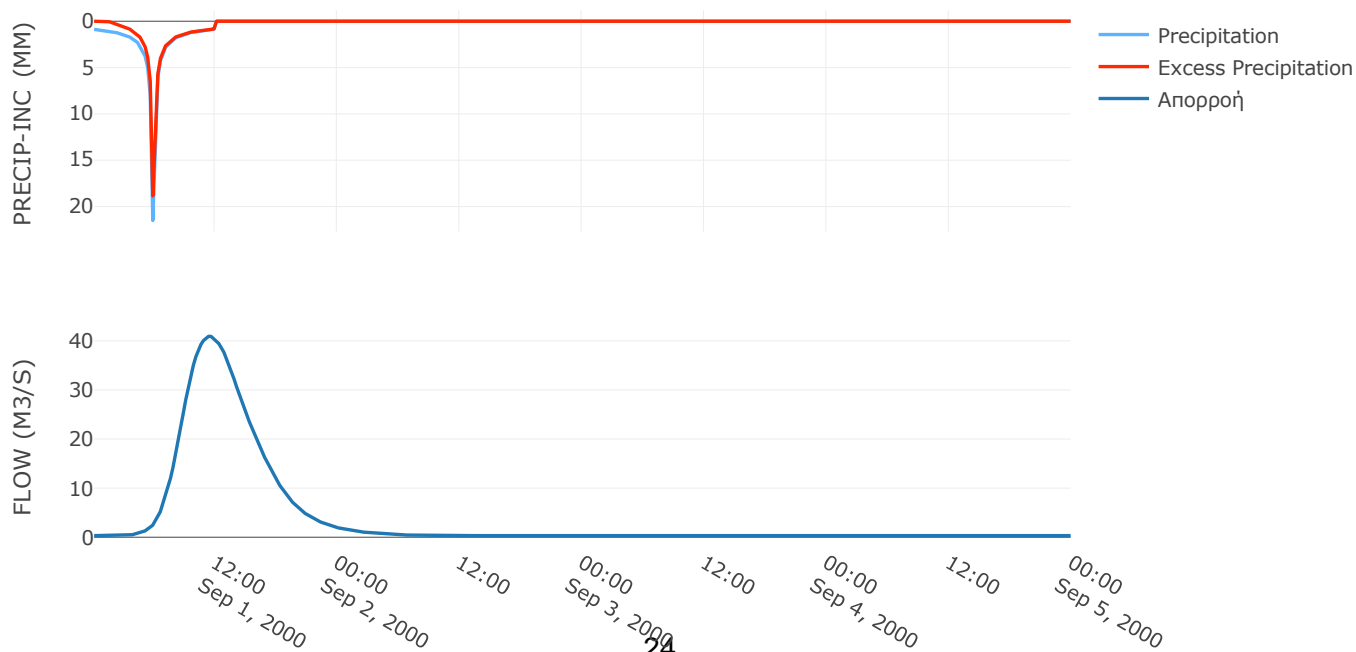
Μέθοδος
Μετασχηματισμού: SCS

Χρόνος Υστέρησης	294.05
------------------	--------

Αποτελέσματα:
EL0421FR002001

Παροχή αιχμής (M3/S)	40.92
Χρονική στιγμή αιχμής	01Sep2000, 11:15
Όγκος (MM)	102.62
Όγκος βροχόπτωσης (M3)	1.57E6
Όγκος απωλειών (M3)	3.6E5
Ενεργός Όγκος (M3)	1.21E6
Όγκος άμεσης απορροής (M3)	1.21E6
Όγκος βασικής απορροής (M3)	1.12E5

Βροχόπτωση και Απορροή



Υπολεκάνη: EL0421FR002002

Έκταση (KM2) : 3.7

Κατάντη : J2

Μέθοδος Απωλειών: SCS

Ποσοστό αδιαπέρατης επιφάνειας	0
Αριθμός Καμπύλης Απορροής-CN	88.81
Αρχικές Απώλειες	6.4

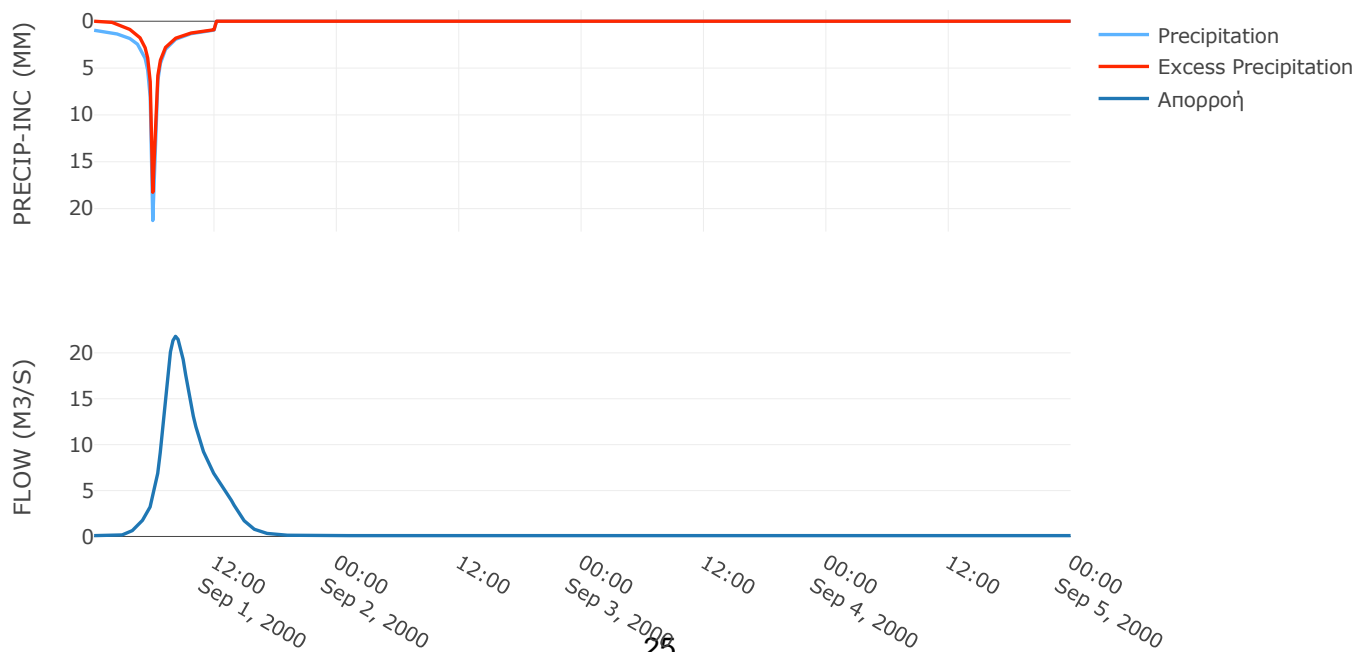
Μέθοδος
Μετασχηματισμού: SCS

Χρόνος Υστέρησης	114.23
------------------	--------

Αποτελέσματα:
EL0421FR002002

Παροχή αιχμής (M3/S)	21.8
Χρονική στιγμή αιχμής	01Sep2000, 08:00
Όγκος (MM)	104.69
Όγκος βροχόπτωσης (M3)	4.73E5
Όγκος απωλειών (M3)	1.18E5
Ενεργός Όγκος (M3)	3.56E5
Όγκος άμεσης απορροής (M3)	3.56E5
Όγκος βασικής απορροής (M3)	31998.76

Βροχόπτωση και Απορροή



Υπολεκάνη: EL0421FR002003

Έκταση (KM2) : 3.22

Κατάντη : J3

Μέθοδος Απωλειών: SCS

Ποσοστό αδιαπέρατης επιφάνειας	0
Αριθμός Καμπύλης Απορροής-CN	87.63
Αρχικές Απώλειες	7.17

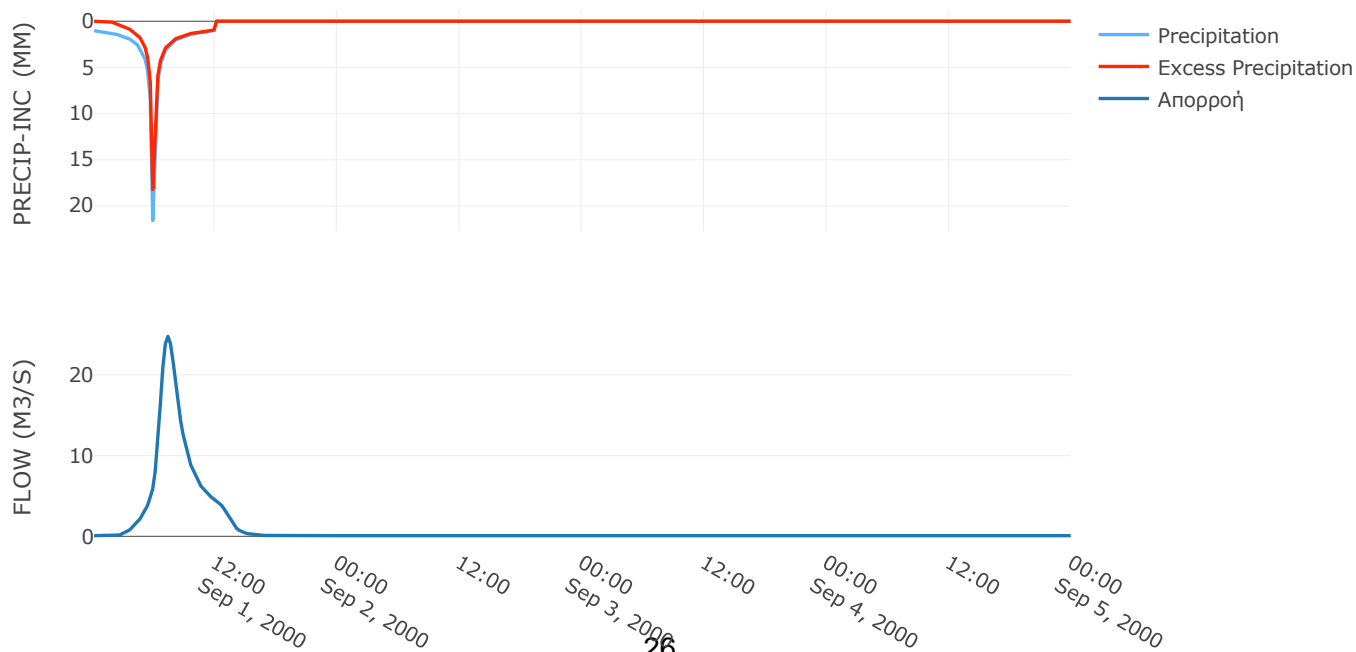
Μέθοδος
Μετασχηματισμού: SCS

Χρόνος Υστέρησης	71.63
------------------	-------

Αποτελέσματα:
EL0421FR002003

Παροχή αιχμής (M3/S)	24.78
Χρονική στιγμή αιχμής	01Sep2000, 07:15
Όγκος (MM)	106.36
Όγκος βροχόπτωσης (M3)	4.27E5
Όγκος απωλειών (M3)	1.13E5
Ενεργός Όγκος (M3)	3.15E5
Όγκος άμεσης απορροής (M3)	3.15E5
Όγκος βασικής απορροής (M3)	27815.62

Βροχόπτωση και Απορροή



4.2 Δεδομένα και Υδρογραφήματα Σχεδιασμού Κλάδων Υδρογραφικού Δικτύου

Κλάδος: R21

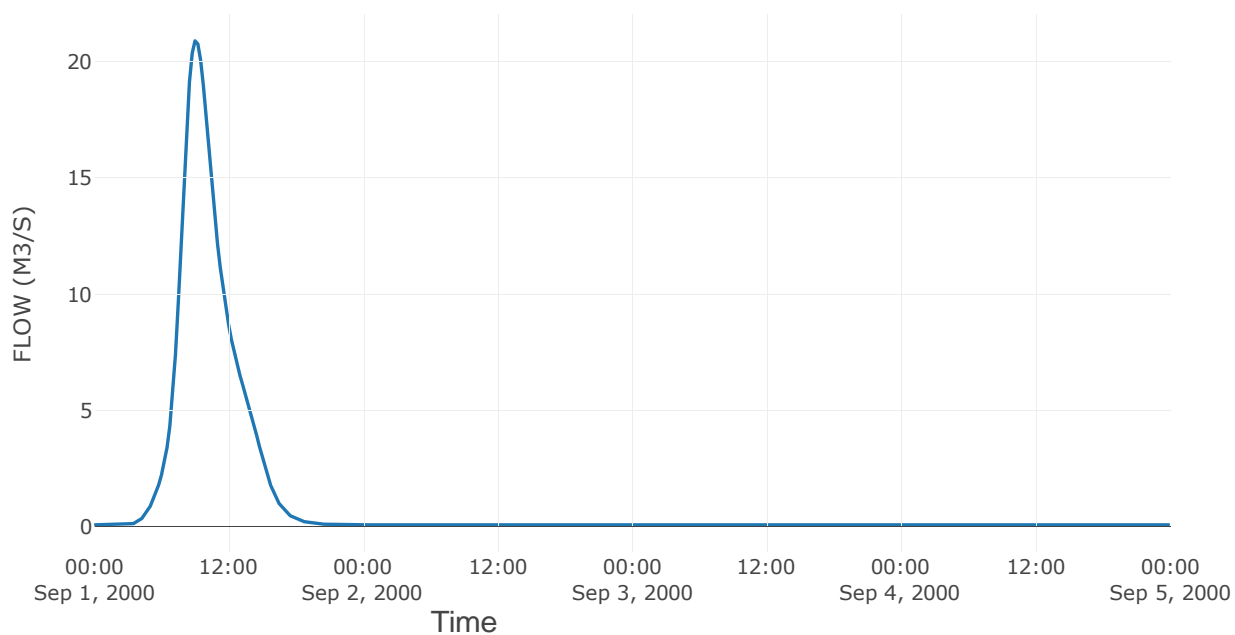
Κατάντη : J1

Μέθοδος Διόδευσης	Muskingum
Αρχική Μεταβλητή	Combined Inflow
Χρόνος Ροής K	1.01
Συντελεστής βάρους x	0.2
Πλήθος Υποκλάδων	4

Αποτελέσματα: R21

Παροχή Αιχμής (M3/S)	20.89
Χρονική στιγμή αιχμής	01Sep2000, 09:00
Όγκος (MM)	104.69
Παροχή Αιχμής Εισόδου (M3/S)	21.8
Όγκος Εισόδου (M3)	3.88E5

Απορροή



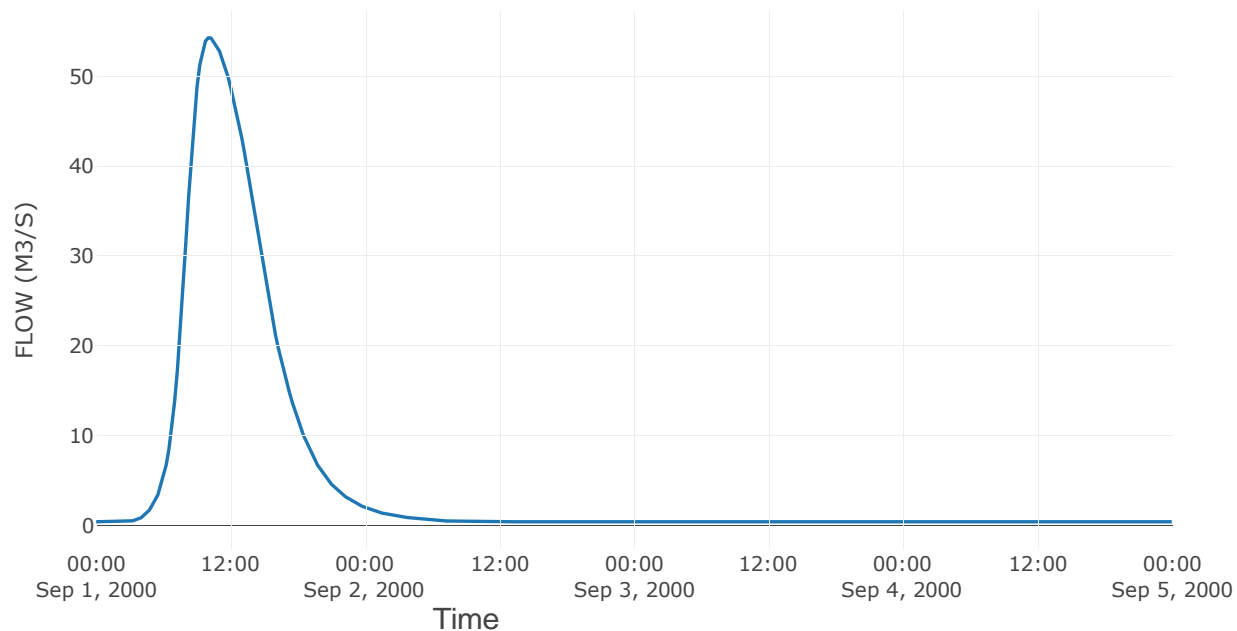
4.3 Δεδομένα και Υδρογραφήματα Σχεδιασμού Κόμβων Υδρογραφικού Δικτύου

Κόμβος εξόδου: J1

Αποτελέσμα
τα: J1

Παροχή αιχμής (M3/S)	54.3
Χρονική στιγμή αιχμής	01Sep2000, 10:00
Όγκος (MM)	103.08

Απορροή



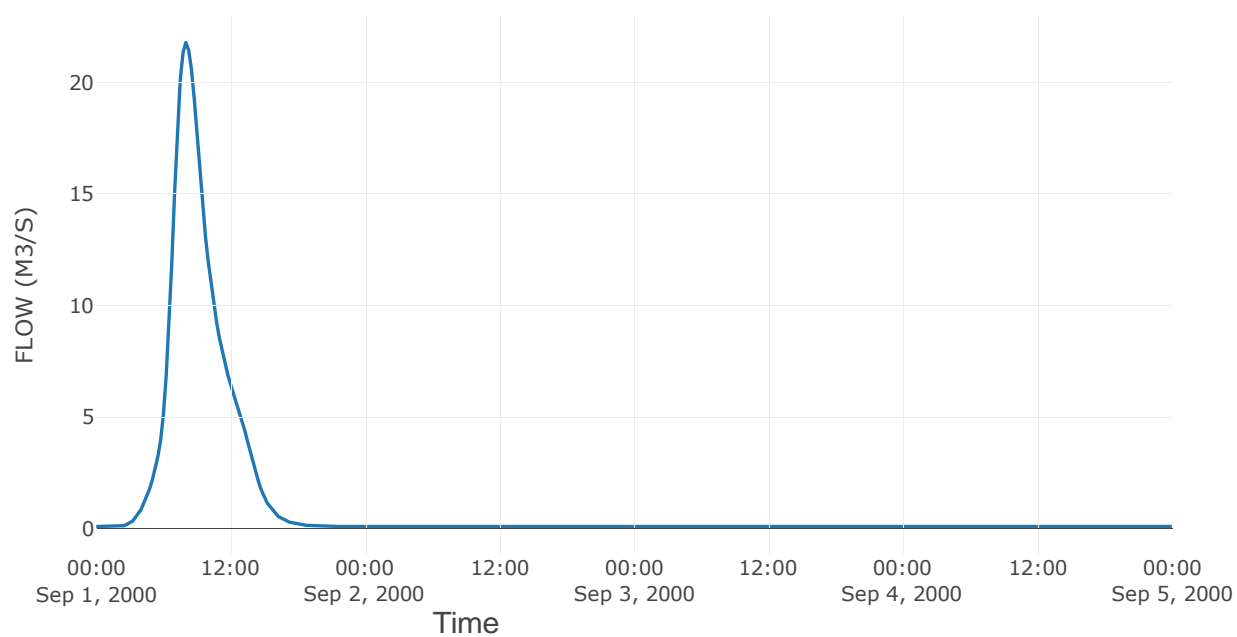
Κόμβος: J2

Κατάντη : R21

Αποτελέσματα: J2

Παροχή Αιχμής (M3/S)	21.8
Χρονική στιγμή αιχμής	01Sep2000, 08:00
Όγκος (MM)	104.69

Απορροή

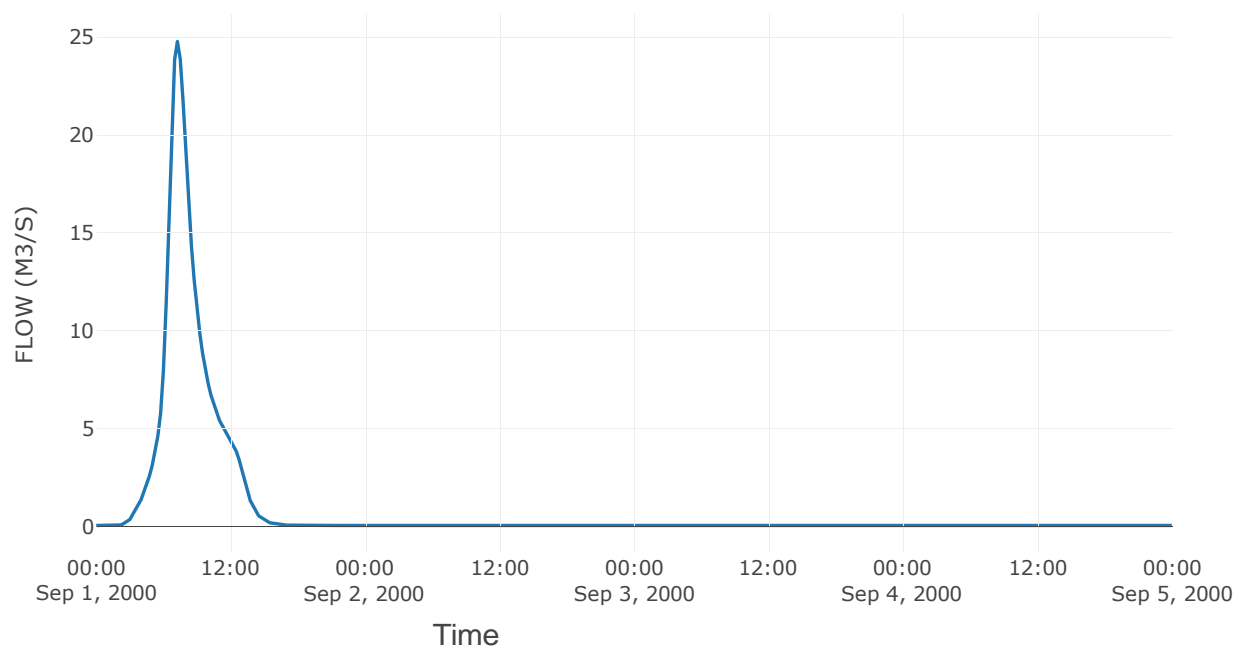


Κόμβος εξόδου: J3

Αποτελέσματ
α: J3

Παροχή αιχμής (M3/S)	24.78
Χρονική στιγμή αιχμής	01Sep2000, 07:15
Όγκος (MM)	106.36

Απορροή



5 Δεδομένα εισόδου και αποτελέσματα υδρολογικού σεναρίου T=100

5.1 Αποτελέσματα, νετογραφήματα και υδρογραφήματα σχεδιασμού υπολεκανών

Υπολεκάνη: EL0421FR002001

Έκταση (KM2) : 12.93

Κατάντη : J1

Μέθοδος Απωλειών: SCS

Ποσοστό αδιαπέρατης επιφάνειας	0
Αριθμός Καμπύλης Απορροής-CN	79.98
Αρχικές Απώλειες	12.71

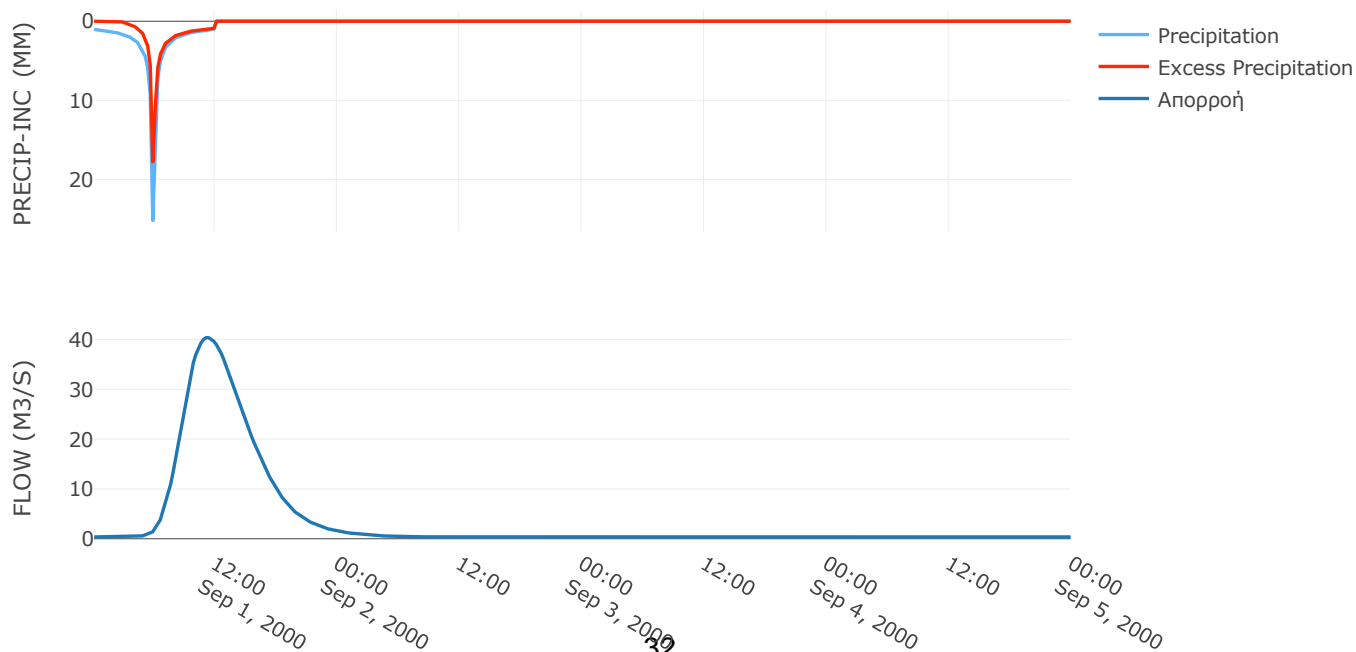
Μέθοδος
Μετασχηματισμού: SCS

Χρόνος Υστέρησης	271.7
------------------	-------

Αποτελέσματα:
EL0421FR002001

Παροχή αιχμής (M3/S)	40.35
Χρονική στιγμή αιχμής	01Sep2000, 11:15
Όγκος (MM)	96.98
Όγκος βροχόπτωσης (M3)	1.84E6
Όγκος απωλειών (M3)	7.16E5
Ενεργός Όγκος (M3)	1.13E6
Όγκος άμεσης απορροής (M3)	1.13E6
Όγκος βασικής απορροής (M3)	1.25E5

Βροχόπτωση και Απορροή



Υπολεκάνη: EL0421FR002002

Έκταση (KM2) : 3.7

Κατάντη : J2

Μέθοδος Απωλειών: SCS

Ποσοστό αδιαπέρατης επιφάνειας	0
Αριθμός Καμπύλης Απορροής-CN	77.52
Αρχικές Απώλειες	14.73

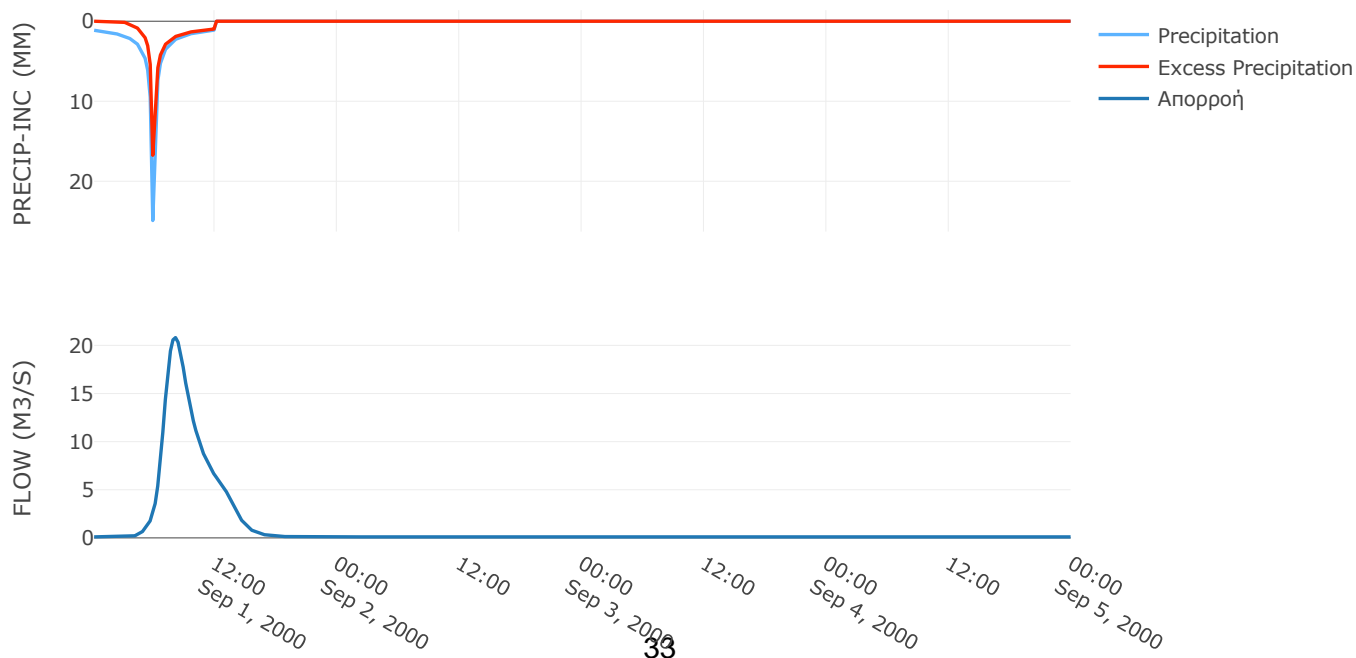
Μέθοδος
Μετασχηματισμού: SCS

Χρόνος Υστέρησης	105.55
------------------	--------

Αποτελέσματα:
EL0421FR002002

Παροχή αιχμής (M3/S)	20.81
Χρονική στιγμή αιχμής	01Sep2000, 08:00
Όγκος (MM)	96.96
Όγκος βροχόπτωσης (M3)	5.54E5
Όγκος απωλειών (M3)	2.31E5
Ενεργός Όγκος (M3)	3.23E5
Όγκος άμεσης απορροής (M3)	3.23E5
Όγκος βασικής απορροής (M3)	35838.72

Βροχόπτωση και Απορροή



Υπολεκάνη: EL0421FR002003

Έκταση (KM2) : 3.22

Κατάντη : J3

Μέθοδος Απωλειών: SCS

Ποσοστό αδιαπέρατης επιφάνειας	0
Αριθμός Καμπύλης Απορροής-CN	75.5
Αρχικές Απώλειες	16.49

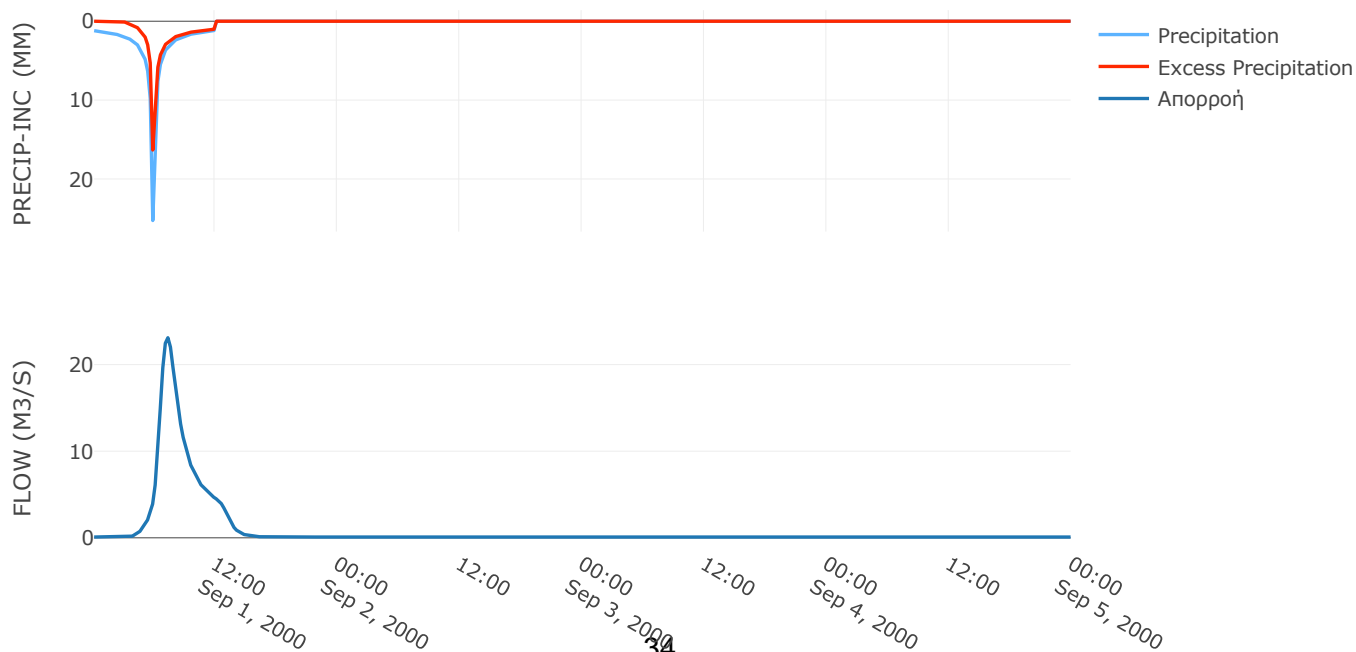
Μέθοδος
Μετασχηματισμού: SCS

Χρόνος Υστέρησης	66.19
------------------	-------

Αποτελέσματα:
EL0421FR002003

Παροχή αιχμής (M3/S)	23.1
Χρονική στιγμή αιχμής	01Sep2000, 07:15
Όγκος (MM)	96.93
Όγκος βροχόπτωσης (M3)	5.01E5
Όγκος απωλειών (M3)	2.2E5
Ενεργός Όγκος (M3)	2.81E5
Όγκος άμεσης απορροής (M3)	2.81E5
Όγκος βασικής απορροής (M3)	31153.42

Βροχόπτωση και Απορροή



5.2 Δεδομένα και Υδρογραφήματα Σχεδιασμού Κλάδων Υδρογραφικού Δικτύου

Κλάδος: R21

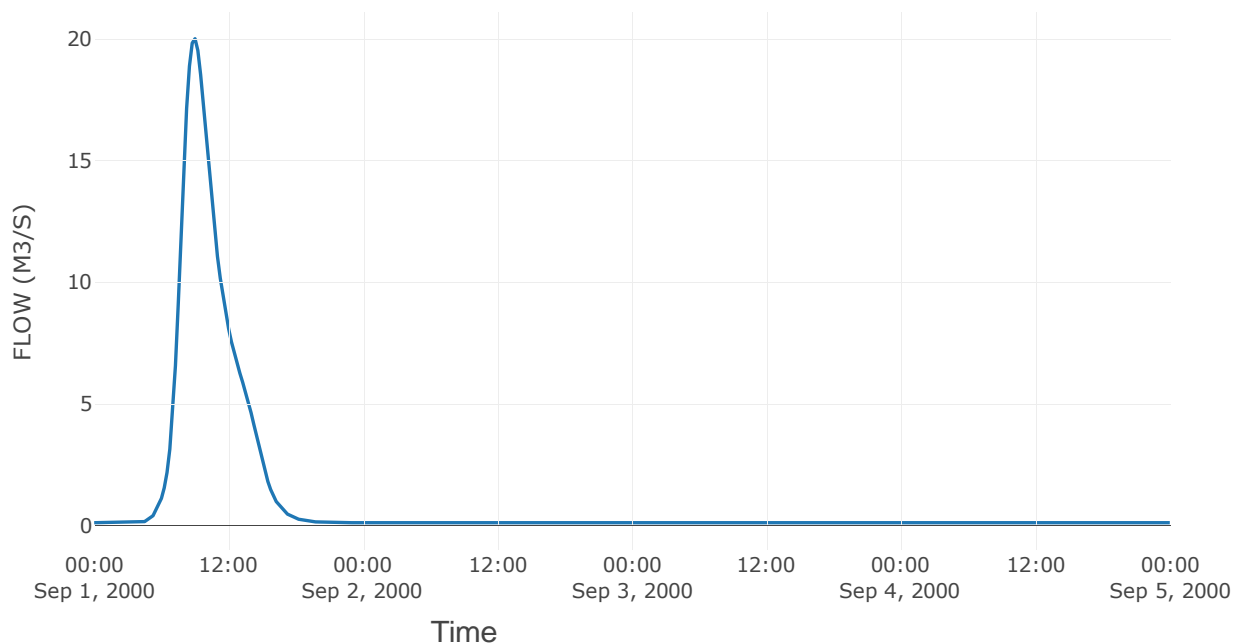
Κατάντη : J1

Μέθοδος Διόδευσης	Muskingum
Αρχική Μεταβλητή	Combined Inflow
Χρόνος Ροής K	0.94
Συντελεστής βάρους x	0.2
Πλήθος Υποκλάδων	4

Αποτελέσματα: R21

Παροχή Αιχμής (M3/S)	20
Χρονική στιγμή αιχμής	01Sep2000, 09:00
Όγκος (MM)	96.96
Παροχή Αιχμής Εισόδου (M3/S)	20.81
Όγκος Εισόδου (M3)	3.59E5

Απορροή



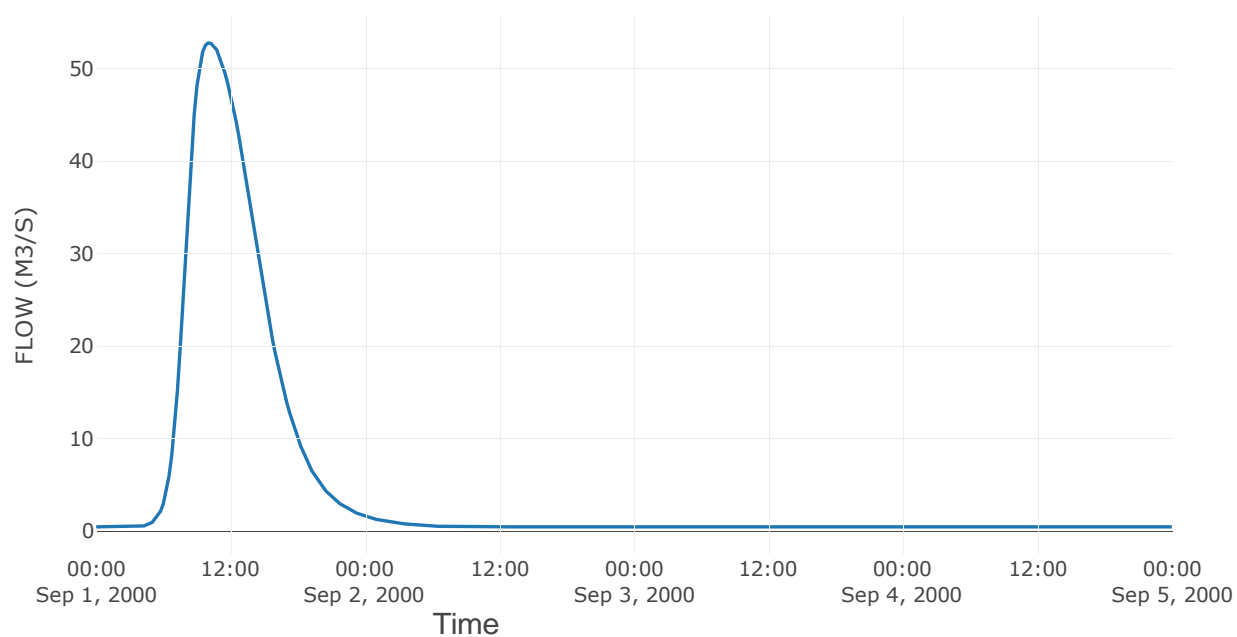
5.3 Δεδομένα και Υδρογραφήματα Σχεδιασμού Κόμβων Υδρογραφικού Δικτύου

Κόμβος εξόδου: J1

Αποτελέσμα
τα: J1

Παροχή αιχμής (M3/S)	52.77
Χρονική στιγμή αιχμής	01Sep2000, 10:00
Όγκος (MM)	96.98

Απορροή



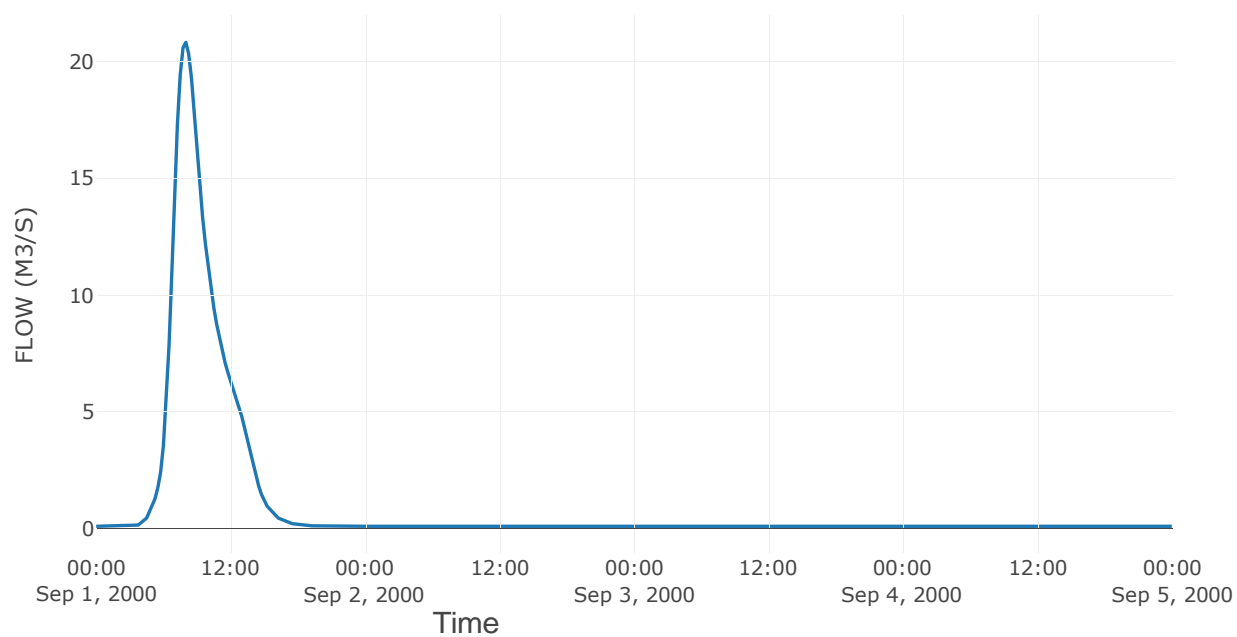
Κόμβος: J2

Κατάντη : R21

Αποτελέσματα: J2

Παροχή Αιχμής (M3/S)	20.81
Χρονική στιγμή αιχμής	01Sep2000, 08:00
Όγκος (MM)	96.96

Απορροή

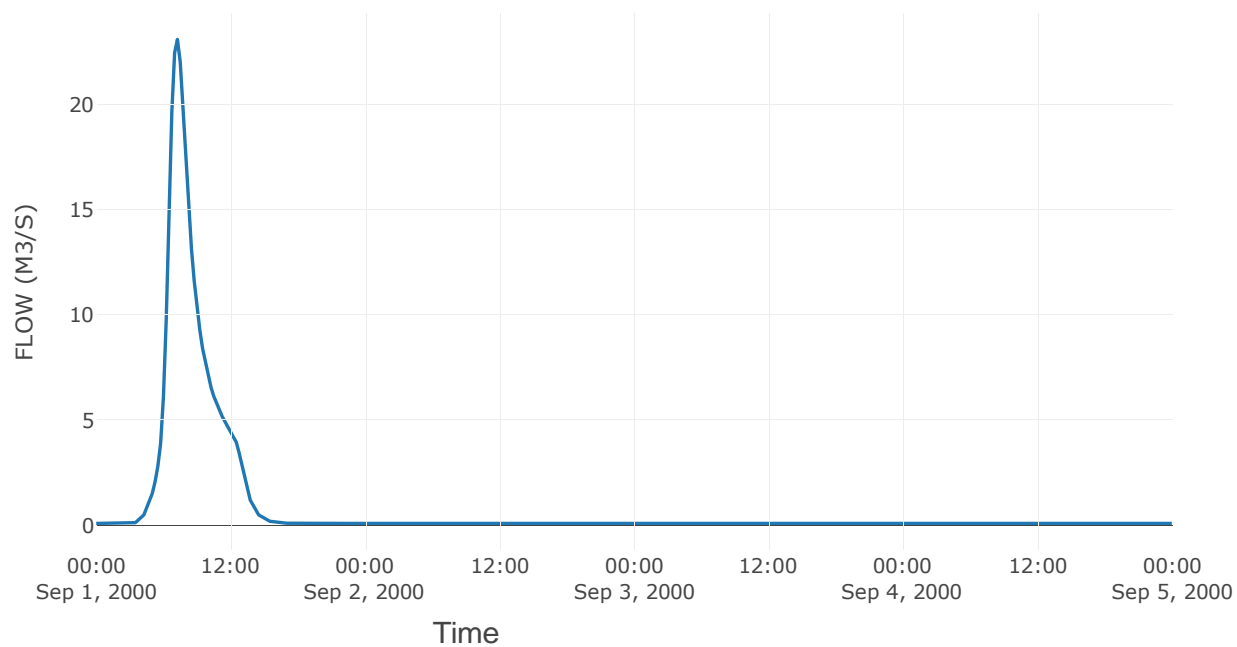


Κόμβος εξόδου: J3

Αποτελέσματ
α: J3

Παροχή αιχμής (M3/S)	23.1
Χρονική στιγμή αιχμής	01Sep2000, 07:15
Όγκος (MM)	96.93

Απορροή



6 Δεδομένα εισόδου και αποτελέσματα υδρολογικού σεναρίου T=100L

6.1 Αποτελέσματα, υετογραφήματα και υδρογραφήματα σχεδιασμού υπολεκανών

Υπολεκάνη: EL0421FR002001

Έκταση (KM2) : 12.93

Κατάντη : J1

Μέθοδος Απωλειών: SCS

Ποσοστό αδιαπέρατης επιφάνειας	0
Αριθμός Καμπύλης Απορροής-CN	62.66
Αρχικές Απώλειες	30.27

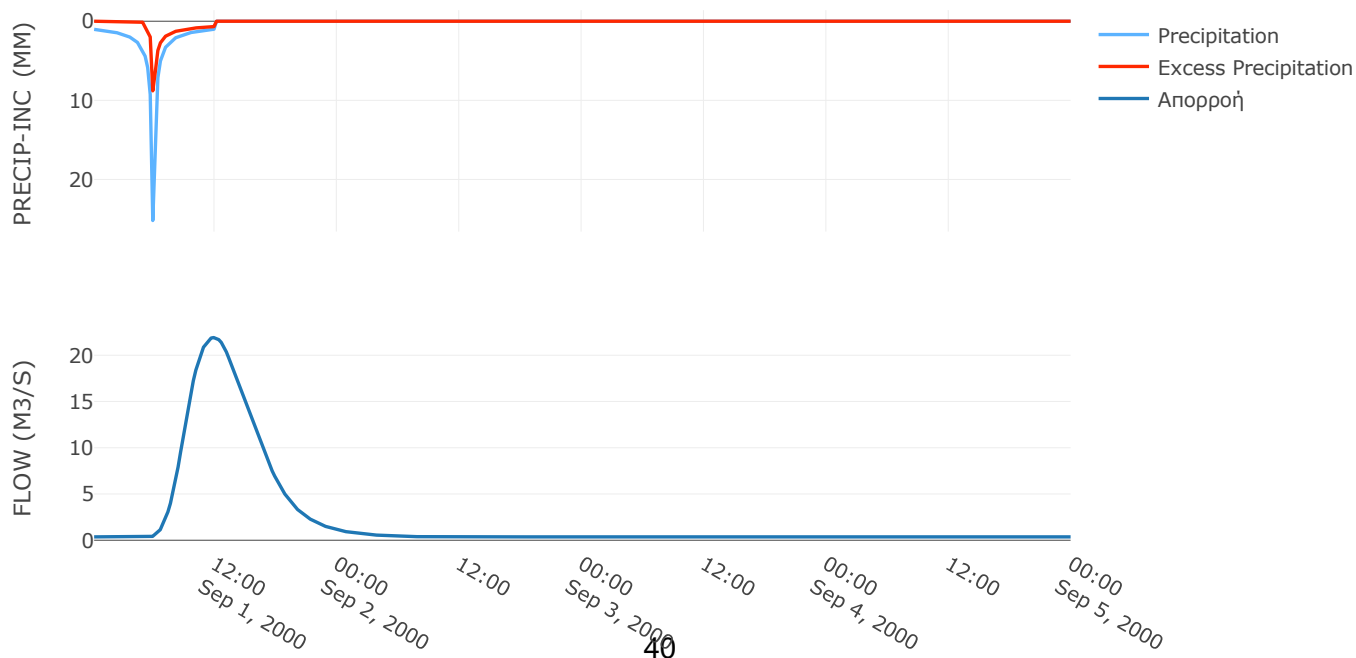
Μέθοδος
Μετασχηματισμού: SCS

Χρόνος Υστέρησης	271.7
------------------	-------

Αποτελέσματα:
EL0421FR002001

Παροχή αιχμής (M3/S)	21.91
Χρονική στιγμή αιχμής	01Sep2000, 11:45
Όγκος (MM)	57.6
Όγκος βροχόπτωσης (M3)	1.84E6
Όγκος απωλειών (M3)	1.23E6
Ενεργός Όγκος (M3)	6.2E5
Όγκος άμεσης απορροής (M3)	6.2E5
Όγκος βασικής απορροής (M3)	1.25E5

Βροχόπτωση και Απορροή



Υπολεκάνη: EL0421FR002002

Έκταση (KM2) : 3.7

Κατάντη : J2

Μέθοδος Απωλειών: SCS

Ποσοστό αδιαπέρατης επιφάνειας	0
Αριθμός Καμπύλης Απορροής-CN	59.16
Αρχικές Απώλειες	35.07

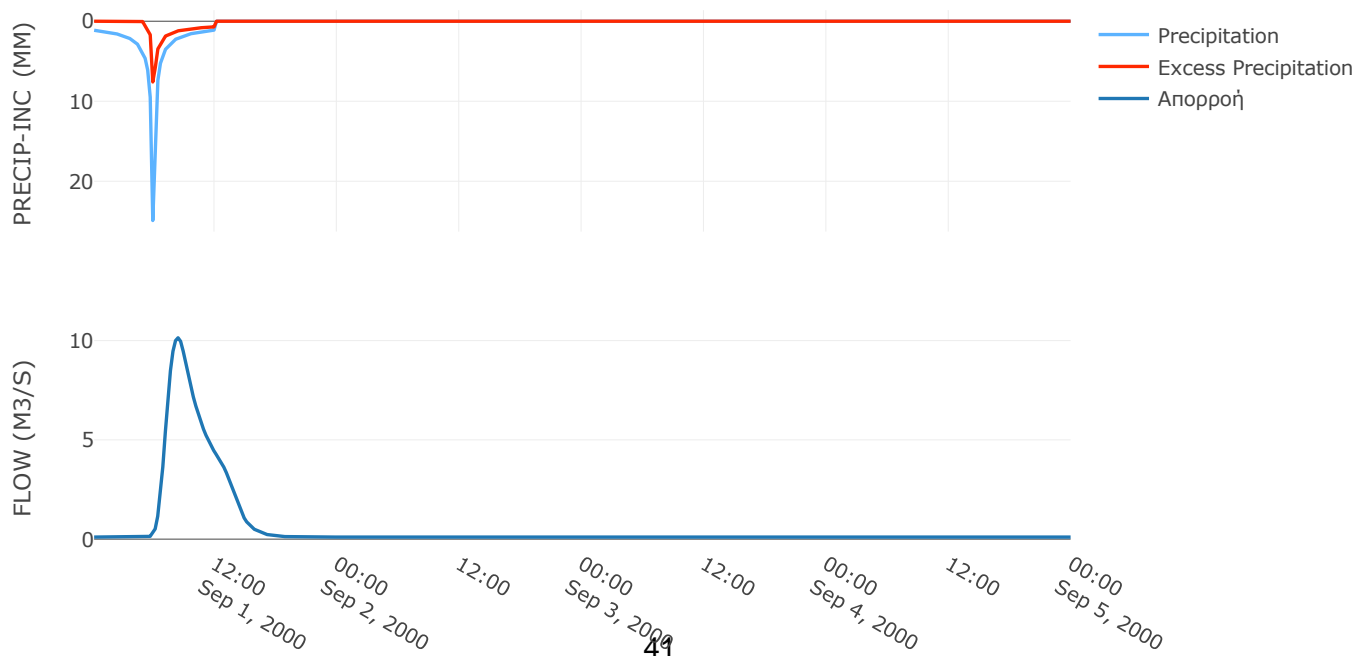
Μέθοδος
Μετασχηματισμού: SCS

Χρόνος Υστέρησης	105.55
------------------	--------

Αποτελέσματα:
EL0421FR002002

Παροχή αιχμής (M3/S)	10.14
Χρονική στιγμή αιχμής	01Sep2000, 08:15
Όγκος (MM)	54.96
Όγκος βροχόπτωσης (M3)	5.54E5
Όγκος απωλειών (M3)	3.87E5
Ενεργός Όγκος (M3)	1.68E5
Όγκος άμεσης απορροής (M3)	1.68E5
Όγκος βασικής απορροής (M3)	35838.72

Βροχόπτωση και Απορροή



Υπολεκάνη: EL0421FR002003

Έκταση (KM2) : 3.22

Κατάντη : J3

Μέθοδος Απωλειών: SCS

Ποσοστό αδιαπέρατης επιφάνειας	0
Αριθμός Καμπύλης Απορροής-CN	56.41
Αρχικές Απώλειες	39.26

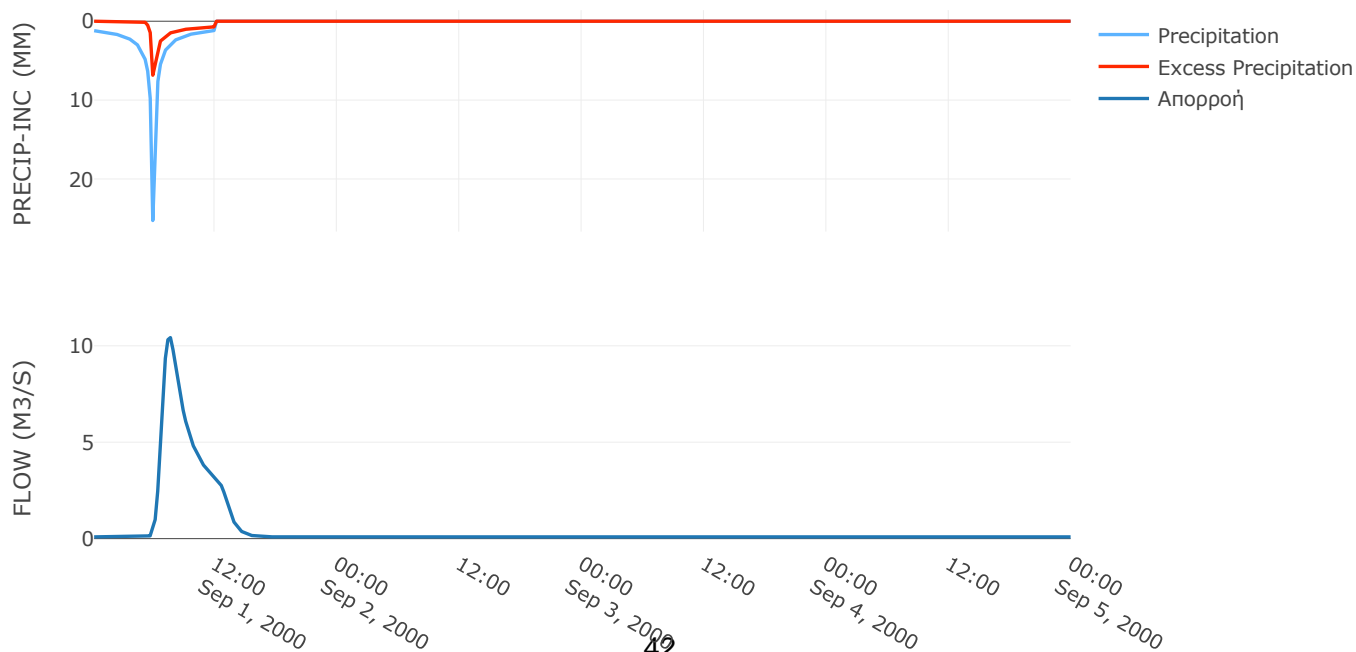
Μέθοδος
Μετασχηματισμού: SCS

Χρόνος Υστέρησης	66.19
------------------	-------

Αποτελέσματα:
EL0421FR002003

Παροχή αιχμής (M3/S)	10.43
Χρονική στιγμή αιχμής	01Sep2000, 07:30
Όγκος (MM)	52.91
Όγκος βροχόπτωσης (M3)	5.01E5
Όγκος απωλειών (M3)	3.61E5
Ενεργός Όγκος (M3)	1.39E5
Όγκος άμεσης απορροής (M3)	1.39E5
Όγκος βασικής απορροής (M3)	31153.42

Βροχόπτωση και Απορροή



6.2 Δεδομένα και Υδρογραφήματα Σχεδιασμού Κλάδων Υδρογραφικού Δικτύου

Κλάδος: R21

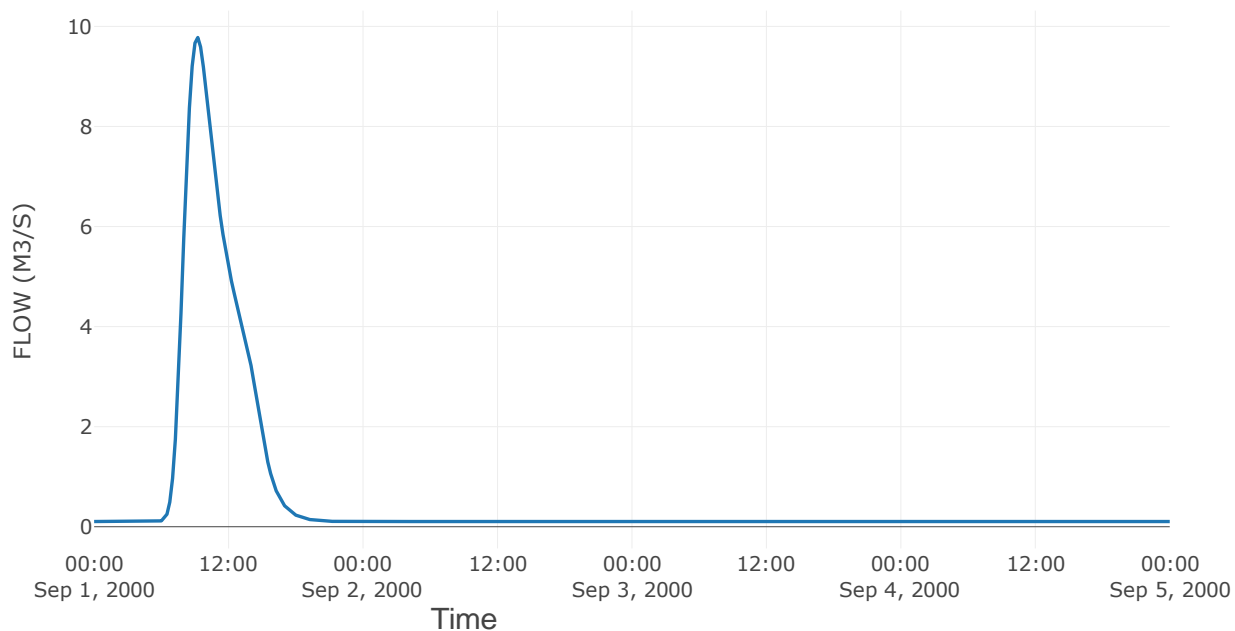
Κατάντη : J1

Μέθοδος Διόδευσης	Muskingum
Αρχική Μεταβλητή	Combined Inflow
Χρόνος Ροής K	0.94
Συντελεστής βάρους x	0.2
Πλήθος Υποκλάδων	4

Αποτελέσματα: R21

Παροχή Αιχμής (M3/S)	9.78
Χρονική στιγμή αιχμής	01Sep2000, 09:15
Όγκος (MM)	54.96
Παροχή Αιχμής Εισόδου (M3/S)	10.14
Όγκος Εισόδου (M3)	2.04E5

Απορροή



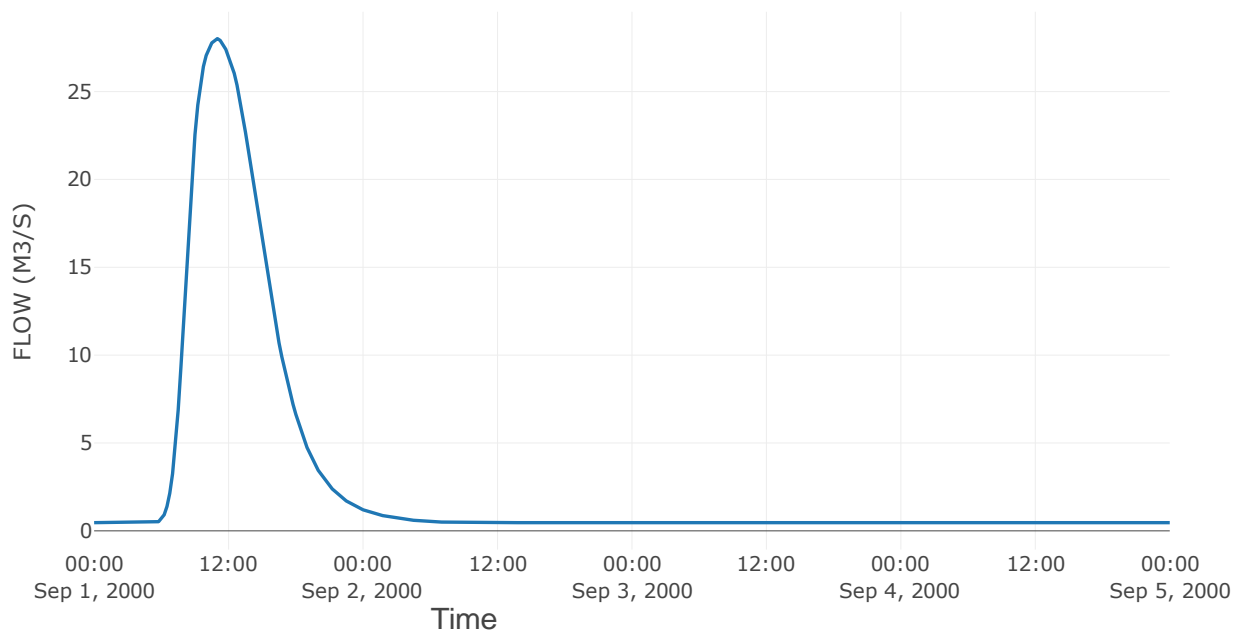
6.3 Δεδομένα και Υδρογραφήματα Σχεδιασμού Κόμβων Υδρογραφικού Δικτύου

Κόμβος εξόδου: J1

Αποτελέσμα
τα: J1

Παροχή αιχμής (M3/S)	28.01
Χρονική στιγμή αιχμής	01Sep2000, 11:00
Όγκος (MM)	57.02

Απορροή



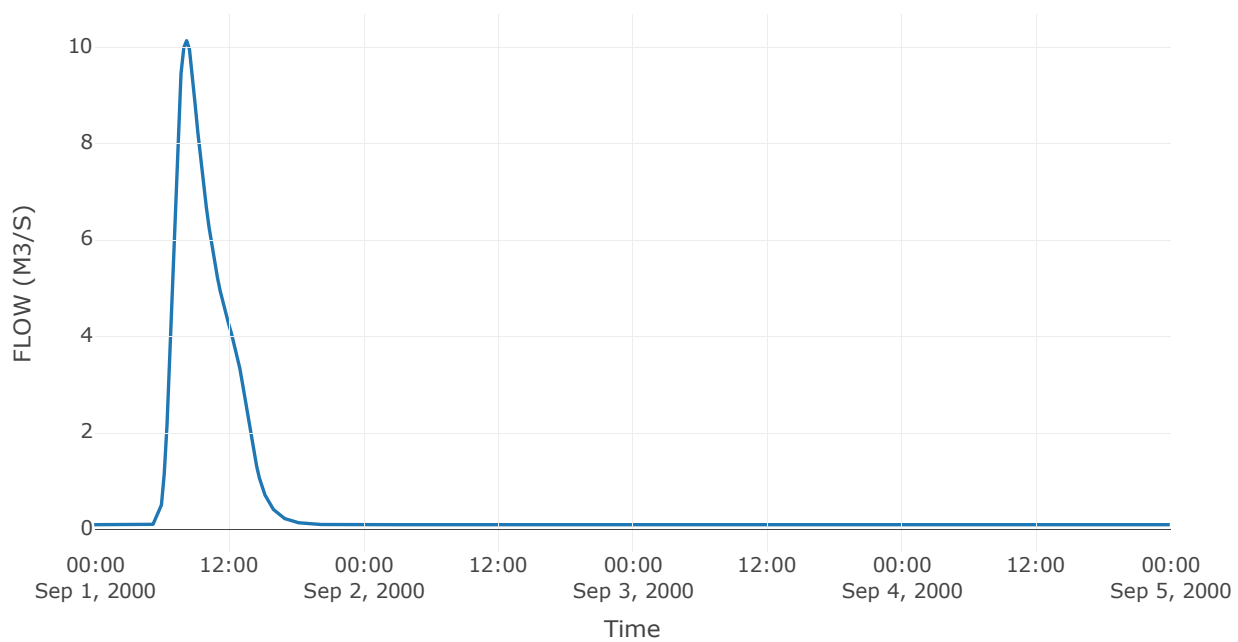
Κόμβος: J2

Κατάντη : R21

Αποτελέσματα: J2

Παροχή Αιχμής (M3/S)	10.14
Χρονική στιγμή αιχμής	01Sep2000, 08:15
Όγκος (MM)	54.96

Απορροή

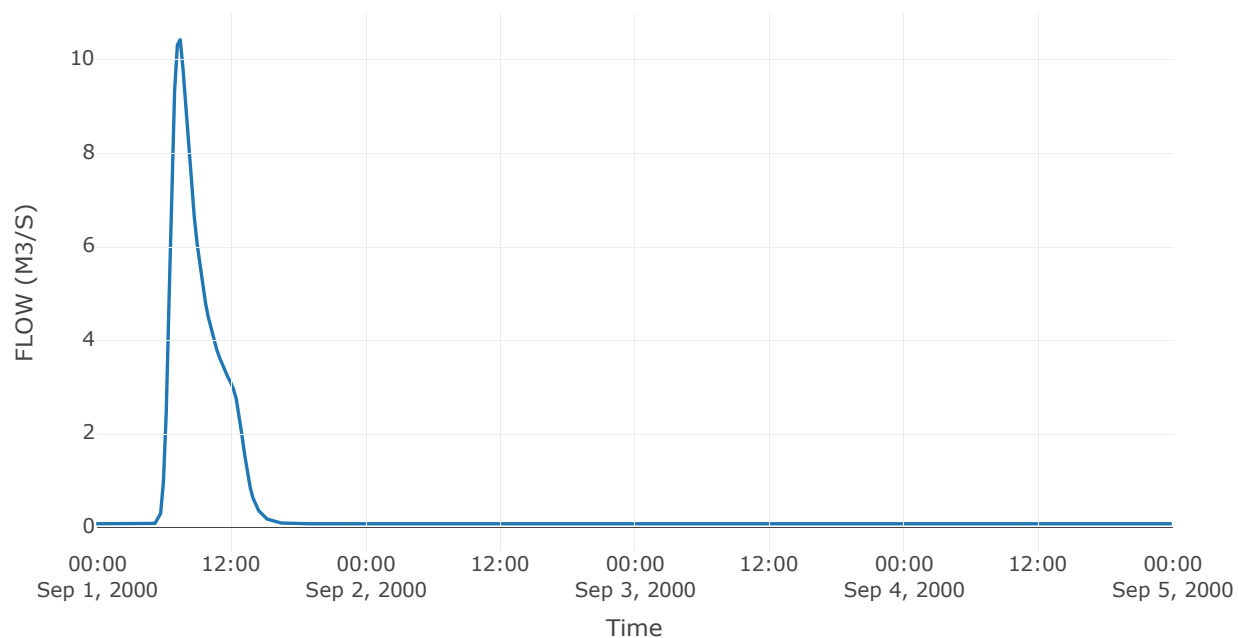


Κόμβος εξόδου: J3

Αποτελέσμα
α: J3

Παροχή αιχμής (M3/S)	10.43
Χρονική στιγμή αιχμής	01Sep2000, 07:30
Όγκος (MM)	52.91

Απορροή



7 Δεδομένα εισόδου και αποτελέσματα υδρολογικού σεναρίου T=100U

7.1 Αποτελέσματα, νετογραφήματα και υδρογραφήματα σχεδιασμού υπολεκανών

Υπολεκάνη: EL0421FR002001

Έκταση (KM2) : 12.93

Κατάντη : J1

Μέθοδος Απωλειών: SCS

Ποσοστό αδιαπέρατης επιφάνειας	0
Αριθμός Καμπύλης Απορροής-CN	90.19
Αρχικές Απώλειες	5.53

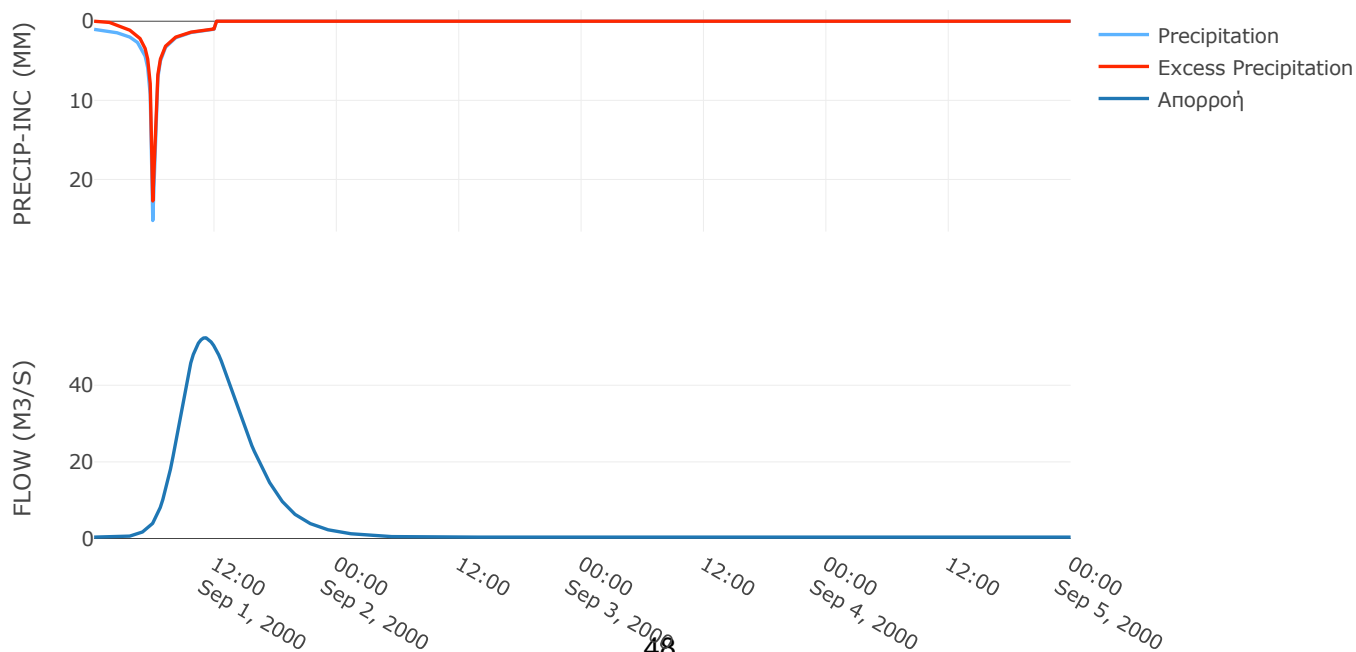
Μέθοδος
Μετασχηματισμού: SCS

Χρόνος Υστέρησης	271.7
------------------	-------

Αποτελέσματα:
EL0421FR002001

Παροχή αιχμής (M3/S)	52.38
Χρονική στιγμή αιχμής	01Sep2000, 11:00
Όγκος (MM)	123.85
Όγκος βροχόπτωσης (M3)	1.84E6
Όγκος απωλειών (M3)	3.69E5
Ενεργός Όγκος (M3)	1.48E6
Όγκος άμεσης απορροής (M3)	1.48E6
Όγκος βασικής απορροής (M3)	1.25E5

Βροχόπτωση και Απορροή



Υπολεκάνη: EL0421FR002002

Έκταση (KM2) : 3.7

Κατάντη : J2

Μέθοδος Απωλειών: SCS

Ποσοστό αδιαπέρατης επιφάνειας	0
Αριθμός Καμπύλης Απορροής-CN	88.81
Αρχικές Απώλειες	6.4

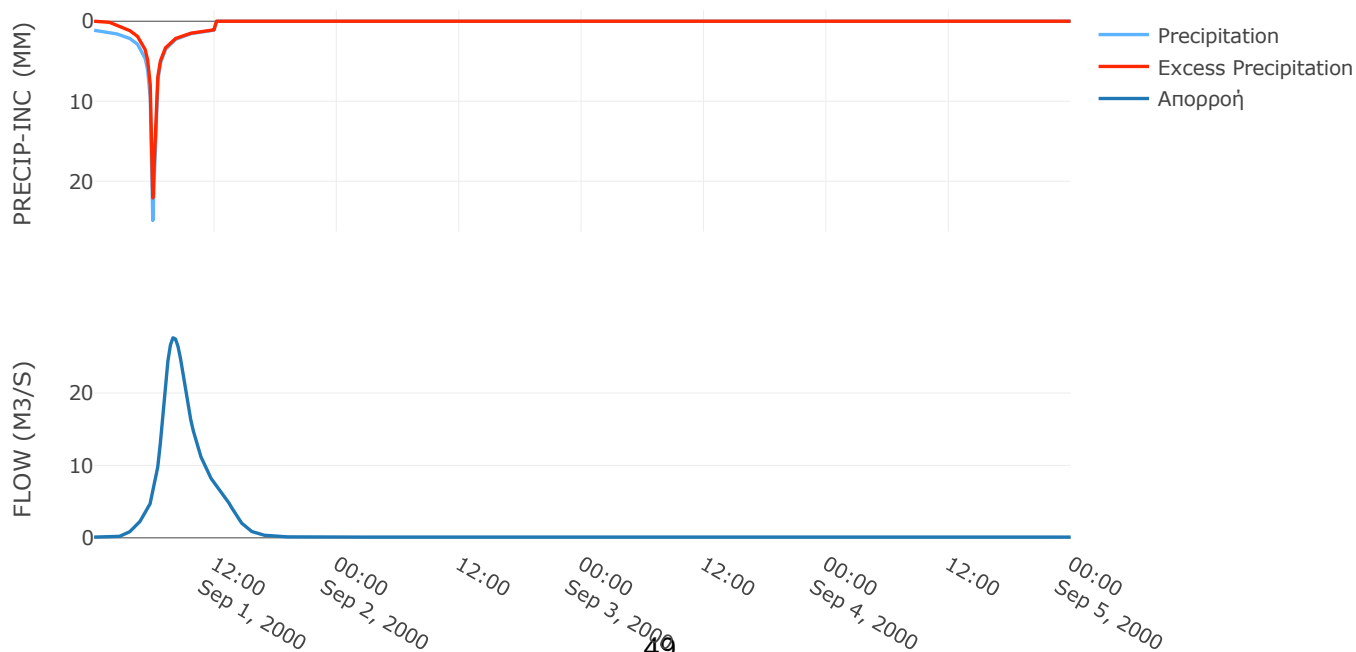
Μέθοδος
Μετασχηματισμού: SCS

Χρόνος Υστέρησης	105.55
------------------	--------

Αποτελέσματα:
EL0421FR002002

Παροχή αιχμής (M3/S)	27.63
Χρονική στιγμή αιχμής	01Sep2000, 07:45
Όγκος (MM)	126.75
Όγκος βροχόπτωσης (M3)	5.54E5
Όγκος απωλειών (M3)	1.21E5
Ενεργός Όγκος (M3)	4.34E5
Όγκος άμεσης απορροής (M3)	4.34E5
Όγκος βασικής απορροής (M3)	35838.72

Βροχόπτωση και Απορροή



Υπολεκάνη: EL0421FR002003

Έκταση (KM2) : 3.22

Κατάντη : J3

Μέθοδος Απωλειών: SCS

Ποσοστό αδιαπέρατης επιφάνειας	0
Αριθμός Καμπύλης Απορροής-CN	87.63
Αρχικές Απώλειες	7.17

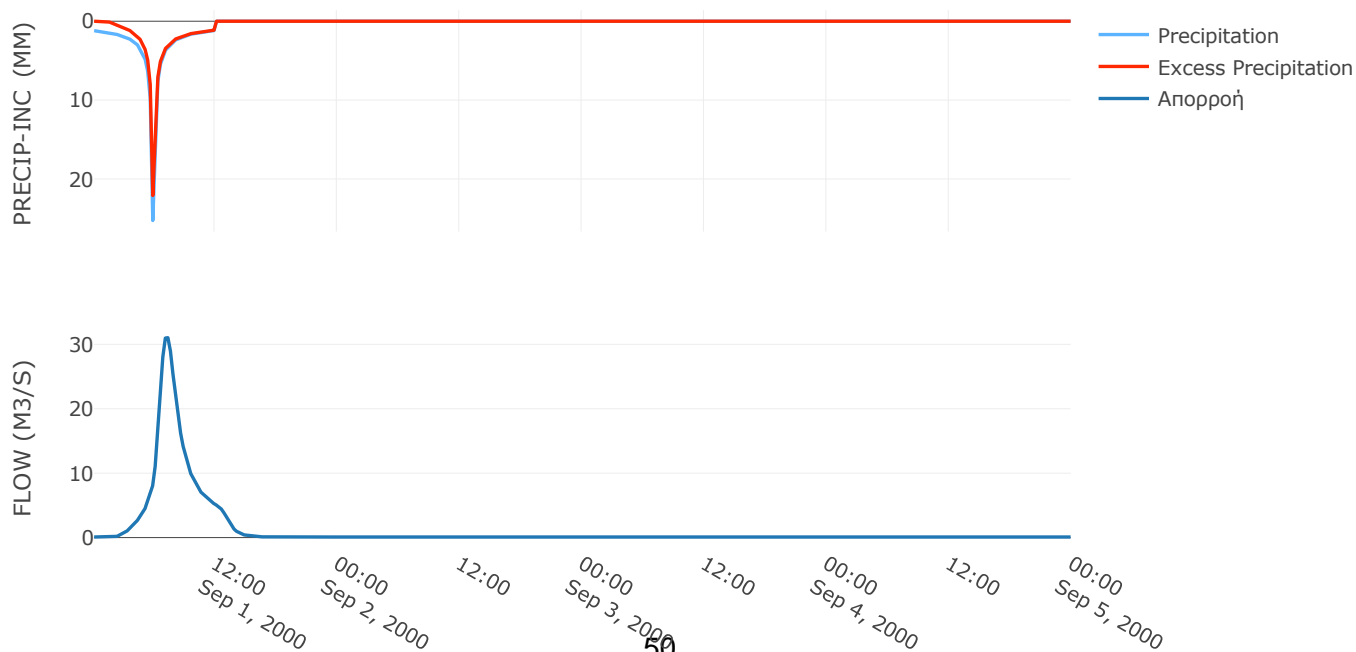
Μέθοδος
Μετασχηματισμού: SCS

Χρόνος Υστέρησης	66.19
------------------	-------

Αποτελέσματα:
EL0421FR002003

Παροχή αιχμής (M3/S)	31.03
Χρονική στιγμή αιχμής	01Sep2000, 07:15
Όγκος (MM)	129.13
Όγκος βροχόπτωσης (M3)	5.01E5
Όγκος απωλειών (M3)	1.16E5
Ενεργός Όγκος (M3)	3.85E5
Όγκος άμεσης απορροής (M3)	3.85E5
Όγκος βασικής απορροής (M3)	31153.42

Βροχόπτωση και Απορροή



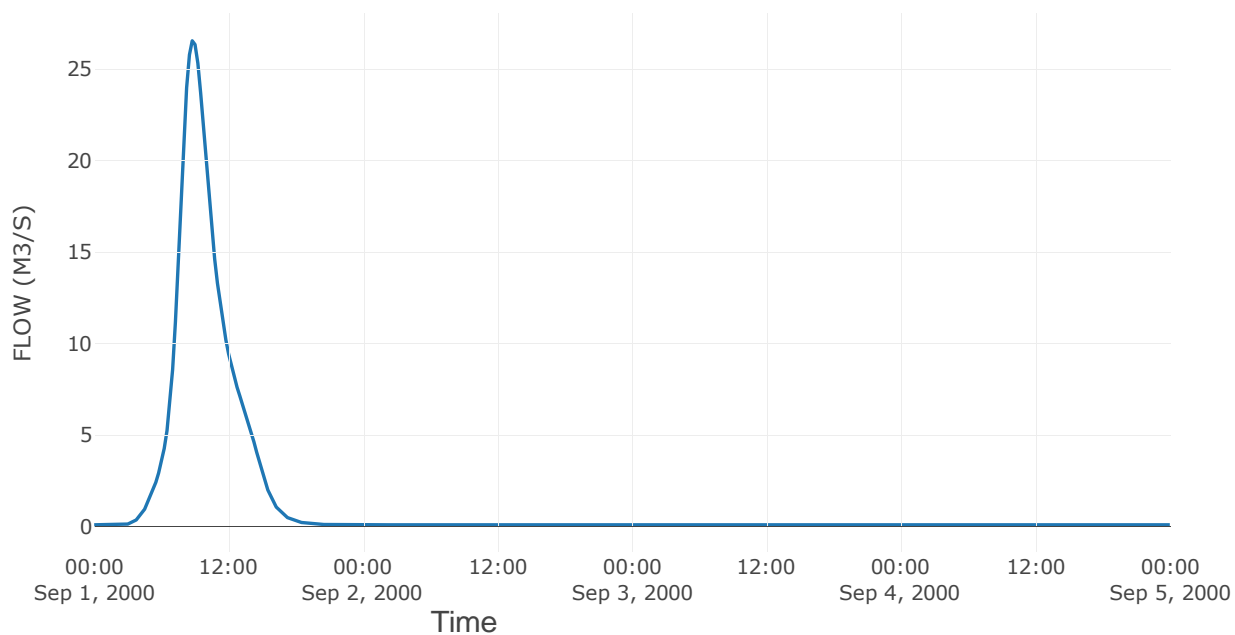
7.2 Δεδομένα και Υδρογραφήματα Σχεδιασμού Κλάδων Υδρογραφικού Δικτύου

Κλάδος: R21

Αποτελέσματα
: R21

Παροχή αιχμής (M3/S)	26.56
Χρονική στιγμή αιχμής	01Sep2000, 08:45
Όγκος (MM)	126.75
Παροχή Αιχμής Εισόδου (M3/S)	27.63
Όγκος Εισροής (M3)	4.69E5

Απορροή



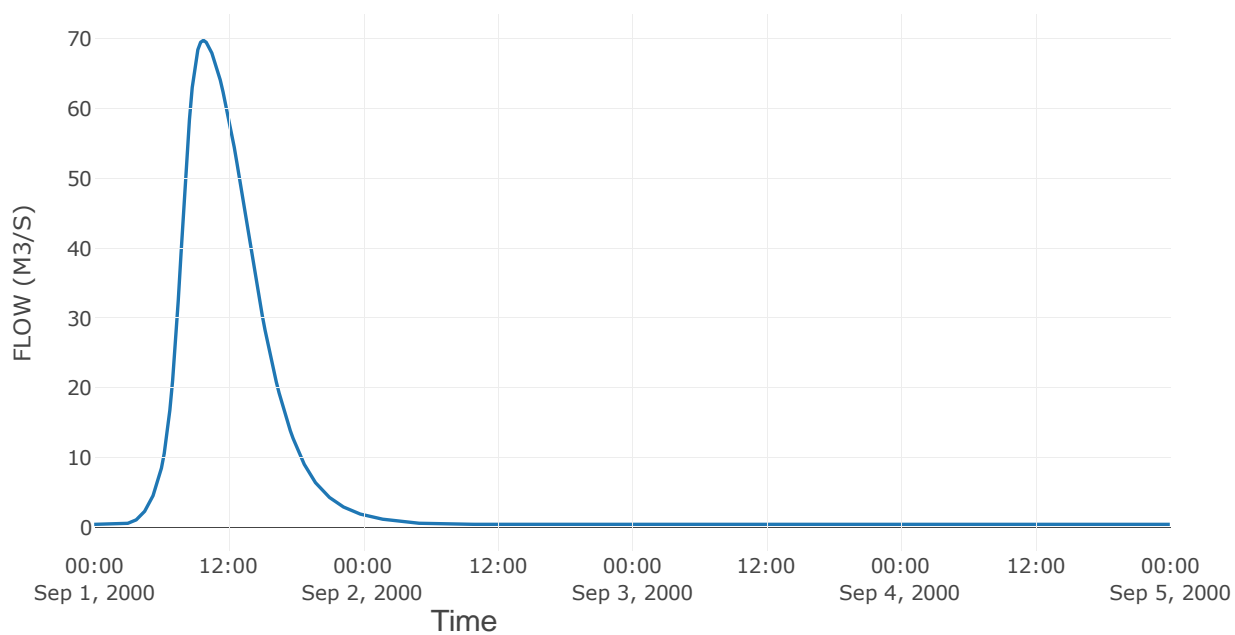
7.3 Δεδομένα και Υδρογραφήματα Σχεδιασμού Κόμβων Υδρογραφικού Δικτύου

Κόμβος εξόδου: J1

Αποτελέσματα: J1

Παροχή αιχμής (M3/S)	69.8
Χρονική στιγμή αιχμής	01Sep2000, 09:45
Όγκος (MM)	124.5

Απορροή



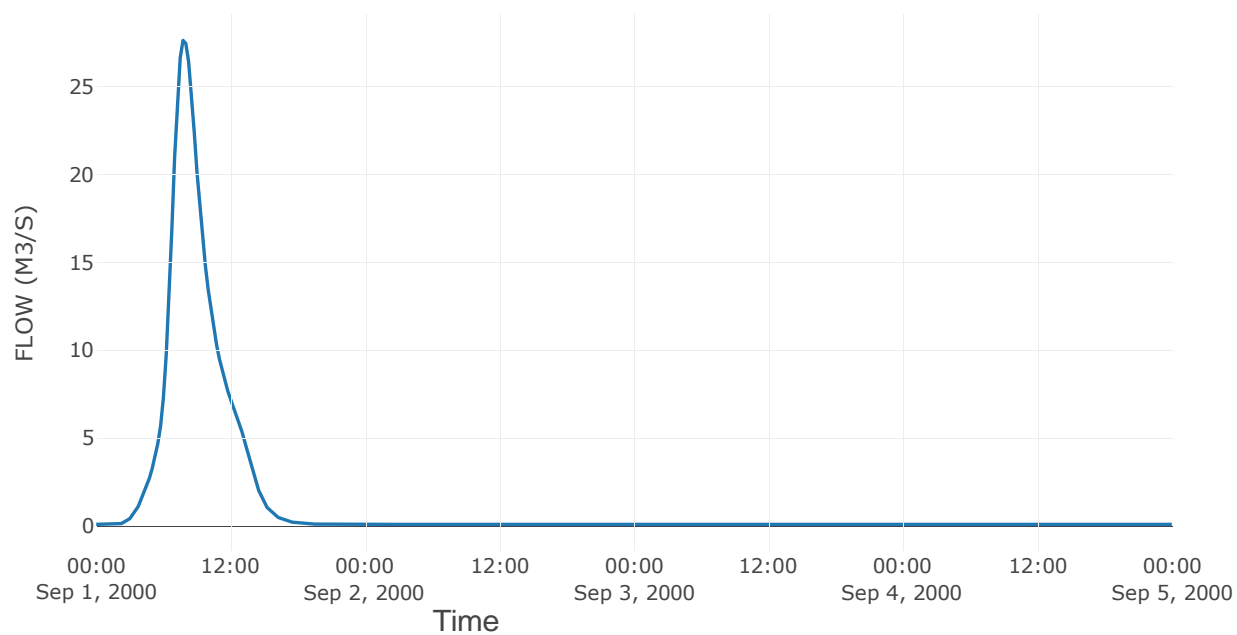
Κόμβος: J2

Κατάντη : R21

Αποτελέσματα: J2

Παροχή Αιχμής (M3/S)	27.63
Χρονική στιγμή αιχμής	01Sep2000, 07:45
Όγκος (MM)	126.75

Απορροή

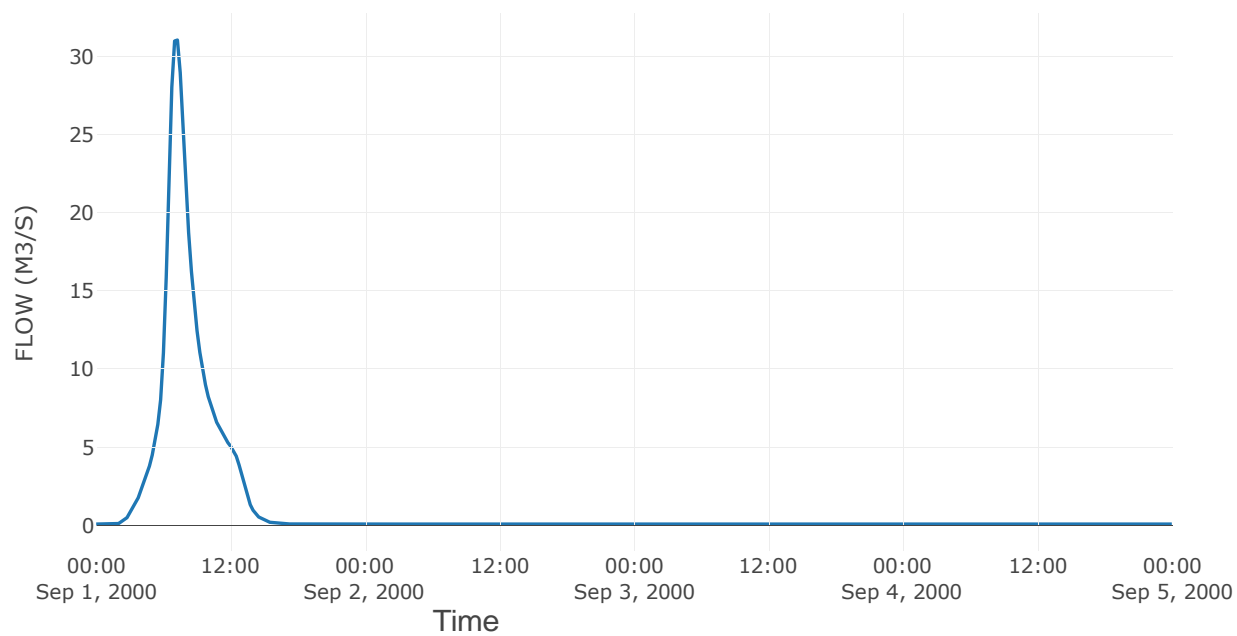


Κόμβος εξόδου: J3

Αποτελέσματα:
J3

Παροχή αιχμής (M3/S)	31.03
Χρονική στιγμή αιχμής	01Sep2000, 07:15
Όγκος (MM)	129.13

Απορροή



8 Δεδομένα εισόδου και αποτελέσματα υδρολογικού σεναρίου T=1000

8.1 Αποτελέσματα, νετογραφήματα και υδρογραφήματα σχεδιασμού υπολεκανών

Υπολεκάνη: EL0421FR002001

Έκταση (KM2) : 12.93

Κατάντη : J1

Μέθοδος Απωλειών: SCS

Ποσοστό αδιαπέρατης επιφάνειας	0
Αριθμός Καμπύλης Απορροής-CN	79.98
Αρχικές Απώλειες	12.71

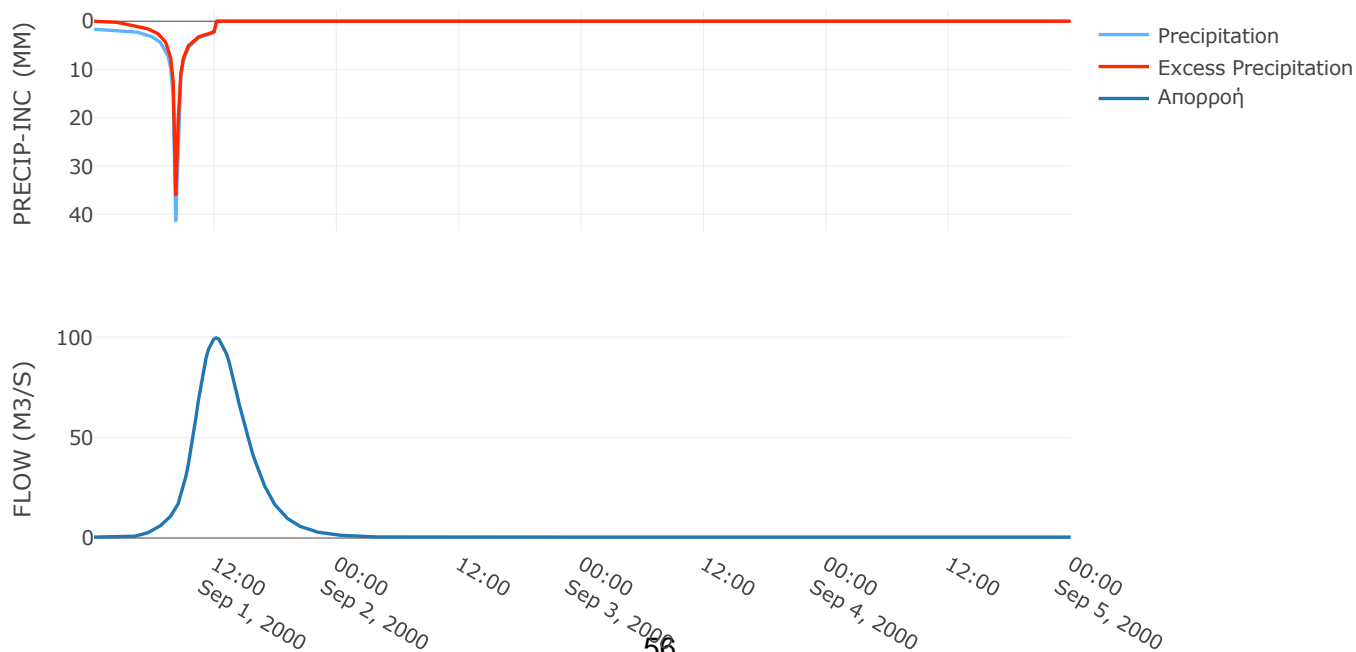
Μέθοδος
Μετασχηματισμού: SCS

Χρόνος Υστέρησης	212.15
------------------	--------

Αποτελέσματα:
EL0421FR002001

Παροχή αιχμής (M3/S)	99.64
Χρονική στιγμή αιχμής	01Sep2000, 12:00
Όγκος (MM)	184.07
Όγκος βροχόπτωσης (M3)	3.03E6
Όγκος απωλειών (M3)	8.03E5
Ενεργός Όγκος (M3)	2.22E6
Όγκος άμεσης απορροής (M3)	2.22E6
Όγκος βασικής απορροής (M3)	1.56E5

Βροχόπτωση και Απορροή



Υπολεκάνη: EL0421FR002002

Έκταση (KM2) : 3.7

Κατάντη : J2

Μέθοδος Απωλειών: SCS

Ποσοστό αδιαπέρατης επιφάνειας	0
Αριθμός Καμπύλης Απορροής-CN	77.52
Αρχικές Απώλειες	14.73

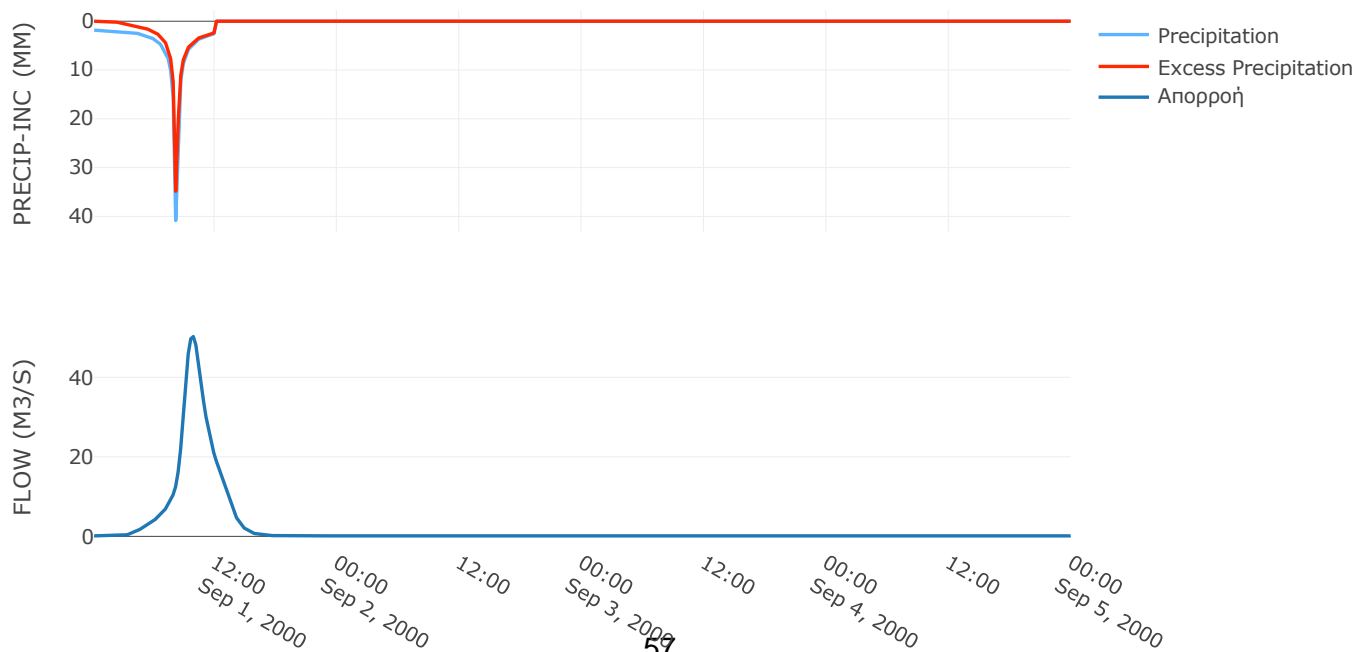
Μέθοδος
Μετασχηματισμού: SCS

Χρόνος Υστέρησης	82.43
------------------	-------

Αποτελέσματα:
EL0421FR002002

Παροχή αιχμής (M3/S)	50.24
Χρονική στιγμή αιχμής	01Sep2000, 09:45
Όγκος (MM)	186.93
Όγκος βροχόπτωσης (M3)	9.09E5
Όγκος απωλειών (M3)	2.61E5
Ενεργός Όγκος (M3)	6.48E5
Όγκος άμεσης απορροής (M3)	6.48E5
Όγκος βασικής απορροής (M3)	44796.67

Βροχόπτωση και Απορροή



Υπολεκάνη: EL0421FR002003

Έκταση (KM2) : 3.22

Κατάντη : J3

Μέθοδος Απωλειών: SCS

Ποσοστό αδιαπέρατης επιφάνειας	0
Αριθμός Καμπύλης Απορροής-CN	75.5
Αρχικές Απώλειες	16.49

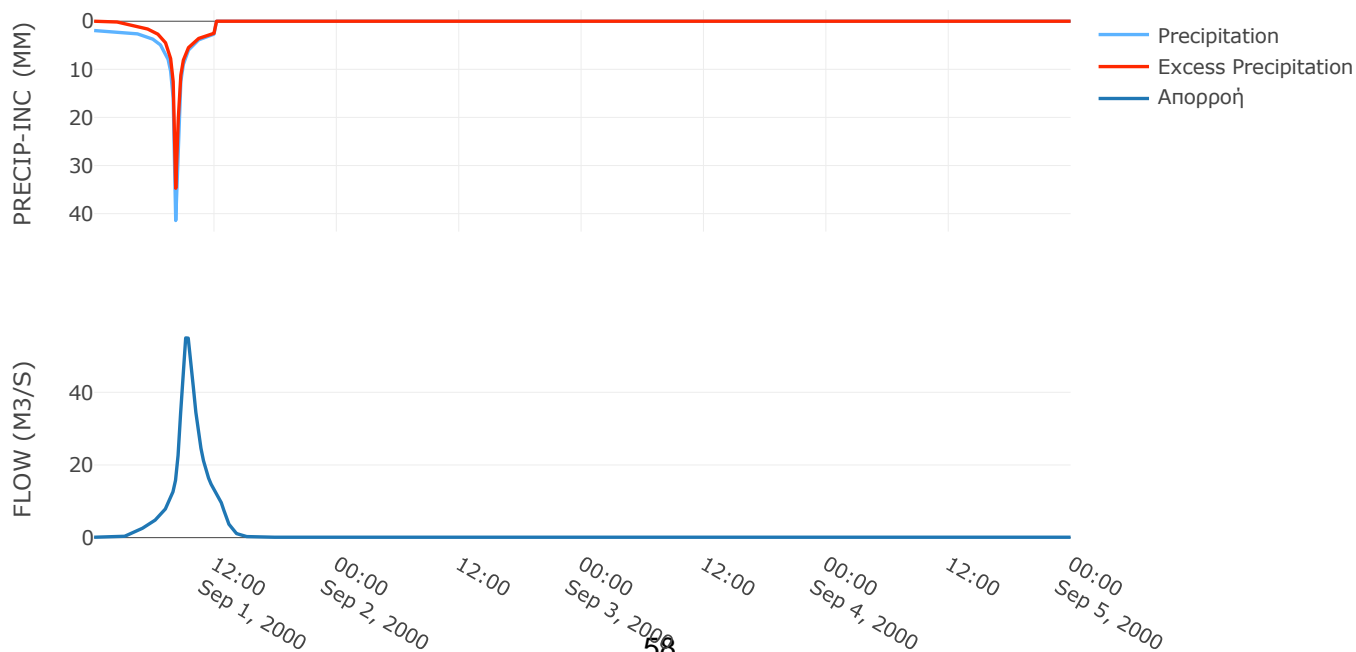
Μέθοδος
Μετασχηματισμού: SCS

Χρόνος Υστέρησης	51.69
------------------	-------

Αποτελέσματα:
EL0421FR002003

Παροχή αιχμής (M3/S)	54.96
Χρονική στιγμή αιχμής	01Sep2000, 09:00
Όγκος (MM)	189.29
Όγκος βροχόπτωσης (M3)	8.21E5
Όγκος απωλειών (M3)	2.5E5
Ενεργός Όγκος (M3)	5.7E5
Όγκος άμεσης απορροής (M3)	5.7E5
Όγκος βασικής απορροής (M3)	38942.21

Βροχόπτωση και Απορροή



8.2 Δεδομένα και Υδρογραφήματα Σχεδιασμού Κλάδων Υδρογραφικού Δικτύου

Κλάδος: R21

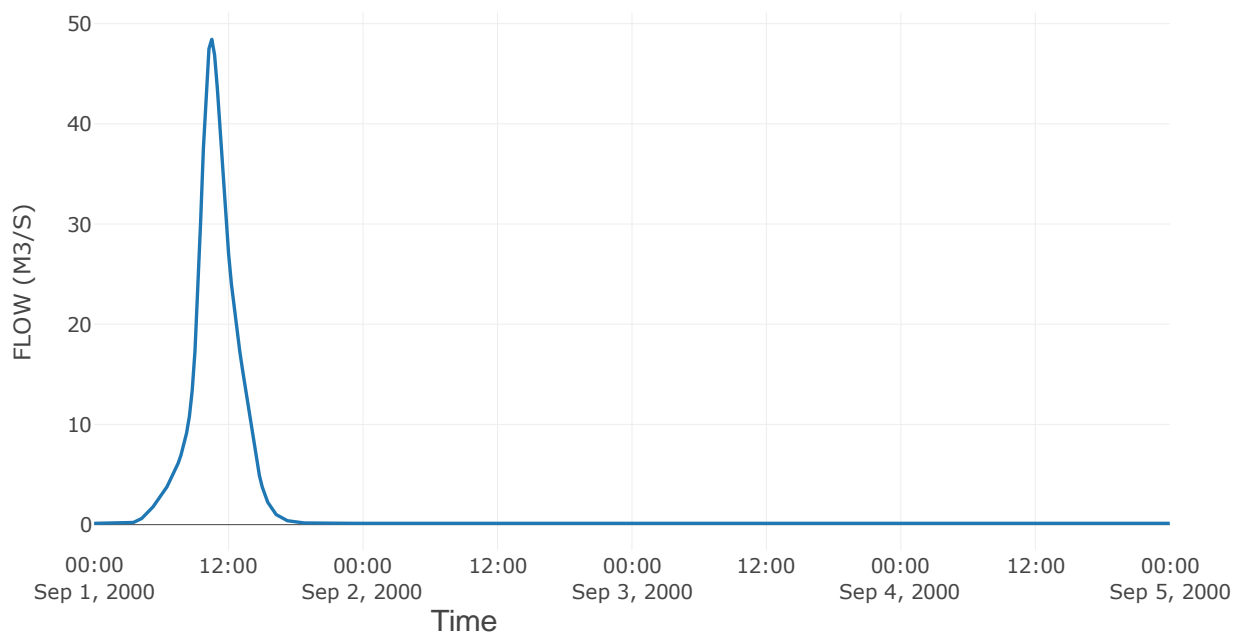
Κατάντη : J1

Μέθοδος Διόδευσης	Muskingum
Αρχική Μεταβλητή	Combined Inflow
Χρόνος Ροής K	0.76
Συντελεστής βάρους x	0.2
Πλήθος Υποκλάδων	4

Αποτελέσματα: R21

Παροχή Αιχμής (M3/S)	48.44
Χρονική στιγμή αιχμής	01Sep2000, 10:30
Όγκος (MM)	186.93
Παροχή Αιχμής Εισόδου (M3/S)	50.24
Όγκος Εισόδου (M3)	6.92E5

Απορροή



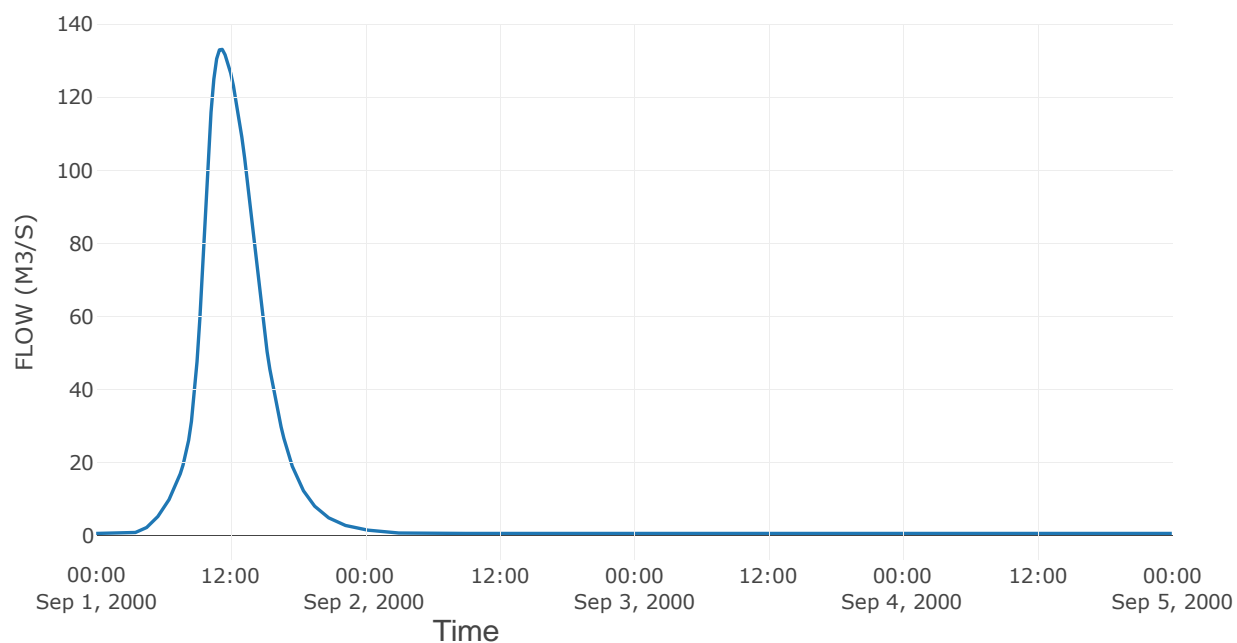
8.3 Δεδομένα και Υδρογραφήματα Σχεδιασμού Κόμβων Υδρογραφικού Δικτύου

Κόμβος εξόδου: J1

Αποτελέσματα: J1

Παροχή Αιχμής (M3/S)	133.11
Χρονική στιγμή αιχμής	01Sep2000, 11:15
Όγκος (MM)	184.71

Απορροή



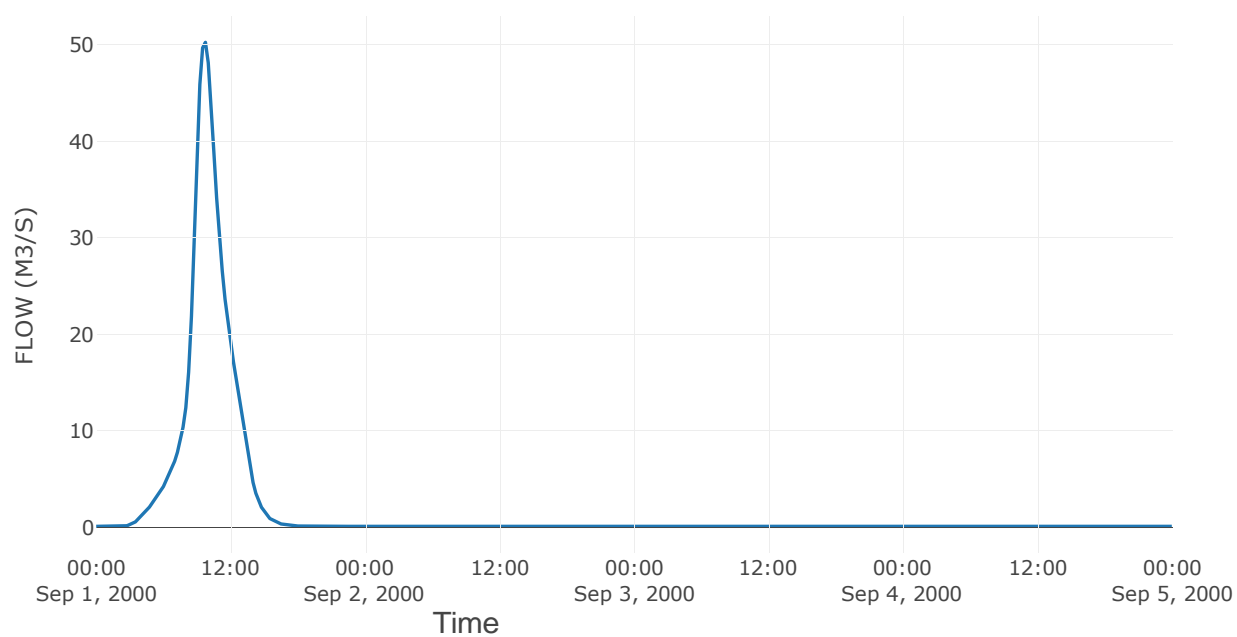
Κόμβος: J2

Κατάντη : R21

Αποτελέσματα: J2

Παροχή Αιχμής (M3/S)	50.24
Χρονική στιγμή αιχμής	01Sep2000, 09:45
Όγκος (MM)	186.93

Απορροή

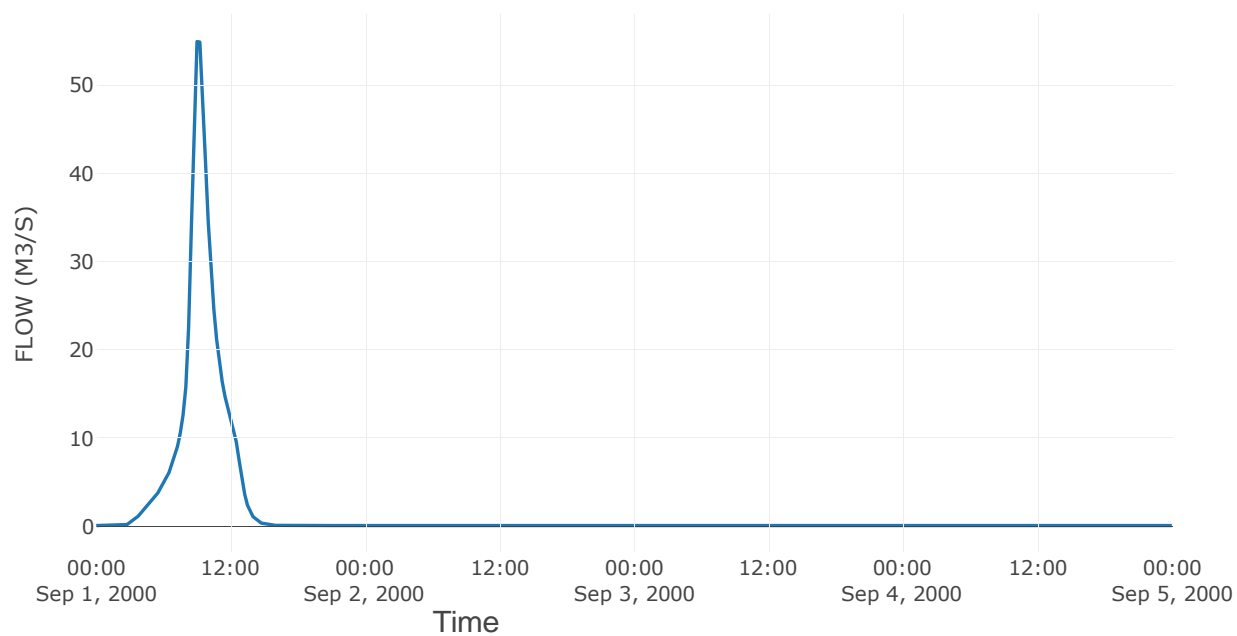


Κόμβος εξόδου: J3

Αποτέλεσμα
τα: J3

Παροχή αιχμής (M3/S)	54.96
Χρονική στιγμή αιχμής	01Sep2000, 09:00
Όγκος (MM)	189.29

Απορροή



9 Δεδομένα εισόδου και αποτελέσματα υδρολογικού σεναρίου T=1000L

9.1 Αποτελέσματα, νετογραφήματα και υδρογραφήματα σχεδιασμού υπολεκανών

Υπολεκάνη: EL0421FR002001

Έκταση (KM2) : 12.93

Κατάντη : J1

Μέθοδος Απωλειών: SCS

Ποσοστό αδιαπέρατης επιφάνειας	0
Αριθμός Καμπύλης Απορροής-CN	62.66
Αρχικές Απώλειες	30.27

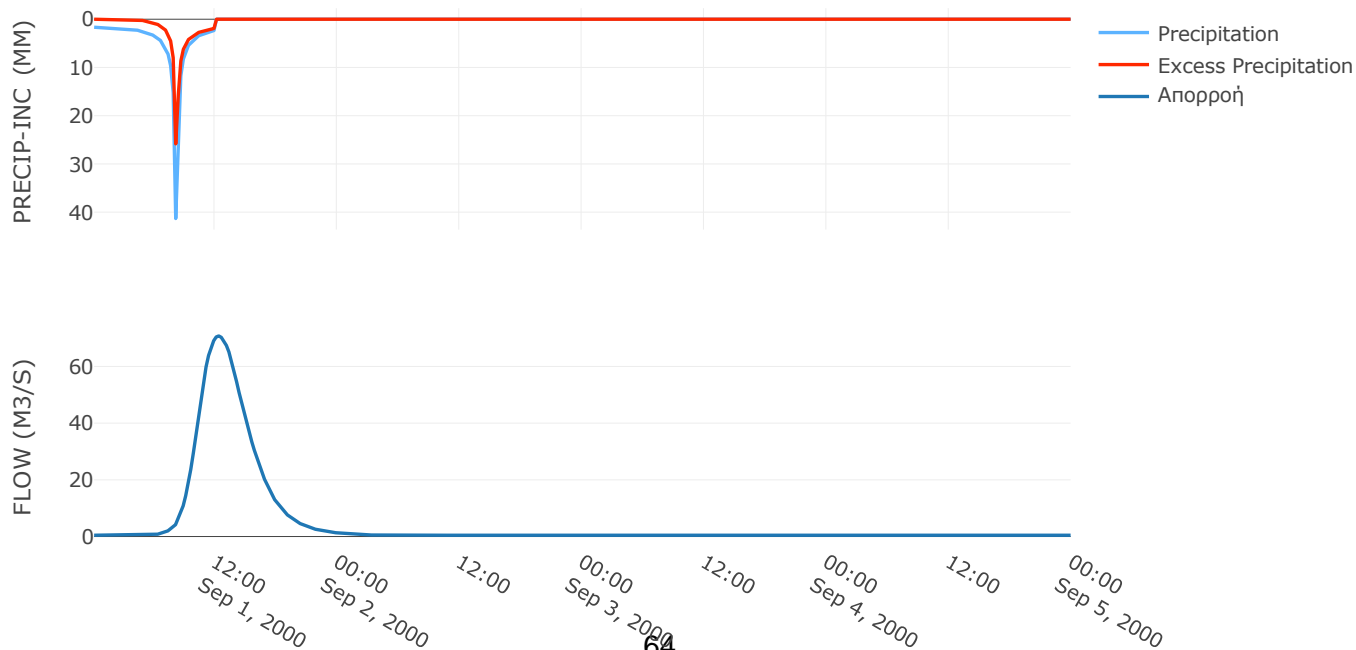
Μέθοδος
Μετασχηματισμού: SCS

Χρόνος Υστέρησης	212.15
------------------	--------

Αποτελέσματα:
EL0421FR002001

Παροχή αιχμής (M3/S)	70.77
Χρονική στιγμή αιχμής	01Sep2000, 12:15
Όγκος (MM)	129.05
Όγκος βροχόπτωσης (M3)	3.03E6
Όγκος απωλειών (M3)	1.51E6
Ενεργός Όγκος (M3)	1.51E6
Όγκος άμεσης απορροής (M3)	1.51E6
Όγκος βασικής απορροής (M3)	1.56E5

Βροχόπτωση και Απορροή



Υπολεκάνη: EL0421FR002002

Έκταση (KM2) : 3.7

Κατάντη : J2

Μέθοδος Απωλειών: SCS

Ποσοστό αδιαπέρατης επιφάνειας	0
Αριθμός Καμπύλης Απορροής-CN	59.16
Αρχικές Απώλειες	35.07

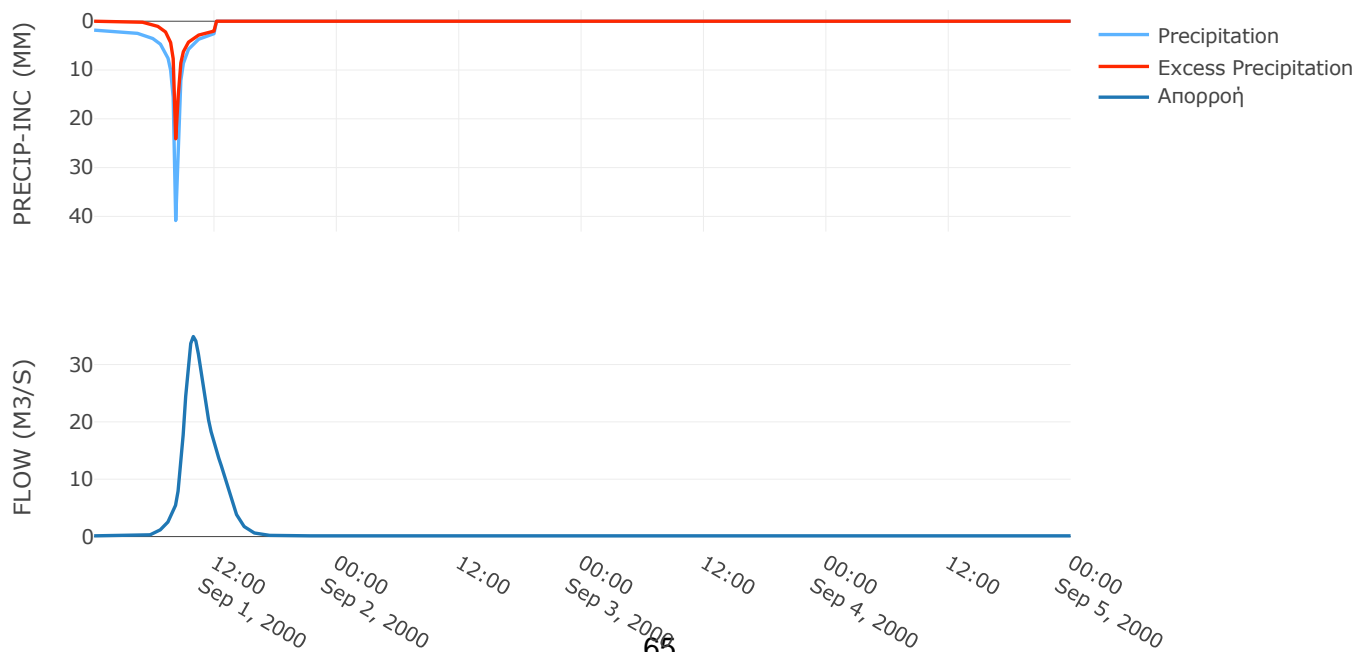
Μέθοδος
Μετασχηματισμού: SCS

Χρόνος Υστέρησης	82.43
------------------	-------

Αποτελέσματα:
EL0421FR002002

Παροχή αιχμής (M3/S)	34.88
Χρονική στιγμή αιχμής	01Sep2000, 09:45
Όγκος (MM)	126.79
Όγκος βροχόπτωσης (M3)	9.09E5
Όγκος απωλειών (M3)	4.84E5
Ενεργός Όγκος (M3)	4.25E5
Όγκος άμεσης απορροής (M3)	4.25E5
Όγκος βασικής απορροής (M3)	44796.67

Βροχόπτωση και Απορροή



Υπολεκάνη: EL0421FR002003

Έκταση (KM2) : 3.22

Κατάντη : J3

Μέθοδος Απωλειών: SCS

Ποσοστό αδιαπέρατης επιφάνειας	0
Αριθμός Καμπύλης Απορροής-CN	56.41
Αρχικές Απώλειες	39.26

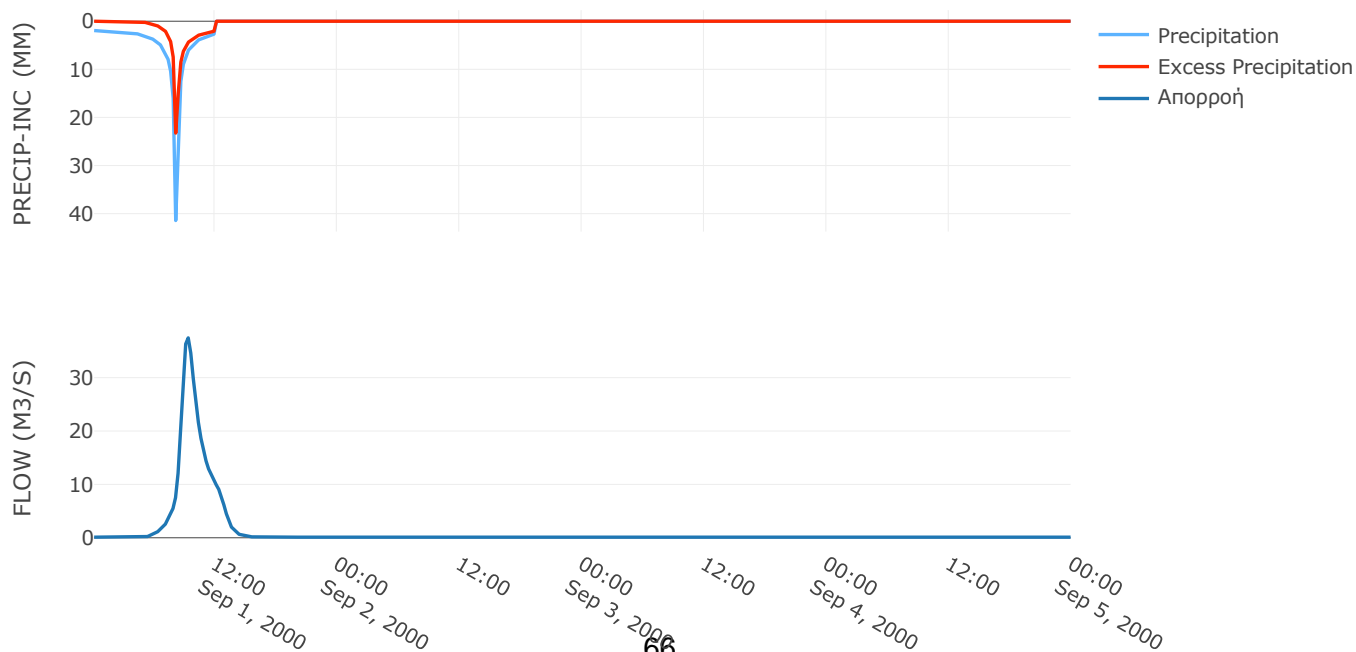
Μέθοδος
Μετασχηματισμού: SCS

Χρόνος Υστέρησης	51.69
------------------	-------

Αποτελέσματα:
EL0421FR002003

Παροχή αιχμής (M3/S)	37.45
Χρονική στιγμή αιχμής	01Sep2000, 09:15
Όγκος (MM)	125.02
Όγκος βροχόπτωσης (M3)	8.21E5
Όγκος απωλειών (M3)	4.57E5
Ενεργός Όγκος (M3)	3.64E5
Όγκος άμεσης απορροής (M3)	3.64E5
Όγκος βασικής απορροής (M3)	38942.21

Βροχόπτωση και Απορροή



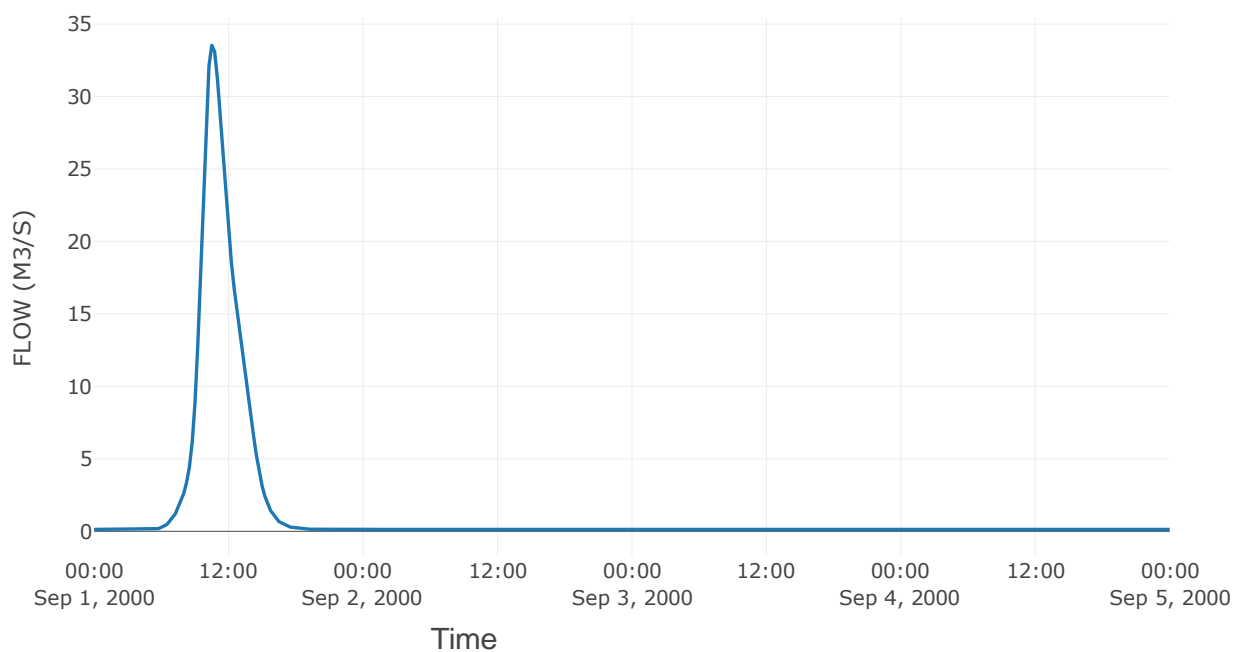
9.2 Δεδομένα και Υδρογραφήματα Σχεδιασμού Κλάδων Υδρογραφικού Δικτύου

Κλάδος: R21

Αποτελέσματα: R21

Παροχή Αιχμής (M3/S)	33.53
Χρονική στιγμή αιχμής	01Sep2000, 10:30
Όγκος (MM)	126.79
Παροχή Αιχμής Εισόδου (M3/S)	34.88
Όγκος Εισόδου (M3)	4.7E5

Απορροή



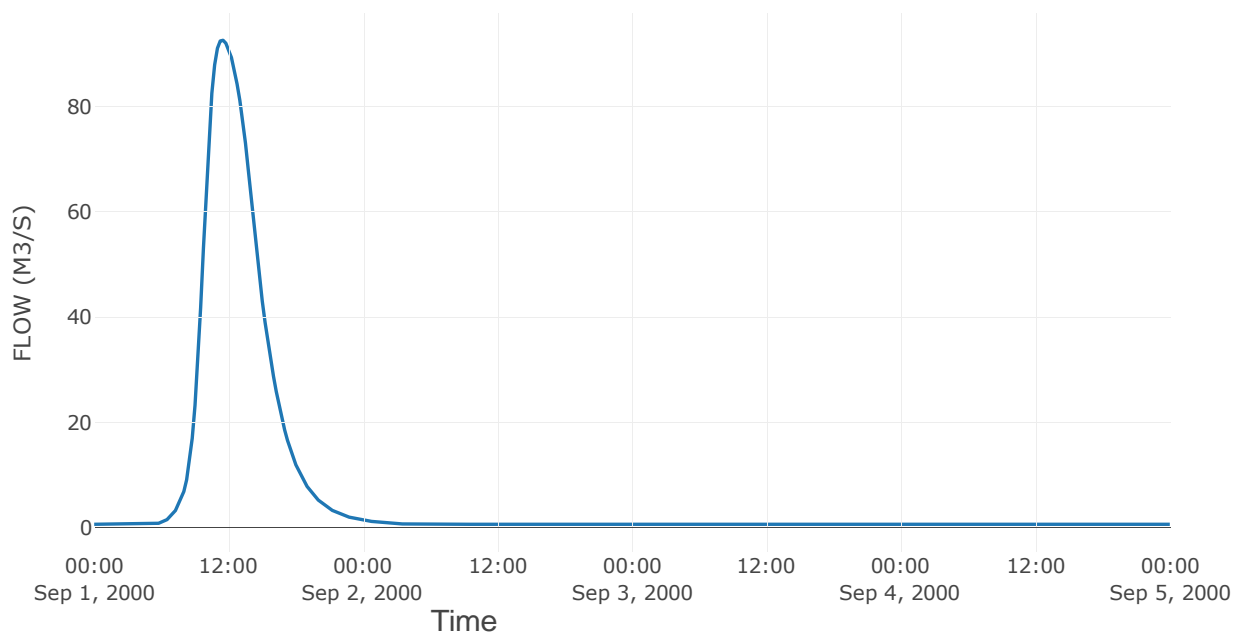
9.3 Δεδομένα και Υδρογραφήματα Σχεδιασμού Κόμβων Υδρογραφικού Δικτύου

Κόμβος εξόδου: J1

Αποτελέσμα
α: J1

Παροχή αιχμής (M3/S)	92.59
Χρονική στιγμή αιχμής	01Sep2000, 11:30
Όγκος (MM)	128.55

Απορροή

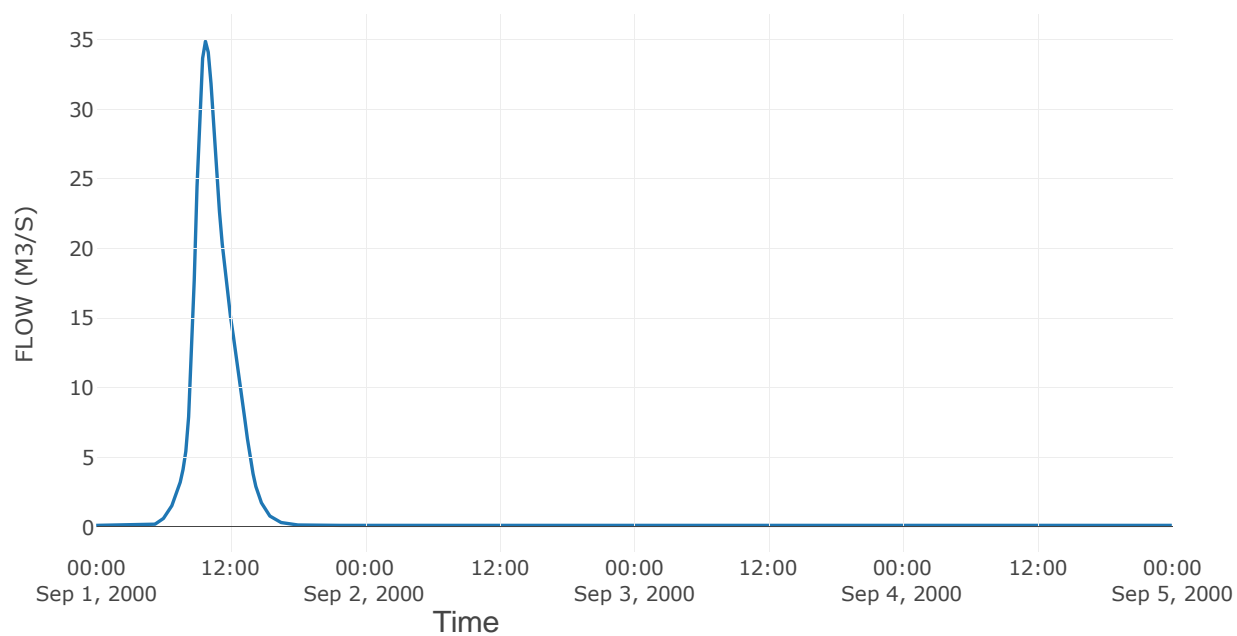


Κόμβος: J2

Αποτελέσματ
α: J2

Παροχή αιχμής (M3/S)	34.88
Χρονική στιγμή αιχμής	01Sep2000, 09:45
Όγκος (MM)	126.79

Απορροή

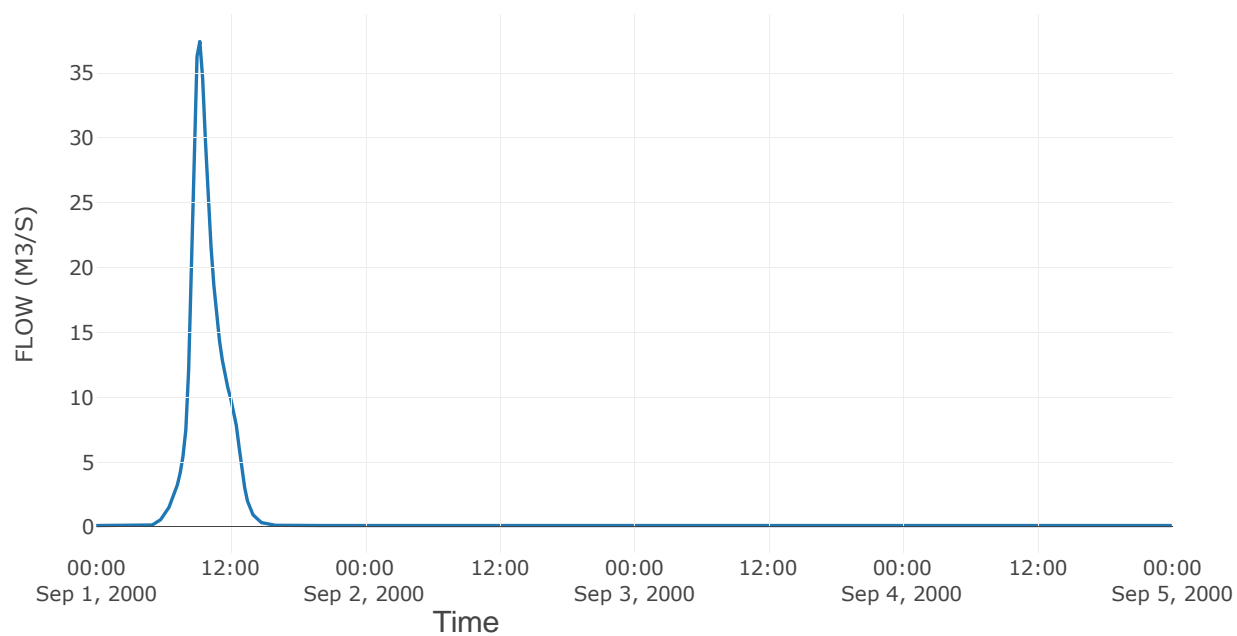


Κόμβος εξόδου: J3

Αποτελέσματ
α: J3

Παροχή αιχμής (M3/S)	37.45
Χρονική στιγμή αιχμής	01Sep2000, 09:15
Όγκος (MM)	125.02

Απορροή



10 Δεδομένα εισόδου και αποτελέσματα υδρολογικού σεναρίου T=1000U

10.1 Αποτελέσματα, νετογραφήματα και υδρογραφήματα σχεδιασμού υπολεκανών

Υπολεκάνη: EL0421FR002001

Έκταση (KM2) : 12.93

Κατάντη : J1

Μέθοδος Απωλειών: SCS

Ποσοστό αδιαπέρατης επιφάνειας	0
Αριθμός Καμπύλης Απορροής-CN	79.98
Αρχικές Απώλειες	5.53

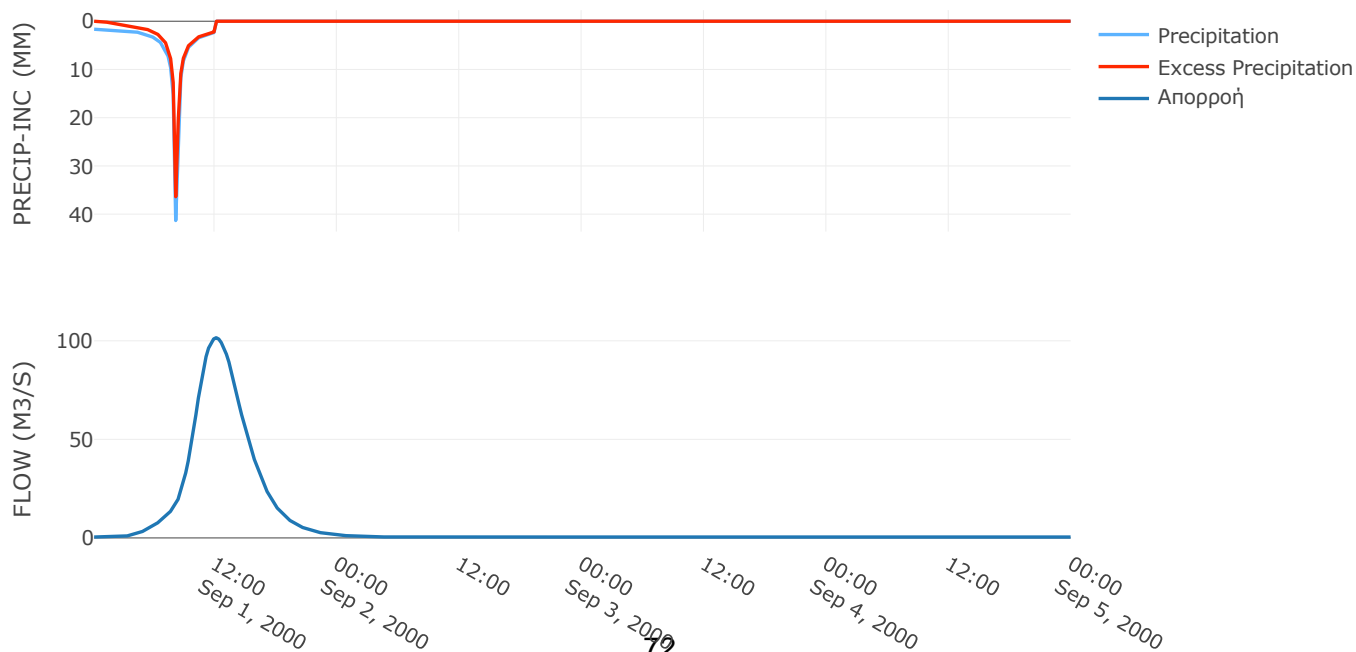
Μέθοδος
Μετασχηματισμού: SCS

Χρόνος Υστέρησης	212.15
------------------	--------

Αποτελέσματα:
EL0421FR002001

Παροχή αιχμής (M3/S)	101.58
Χρονική στιγμή αιχμής	01Sep2000, 12:00
Όγκος (MM)	190.91
Όγκος βροχόπτωσης (M3)	3.03E6
Όγκος απωλειών (M3)	7.14E5
Ενεργός Όγκος (M3)	2.31E6
Όγκος άμεσης απορροής (M3)	2.31E6
Όγκος βασικής απορροής (M3)	1.56E5

Βροχόπτωση και Απορροή



Υπολεκάνη: EL0421FR002002

Έκταση (KM2) : 3.7

Κατάντη : J2

Μέθοδος Απωλειών: SCS

Ποσοστό αδιαπέρατης επιφάνειας	0
Αριθμός Καμπύλης Απορροής-CN	88.81
Αρχικές Απώλειες	6.4

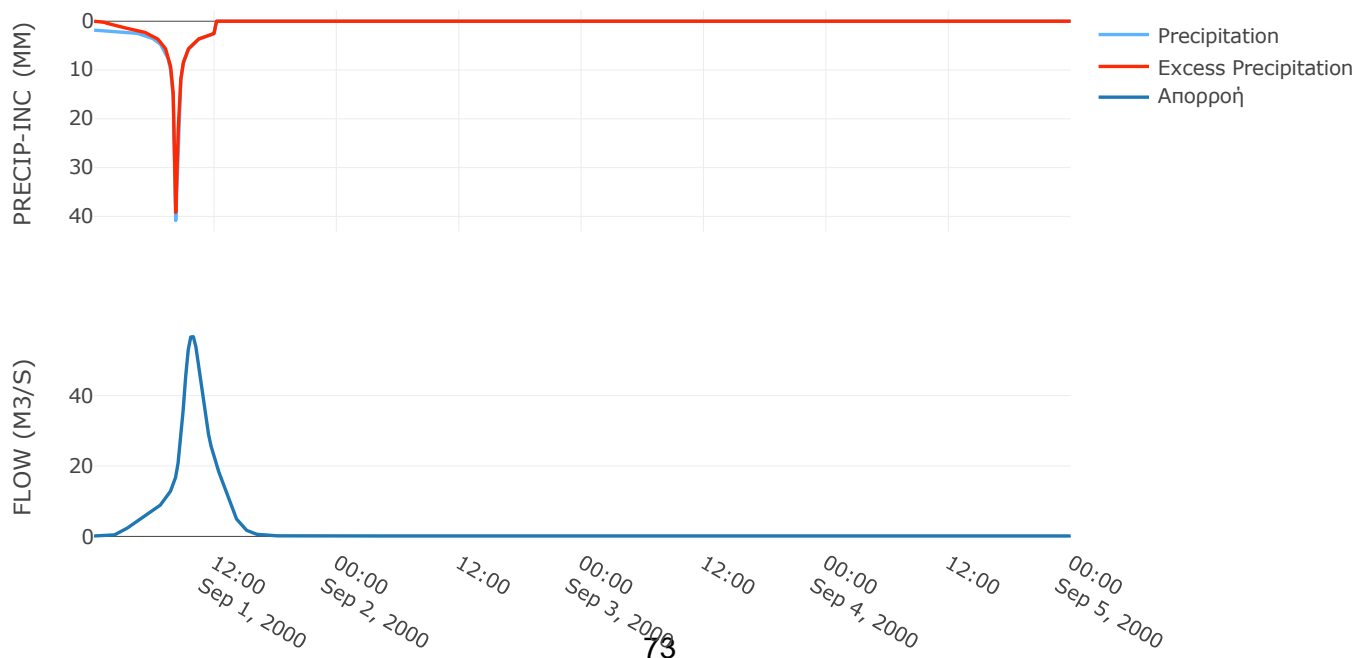
Μέθοδος
Μετασχηματισμού: SCS

Χρόνος Υστέρησης	82.43
------------------	-------

Αποτελέσματα:
EL0421FR002002

Παροχή αιχμής (M3/S)	56.75
Χρονική στιγμή αιχμής	01Sep2000, 09:45
Όγκος (MM)	222.84
Όγκος βροχόπτωσης (M3)	9.09E5
Όγκος απωλειών (M3)	1.28E5
Ενεργός Όγκος (M3)	7.81E5
Όγκος άμεσης απορροής (M3)	7.81E5
Όγκος βασικής απορροής (M3)	44796.67

Βροχόπτωση και Απορροή



Υπολεκάνη: EL0421FR002003

Έκταση (KM2) : 3.22

Κατάντη : J3

Μέθοδος Απωλειών: SCS

Ποσοστό αδιαπέρατης επιφάνειας	0
Αριθμός Καμπύλης Απορροής-CN	87.63
Αρχικές Απώλειες	7.17

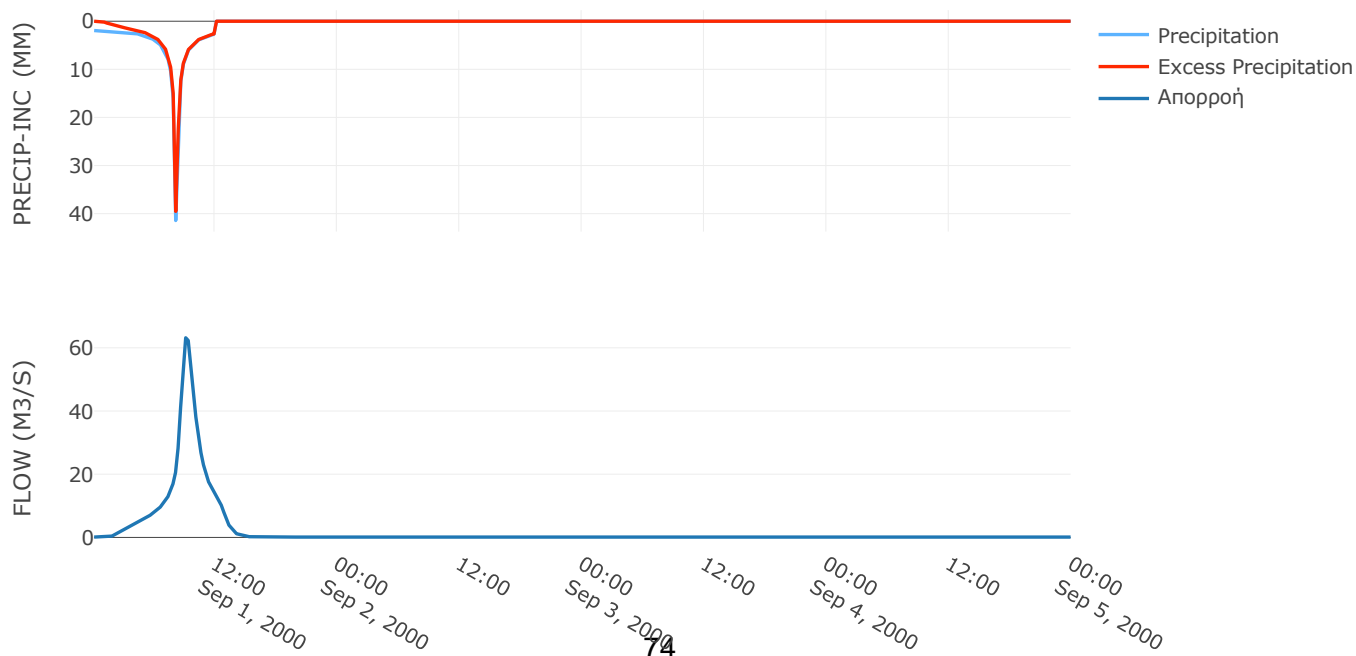
Μέθοδος
Μετασχηματισμού: SCS

Χρόνος Υστέρησης	51.69
------------------	-------

Αποτελέσματα:
EL0421FR002003

Παροχή αιχμής (M3/S)	63.16
Χρονική στιγμή αιχμής	01Sep2000, 09:00
Όγκος (MM)	228.56
Όγκος βροχόπτωσης (M3)	8.21E5
Όγκος απωλειών (M3)	1.24E5
Ενεργός Όγκος (M3)	6.97E5
Όγκος άμεσης απορροής (M3)	6.97E5
Όγκος βασικής απορροής (M3)	38942.21

Βροχόπτωση και Απορροή



10.2 Δεδομένα και Υδρογραφήματα Σχεδιασμού Κλάδων Υδρογραφικού Δικτύου

Κλάδος: R21

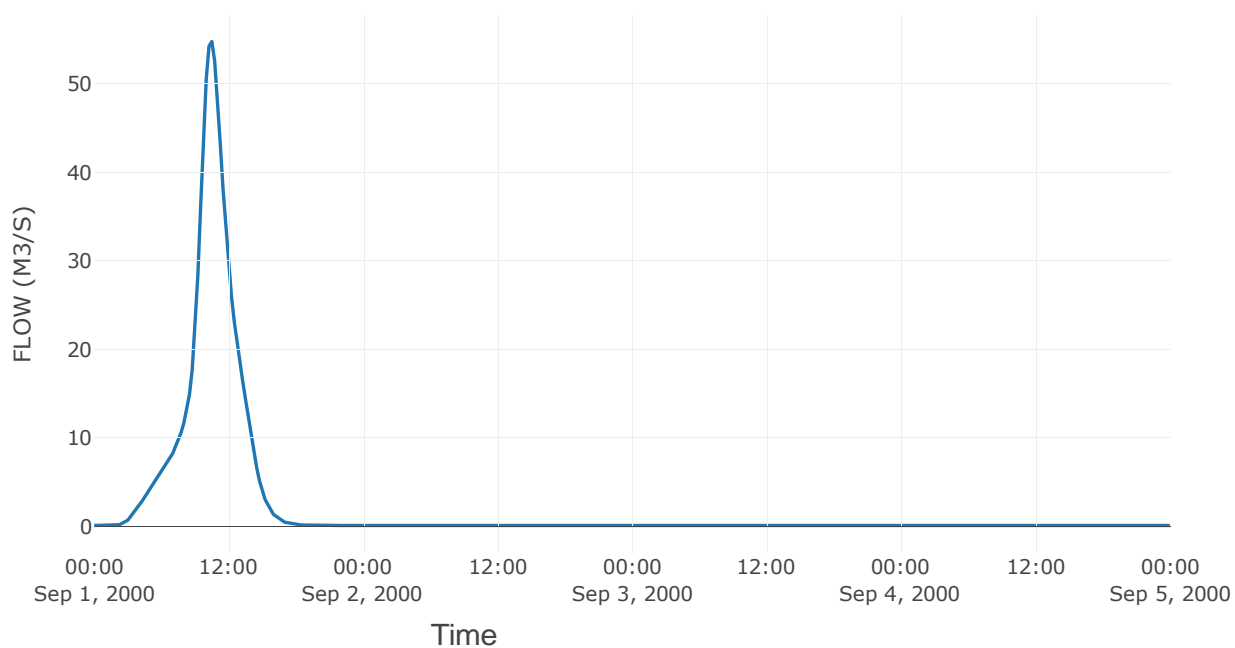
Κατάντη : J1

Μέθοδος Διόδευσης	Muskingum
Αρχική Μεταβλητή	Combined Inflow
Χρόνος Ροής K	0.76
Συντελεστής βάρους x	0.2
Πλήθος Υποκλάδων	4

Αποτελέσματα: R21

Παροχή Αιχμής (M3/S)	54.78
Χρονική στιγμή αιχμής	01Sep2000, 10:30
Όγκος (MM)	222.84
Παροχή Αιχμής Εισόδου (M3/S)	56.75
Όγκος Εισόδου (M3)	8.25E5

Απορροή



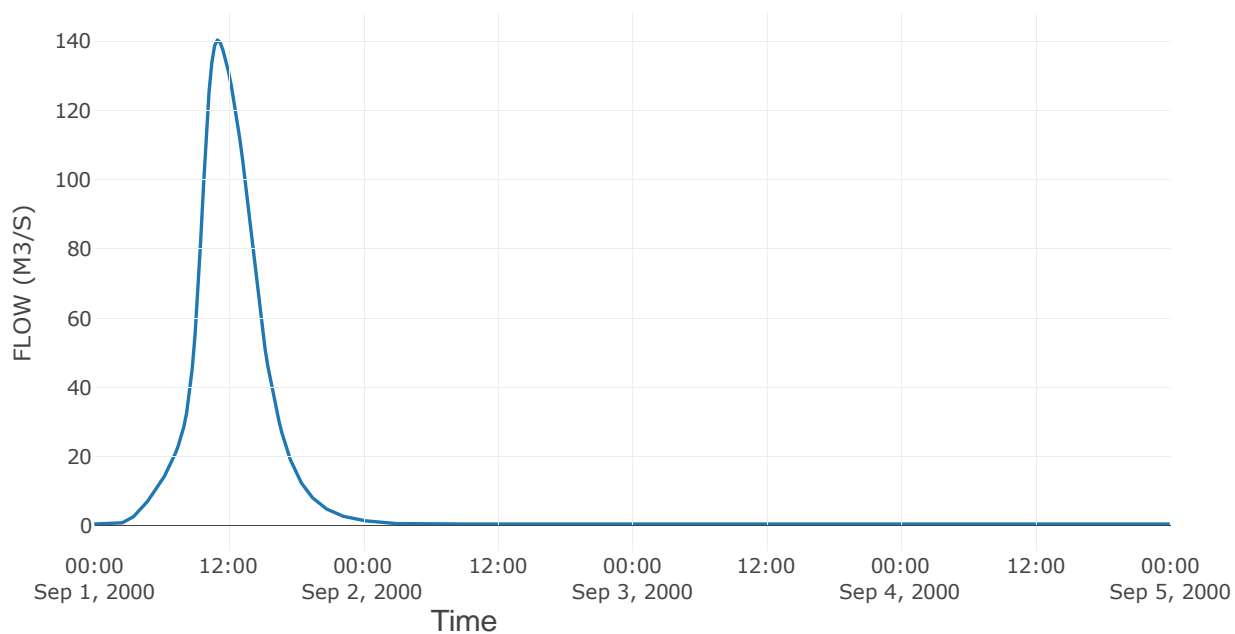
10.3 Δεδομένα και Υδρογραφήματα Σχεδιασμού Κόμβων Υδρογραφικού Δικτύου

Κόμβος εξόδου: J1

Αποτέλεσμα
τα: J1

Παροχή αιχμής (M3/S)	140.34
Χρονική στιγμή αιχμής	01Sep2000, 11:00
Όγκος (MM)	198.02

Απορροή



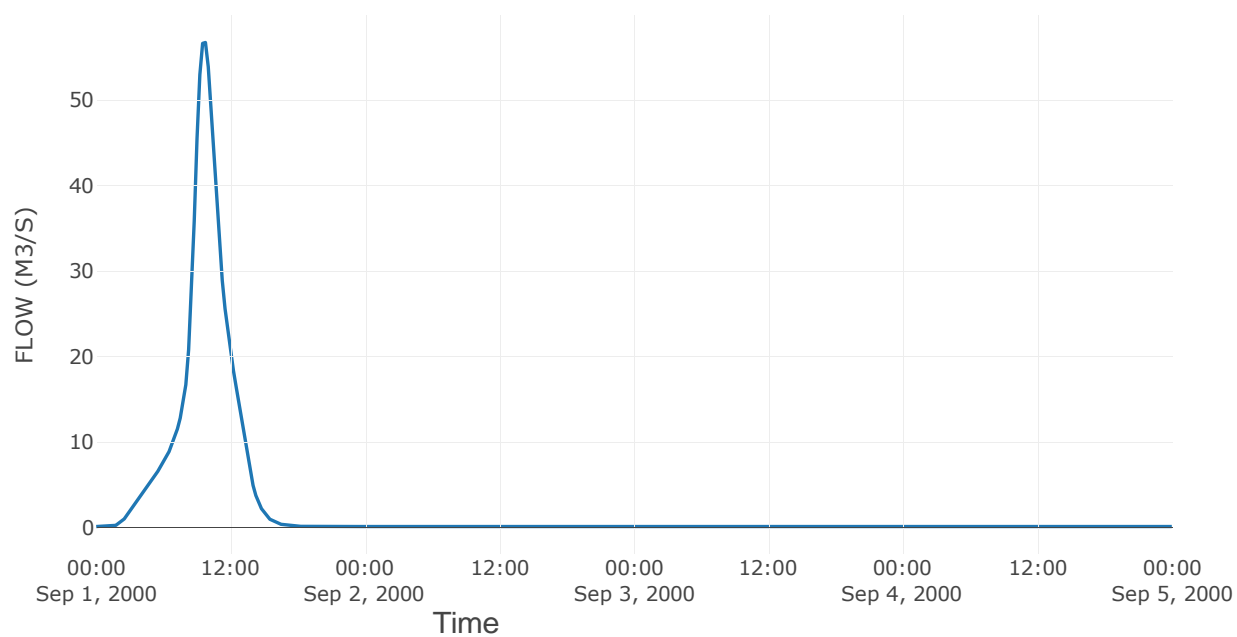
Κόμβος: J2

Κατάντη : R21

Αποτελέσματα: J2

Παροχή Αιχμής (M3/S)	56.75
Χρονική στιγμή αιχμής	01Sep2000, 09:45
Όγκος (MM)	222.84

Απορροή



Κόμβος εξόδου: J3

Αποτέλεσμα
τα: J3

Παροχή αιχμής (M3/S)	63.16
Χρονική στιγμή αιχμής	01Sep2000, 09:00
Όγκος (MM)	228.56

Απορροή

